

4 • 2020

РАДИО

АУДИО • ВИДЕО • СВЯЗЬ • ЭЛЕКТРОНИКА • КОМПЬЮТЕРЫ

12 апреля — День космонавтики



Самые наилучшие пожелания
читателям журнала "Радио"
от космонавтов МКС

И. Усманов
Олег Артемьев
А. Усманов

- Автомат смазки мотоцикла
- Пробник для транзисторов
- Измеряем высокоомные резисторы
- "Дельта" с переключаемой поляризацией

...и ещё 11 конструкций

4
2020



Результаты автономного космического полёта интеллектуальной группировки МКА в рамках космического эксперимента "РадиоСкаф"

О. АРТЕМЬЕВ, канд. экон. наук,
Звёздный городок Московской обл.,
С. САМБУРОВ, г. Королёв Московской обл.,
Е. ШИЛЕНКОВ, канд. техн. наук,
С. ФРОЛОВ, канд. техн. наук,
А. ЦИТОВ, г. Курск

(см. статью на с. 18)

12 апреля 1961 года в 9.07 мск ко-
рабль-спутник „Восток“ поднялся в
космос. На его борту — первый в мире
космонавт майор Юрий Гагарин. В тот
же день в 10.55 мск космический
корабль благополучно вернулся на
землю



Рис. 10



Рис. 25



Рис. 24



Рис. 12

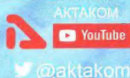


Рис. 23



Прецизионный TrueRMS мультиметр AMM-1149

- Высокая точность 0,05%
- Суперточный ЖК-индикатор 50000 отсчётов
- Одновременное отображение трёх измеренных параметров
- Измерение постоянной и переменной составляющих (AC+DC)
- Высокое разрешение (0,01 мВ; 0,01 мкА; 0,01 Ом; 0,001 Гц; 0,001 нФ)
- Удержание пиковых значений (PEAK) и режим относительных измерений (REL)
- Режим измерения токовой петли 4-20 мА с отображением в % (LOOP)
- Регистратор измеренных значений (9999 ячеек)
- Защита от пыли и влаги IP67



Промышленный TrueRMS мультиметр AMM-1015

- ЖКИ 19999 отсчётов
- Частотный диапазон 40 Гц...1 кГц
- Базовая погрешность 0,1%
- Измерение пост. и перем. тока до 20 А
- Измерение емкости до 2000 мкФ



TrueRMS мультиметр со встроенным измерителем RLC AMM-3033

- ЖКИ 6000 отсчётов с подсветкой
- Базовая погрешность 0,5%
- Тестовая частота до 10 кГц
- Регистратор данных на SD карту
- Измерение индуктивности до 100 Гн
- Измерение емкости до 600 мкФ



Мультиметр с функцией мегаомметра AM-1018B

- Базовая погрешность 0,2%
- Измерение сопротивления изоляции до 2 ГОм
- Тестовое напряжение 50 В/ 100 В/ 250 В/ 500 В/ 1000 В
- Измерение частоты синусоидального сигнала, прямоугольных импульсов и коэффициента заполнения
- Режим измерения емкости 1000 мкФ



Профессиональный мультиметр AM-1060

- Большой ЖКИ дисплей 3999 отсчётов
- Быстрод. графическая шкала: 40 сегм.
- Базовая погрешность 0,5%
- Удержание мин./макс. значений
- Измерение пиковых уровней
- Относительные измерения



Многофункциональный TrueRMS мультиметр AMM-1037

- Большой ЖКИ дисплей с подсветкой: 4 1/2 разряда, 19999 отсчётов
- Частотный диапазон AC от 40 Гц до 1 кГц
- Измерение проводимости
- Тестирование транзисторов



Мультиметр со встроенным фонариком AMM-1048

- ЖКИ 3 3/4 разрядов (4000 отсчётов)
- Широкий набор измерительных функций
- Бесконтактный индикатор напряжения
- Категория защиты: CAT III 1000V
- Эргономичный корпус



Бюджетный цифровой мультиметр AMM-1042

- Измерение токов с высоким разрешением 0,1 мкА
- Автоматический и ручной выбор диапазонов
- Компактные размеры



ИЗ ИСТОРИИ РАДИО 9

НАУКА И ТЕХНИКА 15

РАДИОПРИЁМ 24

ЗВУКОТЕХНИКА 26

ИЗМЕРЕНИЯ 32

ПРИКЛАДНАЯ ЭЛЕКТРОНИКА 34

ЭЛЕКТРОНИКА ЗА РУЛЁМ 38

НАША КОНСУЛЬТАЦИЯ 46

"РАДИО" — О СВЯЗИ 47

"РАДИО" — НАЧИНАЮЩИМ 53

К 75-летию Победы

Страницы истории советской радиоконтрразведки. Борьба службы радиоконтрразведки с подрывной деятельностью нацистской Германии в годы Великой Отечественной войны 4

А. ЧЕЧНЕВ. По следу диодов Д1 и Д2, или...
совершенно секретно—2 9

А. ГОЛЫШКО. Технологическая сингулярность 15
О. АРТЕМЬЕВ, С. САМБУРОВ, Е. ШИЛЕНКОВ,
С. ФРОЛОВ, А. ЩИТОВ. Результаты автономного
космического полёта интеллектуальной группировки МКА
в рамках космического эксперимента "РадиоСкаф" 18

В. ГУЛЯЕВ. Новости вещания 24

А. КИРЕЕВ. Объёмный звук — следующий шаг 26

И. НЕЧАЕВ. Пробник для транзисторов 32
А. СТАРОВОЕРОВ. Простой измеритель ЭПС конденсаторов 33

С. ГЛИБИН. Генератор частотой 50 Гц с кварцевой
стабилизацией 23
А. МЕЛЬНИКОВ. Устройство управления дежурным освещением 34

Д. ПАНКРАТЬЕВ. Доработка сигнализатора экстренного
торможения 38
А. СЕРГЕЕВ. Усовершенствование автомобильного регулятора
напряжения 40
Г. НЮХТИЛИН. Периодическая смазка тяговой цепи мотоцикла,
управляемая микроконтроллером 44

Наша консультация 46

Г. ЧЛИЯНЦ. Николай Валентинович Казанский (UA3AF) —
один из организаторов радиолюбительского движения 47
А. БОРЗЕНКОВ. Станция "Беллинсгаузен", 29-я САЭ 49
Г. УНДЫШЕВ. "Дельта" с переключаемой поляризацией
для диапазона 40 метров 52

И. НЕЧАЕВ. Определение сопротивления высокоомных
резисторов с помощью мультиметра 53
А. МЕЛЬНИКОВ. Использование кабеля КСРВ
в радиолюбительском монтаже 56
Д. МАМИЧЕВ. Учим говорить игрушку-аниматроник Bluechicken 56
С. РЮМИК. Викторина "Микроконтроллеры и переменные
резисторы" 58
С. БИРЮКОВ. Измеритель уровня воды 60
М. ШУСТОВ. Стенд для изучения работы логических элементов 61

ОБМЕН ОПЫТОМ (с. 23).

ДОСКА РЕКЛАМНЫХ ОБЪЯВЛЕНИЙ (с. 1, 3, 4, 43, 45, 3-я и 4-я с. обложки).

На нашей обложке. Российские космонавты Антон Николаевич Шкаплеров (слева) и Олег Германович Артемьев на борту МКС (см. статью на с. 18).

**ЧИТАЙТЕ
В СЛЕДУЮЩЕМ
НОМЕРЕ:**

**ГИБРИДНЫЙ УМЗЧ
УКВ-USB-ПРИЁМНИК ДЛЯ КОМПЬЮТЕРА
ИЗМЕРЯЕМ МАГНИТНУЮ ПРОНИЦАЕМОСТЬ
РЕГУЛЯТОР ДЛЯ СВЕТОДИОДНОГО МОДУЛЯ**

РОССИЙСКАЯ НЕДЕЛЯ
ВЫСОКИХ ТЕХНОЛОГИЙ



Минкомсвязь
России

МИНПРОМТОРГ
РОССИИ



Федеральное агентство связи
(РОССВЯЗЬ)



ТПП РФ



Техно Ратинг

СВЯЗЬ


Информационные и коммуникационные
технологии

2–6 ноября 2020

**ВНИМАНИЕ!
НОВЫЕ ДАТЫ!**

**32-я международная
выставка**

Организатор:

 **ЭКСПОЦЕНТР**

При поддержке:

- Министерства цифрового развития, связи и массовых коммуникаций РФ
- Министерства промышленности и торговли РФ
- Федерального агентства связи (РОССВЯЗЬ)

Под патронатом ТПП РФ

Россия, Москва, ЦВК «ЭКСПОЦЕНТР»

www.sviaz-expo.ru

12+

Реклама



"Radio" is monthly publication on audio, video, computers, home electronics and telecommunication 12+

УЧРЕДИТЕЛЬ И ИЗДАТЕЛЬ: ЗАО «ЖУРНАЛ «РАДИО»

Зарегистрирован Министерством печати и информации РФ 01 июля 1992 г.

Регистрационный ПИ № ФС77-50754

Главный редактор В. К. ЧУДНОВ

Редакционная коллегия:
А. В. ГОЛЫШКО, А. С. ЖУРАВЛЁВ, А. Н. КОРОТКОШКО,
К. В. МУСатов, И. А. НЕЧАЕВ (зам. гл. редактора),
Л. В. МИХАЛЕВСКИЙ, С. Л. МИШЕНКОВ, О. А. РАДИН

Выпускающие редакторы: С. Н. ГЛИБИН, А. С. ДОЛГИЙ

Обложка: В. М. МУСЯКА

Вёрстка: Е. А. ГЕРАСИМОВА

Корректор: Т. А. ВАСИЛЬЕВА

Адрес редакции: 107045, Москва, Селиверстов пер., 10, стр. 1
Тел.: (495) 607-31-18. Факс: (495) 608-77-13
E-mail: ref@radio.ru

Группа работы с письмами — (495) 607-08-48

Отдел рекламы — (495) 607-31-18; e-mail: advert@radio.ru

Распространение — (495) 607-77-28; e-mail: sale@radio.ru

Подписка и продажа — (495) 607-77-28

Бухгалтерия — (495) 607-87-39

Наши платёжные реквизиты:
получатель — ЗАО «Журнал «Радио», ИНН 7708023424,
р/сч. 40702810438090103159
Банк получателя — ПАО Сбербанк г. Москва
корр. счёт 30101810400000000225 БИК 044525225

Подписано к печати 25.03.2020 г. Формат 60х84 1/8. Печать офсетная.

Объём 8 физ. печ. л., 4 бум. л., 10,5 у. изд. л.

В розницу — цена договорная.

Подлинный индекс:
по каталогу «Орбис» — 70772;
по Объединённому каталогу «Пресса России» — 89032;
по каталогу Российской прессы ПОЧТА РОССИИ — 61972.

За содержание рекламного объявления ответственность несёт рекламодатель.

За оригинальность и содержание статьи ответственность несёт автор.

Редакция не несёт ответственности за возможные негативные последствия использования опубликованных материалов, но принимает меры по исключению ошибок и опечаток.

В случае приёма рукописи к публикации редакция ставит об этом в известность автора. При этом редакция получает исключительное право на распространение принятого произведения, включая его публикации в журнале «Радио», на интернет-страницах журнала, CD или иным образом.


Авторское вознаграждение (гонорар) выплачивается в течение двух месяцев после первой публикации в размере, определяемом внутренним справочником авторов.

По истечении одного года с момента первой публикации автор имеет право опубликовать авторский вариант своего произведения в другом месте без предварительного письменного согласия редакции.

В перепику редакция не вступает. Рукописи не рецензируются и не возвращаются.

© Радио®, 1924—2020. Воспроизведение материалов журнала «Радио», их коммерческое использование в любом виде, полностью или частично, допускается только с письменного разрешения редакции.

Отпечатано в ОАО «Подольская фабрика офсетной печати»
142100, Моск. обл., г. Подольск, Революционный проспект, д. 80/42.
Зак. 01498-20



Компьютерная сеть редакции журнала «Радио» находится под защитой Dr.Web — антивирусных продуктов российского разработчика средств информационной безопасности — компании «Доктор Веб».

www.drweb.com

Бесплатный номер службы поддержки в России:
8-800-333-79-32

ИНФОРМАЦИОННАЯ ПОДДЕРЖКА — КОМПАНИЯ «РИНЕТ»



Internet Service Provider

Телефон: (495) 981-4571
Факс: (495) 983-9181
E-mail: info@rinet.ru
Сайт: <http://www.rinet.net>

СТРАНИЦЫ ИСТОРИИ СОВЕТСКОЙ РАДИОКОНТРАЗВЕДКИ

Борьба службы радиоконтрразведки с подрывной деятельностью нацистской Германии в годы Великой Отечественной войны

Победа советского народа в Великой Отечественной войне была обеспечена не только ценой многочисленных жертв и героических подвигов воинов на полях сражений, упорного труда и лишений тружеников тыла, но и результатами невиданного по своим масштабам противостояния между спецслужбами Советского Союза и Германии.

Настоящая битва в радиозфире разразилась задолго до июня 1941 г.

Предвоенные годы

В 1921 г. в системе Наркомата почт и телеграфа была организована Служба радиоконтроля, которая находилась в оперативном подчинении спецотдела ВЧК. Перед ней была поставлена задача по своевременному вскрытию враждебных замыслов против Советской Республики путём радиопередачи сообщений в радиостанциях иностранных государств и зарубежных белогвардейских организаций. Служба радиоконтроля состояла из нескольких контрольных станций, находившихся в крупных городах страны. Как правило, контрольно-слежные радиостанции в то время представляли собой один или два поста радиоконтроля, а также пеленгаторный пункт, удалённый от них на несколько сотен метров.

На Спецотдел и соответствующие губотделы ВЧК-ОГПУ на местах возлагались следующие задачи: подбор и проверка личного состава радиоконтрольных пунктов, контроль результатов работы, учёт и регистрация частных радиостанций, выявление и пресечение агентурно-оперативным путём использования в преступных целях нелегальных радиопередатчиков.

В середине 30-х годов была организована лаборатория средств специальной радиотехники, которая располагалась в пос. Кучино под Москвой и предназначалась для разработки и технических испытаний новых образцов специальной аппаратуры и радиооборудования, применяемых в Службе радиоконтроля.

На вооружении контрольных станций и пеленгаторных пунктов в тот период находились армейские приёмники прямого усиления со сменными контурами «Куб-4», «КТВ», «РП-6», а также радиопеленгаторы типа «Эджок».

Процесс радиоконтроля, осуществляемый на контрольных станциях, заключался в непрерывном прослеживании радиооператорами всего коротковолнового диапазона и фиксации (приёма и записи в аппаратный журнал времени, длины волны в метрах, позывных, кодов связи, передавае-



мых текстов или телеграмм) любых вновь появившихся в эфире радиостанций. Все фиксируемые радиостанции пеленговались по данным пеленгаторным пунктам по командам, передававшимся по телефонной связи.

Начиная с 30-х годов прошлого века, наряду с традиционными для иностранных разведок способами и методами безлинейной связи агентов со своими центрами (письма, телеграммы, тайники, связники и т. п.), стала широко внедряться агентурная радиосвязь. Этому способствовало создание переносных КВ-радиостанций, с помощью которых агенты могли устанавливать двухстороннюю радиосвязь. В тот период контрольными станциями стали фиксироваться учебно-тренировочные агентурные радиостанции радиодетентов в Берлине, Мюнхене, Франкфурте-на-Майне. Подготовка агентов-разведчиков проводилась также в Англии, Италии, Франции и Японии.

Материалы контроля концентрировались в Спецотделе ОГПУ и содержали сведения о работе нелегальных передатчиков, журналы с текстами радиоперехватов и агентурные сведения, добываемые местными органами от завербованных осведомителей.

Становилось очевидным, что существующая структура, при которой основные технические средства радиоконтроля и личный состав службы находились в системе Наркомата связи, не отвечала возросшим требованиям борьбы с подрывной деятельностью противника. Кроме того, значительный объем информации, добываемой службой, имел явно контрразведывательную направленность. Учитывая эти обстоятельства, а также то, что в условиях надвигающейся угрозы войны радиосвязь являлась практически единственным надежным и оперативным способом связи агенты со своими центрами, для их выявления был необходим целый комплекс оперативных мероприятий, включая радиоконтрразведывательные (далее — РКР). НКВД вышел в Совет Народных Комиссаров (СНК) СССР с предложением передать Службу радиоконтроля из Наркомата связи в Наркомат внутренних дел.

28 августа 1937 г. вышло Постановление СНК за № 1472-335сс "О радиоконтроле", согласно которому в ведение НКВД были переданы 22 контрольные радиостанции, 25 пеленгаторных пунктов и обслуживающая их лаборатория "Кучино" со всеми кадрами и имуществом. Одновременно было предложено осуществить дополнительное строительство пяти контрольных радиостанций и 32 пеленгаторных пункта, перевооружить радиостанции современной, технической совершенной аппаратурой, укомплектовать станции радиоконтроля квалифицированными кадрами.

С этой датой принято вести отсчет истории РКР службы в системе органов безопасности.

Кроме того, в указанный период сложилась разрешительная система учета радиопередатчиков средств как составная часть комплекса мер по защите от использования радиоканала в ущерб безопасности государства.

В феврале 1938 г. СНК СССР принял постановление "Об улучшении радиоразведки и радиоконтрразведки", согласно которому на НКВД СССР была возложена задача немедленного проведения работ по реконструкции существовавших и строительству новых контрольных станций и пеленгаторных пунктов. Приказом НКВД СССР от 14 марта 1938 г. № 00136 был утвержден штат радиоконтрразведывательной службы — 1200 сотрудников.

Первое подразделение РКР советских органов безопасности входило в состав Отдела оперативной техники НКВД СССР, который в 1938 г. был переименован во 2-й Спецотдел НКВД СССР.

С 1938 г. и до конца Великой Отечественной войны отдел возглавлял генерал-лейтенант Е. П. Лапшин.



Евгений Петрович Лапшин (1905—1956 гг.) — советский военный деятель, один из руководителей органов безопасности, генерал-лейтенант (с 1945 г.). С 1938 г. по 1943 г. сначала врид (временное исполняющий должность), а затем начальник 2-го Спецотдела НКВД СССР. С 12 мая 1943 г. по 24 октября 1946 г. — начальник Отдела "Б" НКГБ СССР.

Он был награжден орденами Ленина, Отечественной войны I степени, Трудового Красного Знамени, Красной Звезды, шестью медалями, знаками "Почетный работник ВЧК-ГПУ (XV)" и "Заслуженный работник НКВД".

На долю первых руководителей службы выпала труднейшая задача по формированию новой структуры, способной объединить разрозненные по всей стране контрольные радиостанции и пеленгаторные пункты в единую систему РКР. В условиях нехватки средств и скромных возможностей радиопромышленности требовалось осуществить замену устаревшей аппаратуры на более совершенную, а самое главное нужно было срочно подготовить кадры — специалистов высочайшего класса.

В течение 1939—1940 гг. сотрудникам РКР удалось:

- полностью реконструировать техническую базу;
- построить новые контрольные станции и пеленгаторные пункты, оснащенные новой радиоаппаратурой. На строительство и оборудование было израсходовано около 52-х миллионов рублей;
- подобрать и обучить кадры работников радиостанций (всего по Союзу около двух тысяч человек);
- ввести систему взаимодействия РКР групп;
- разработать важнейшие иностранные секретные разведывательные и дипломатические радиосети.

В предвоенные годы в результате проведения розыскных мероприятий радиоконтрразведчиками были обнаружены и изъяты агентурные радиостанции в Западной Украине и в Прибалтике.

В 1940 г. радиоконтрразведка задерживала в Москве нелегальную радиостанцию, с помощью которой германское посольство поддерживало связь с Берлином. Из расшифрованных передач были получены ценные сведения о работе посольства и указаниях, поступающих из Берлина. В июне того же года в Каунасе, Риге и Таллине выявлены радиостанции, нелегально установленные в помещениях представительств германского посольства.

В результате деятельности радиоразведки и радиоконтрразведки в 1939—1940 гг. на территории СССР выявлены 36 радиостанций иностранных разведок и десять иностранных разведывательных сетей.

Следует отметить, что в предвоенный период РКР служба была задействована на выполнение различных заданий по радиообеспечению многих специальных мероприятий, например:

- работы первой дрейфующей научной станции "СГ-1" на Северном полюсе и операции по спасению "челюскинцев";
 - полетов через Северный полюс в Америку экипажей В. Чкалова и М. Громова, а также дальних беспосадочных перелетов В. Коккинаки, В. Гризодубовой, П. Осипенко, С. Леваневского и других советских летчиков.
- В период с 1939-го по сентябрь 1941 г. Хабаровский радиодетент выпол-

КУПОН ЧИТАТЕЛЯ



нял особое правительственное задание по обеспечению радиосвязи с группой "Рамзай" Рихарда Зорге.

Большая заслуга в том, что практически за три года удалось решить большинство из поставленных задач, принадлежит руководителям и сотрудникам РКР того времени, но война не позволила реализовать все намеченные планы.

Начало войны

Многие проблемы в первые месяцы войны пришлось решать непосредственному руководителю радиоцентрразведки в военное время полковнику В. М. Блиндерману.

Владимир Михайлович Блиндерман (1905–1958 гг.) руководил радиоцентрразведкой в 1941–1951 гг.

1936–1937 гг. — начальник радиофакультета Инженерно-технической академии им. Подбельского, г. Москва.

1937–1939 гг. — служба на различных должностях в НКВД СССР.

1939–1941 гг. — заместитель начальника 2-го Спецотдела НКВД СССР. 1941–1943 гг. — начальник 5-го отделения (радиоцентрразведка) и заместитель начальника 2-го Спецотдела НКВД СССР.

1943–1946 гг. — начальник 3-го отделения (радиоцентрразведка) и заместитель начальника отдела "Б" НКГБ СССР.

06.06.1946–03.10.1946 г. — заместитель начальника отдела "Р" МГБ СССР (отдел "Р" образован 4 мая 1946 г.).

1946–1951 гг. — начальник отдела "Р" МГБ СССР.

Он был награжден орденами Красного Знамени (31.07.1944 г.), Отечественной войны II степени (24.02.1945 г.), Трудового Красного Знамени (20.09.1943 г.), двумя орденами Красной Звезды (16.08.1940 г. и 20.07.1949 г.), девятью медалями, знаком "Заслуженный работник НКВД" (19.12.1942 г.). Лауреат Сталинской премии, присужденной "за разработку новой радиоаппаратуры".

Как вспоминал В. М. Блиндерман: "В ходе первого этапа войны в результате стремительного наступления немецко-фашистских войск единая система РКР столкнулась с серьезными проблемами:

1. Практически вышли Западная РКР группа с центром в Минске и Юго-Западная с центром в Киеве. Кроме этого, была потеряна часть Северо-Западной группы (центр Ленинград). В связи с эвакуацией также была нарушена работа Центральной группы (Москва) и Юго-Восточной группы (Ростов-на-Дону).

Оставшиеся в неприкосновенности четыре РКР группы с центром в Ташкенте, Новосибирске, Чите и Хабаровске в силу своего географического положения практически не могли помочь в операциях против германской агентуры в европейской части Союза.

2. Мы оказались неподготовленными в смысле возможности быстрой передислокации наших средств, по-

скольку отсутствовали заранее подготовленные базы для перемещения контрольных станций, наша техника была рассчитана на стационарные условия работы, и мы не умели ещё на первых порах быстро развёртывать нашу сложную технику на новом месте.

3. Некоторые руководящие работники нашей службы забыли, что мы являемся единственной организацией, в первую очередь, призванной вести борьбу с радиошпионами в СССР. Они забыли, что весь предыдущий период существования нашей службы был, по существу, периодом подготовки к тем грозным событиям, которые разразились 22 июня 1941 г.



Владимир Михайлович Блиндерман.

4. В мирное время существует немало каналов связи, которыми могут пользоваться иностранные государства. В условиях войны радиосвязь является единственным оперативным способом связи, и задачи РКР службы в период войны становятся более ответственными и важными".

Первые месяцы войны показали, что возможности радиоцентрразведки могут быть использованы не только для выявления вражеской агентуры, но и для противодействия авиации противника.

Записка Л. П. Берия И. В. Сталину об организации радио наблюдения за немецкими самолётами

(На бланке НКВД.

На первой странице документа рукописные резолюции: т-шу Берия. Согласен. Просьба немедля перейти от слов к делу. И. Сталин. Исполнено 13/VI 1941 г.)

№ 2436/Б 11 августа 1941 г.

СОВЕРШЕННО СЕКРЕТНО

Государственный комитет обороны Союза СССР
товарищу Сталину

НКВД СССР было организовано радио наблюдение перед вылетом и во

время полётов немецких самолётов на Москву. Наблюдением было установлено, что курс вождения немецких бомбардировщиков производится при помощи пеленгации самолётов радиостанциями (Прим. ред. Понятие пеленгации трактуется некорректно), расположенными на занятой немцами территории СССР, а также находящимися на территории Польши, Румынии, Финляндии и Германии.

Эти станции регулярно начинают работу в вечернее время за два часа до вылета бомбардировщиков на Москву и продолжают до утра.

Как правило, вражеские радиостанции через определённый промежуток времени дают в течение нескольких минут свой позывной, состоящий из четырёх-пяти букв (например, "Карл", "Отто", "Танс" и т. д.).

Немецкие бомбардировщики на протяжении всего полёта до Москвы, принимая эти позывные, ориентируются по ним и выправляют курс движения самолёта.

Допросом бортрадиостов задержанных в плен немецких самолётов, сбитых под Москвой, это положение полностью подтверждается.

Кроме того, немецким бомбардировщикам помогают радиовещательные станции Германии, Финляндии, Румынии и занятой ныне немцами территории Латвии и Польши, которые транслируют музыкальную программу, через короткие промежутки времени передают опознавательные сигналы для фашистских лётчиков.

Для создания помех радиоаппаратам, а также и находящимся в воздухе фашистским самолётам НКВД СССР следует целесообразным провести следующие мероприятия:

1. Путём ретрансляции (т. е. приёма нашей радиостанцией позывных немецкой станции и последующей передачи этих позывных в эфир) давать ложный курс германским самолётам.

В этих целях необходимо разрешить НКВД СССР использовать некоторые радиостанции Наркомата Связи.

2. В том случае, когда по техническим причинам невозможно провести ретрансляцию, вести забивку маячных станций противника радиостанциями Наркомсвязи.

Для выполнения указанных мероприятий необходимо Наркомсвязи срочно произвести установку генераторов типа "Челна" на линии Вологда-Ярославль-Рязань-Воронеж-Ворошиловград-Ростов. Необходимое количество генераторов в Наркомсвязи имеется.

3. В целях проведения оперативных мероприятий по забивке работающих немецких радиостанций, являющихся ориентирами при полётах бомбардировщиков, НКВД СССР установить непрерывное наблюдение и пеленгацию этих радиостанций. Получаемые данные в результате наблюдения сопоставлять с показаниями пленных немецких бортрадиостов о местонахождении радиоаппаратных станций, их позывных, волнах и времени работ.

4. Создать специальную группу из пяти человек инженерно-технического состава НКВД СССР и Наркомсвязи для проведения изломных мероприятий.
Прощу Ваших указаний.

Народный комиссар внутренних дел Союза ССР Л. Берия.

Военное время

Радиоконтрразведке удалось добиться значительных успехов в организации радиоперехвата линий связи военного командования и разведывательных органов противника.

О масштабах этой работы красноречиво говорит этот документ:

ПРИКАЗ НКВД СССР № 00566 "О МЕРАХ ПО УСИЛЕНИЮ РАДИОКОНТРРАЗВЕДЫТЕЛЬНОЙ РАБОТЫ"

20 марта 1942 г.

В конце января 1942 г. контрольно-слезные радиостанции 2-го Спецотдела НКВД СССР были зафиксирована новая учебно-тренировочная линия радиосвязи между двумя подцентрами германской разведки.

Дальнейшее наблюдение показало, что в первой половине февраля после краткого перерыва одна из точек изменила характер работы, и по данным пеленгаторной сети местонахождение ее определялось на нашей территории.

Одновременно дешифровальная группа 2-го Спецотдела НКВД СССР раскрыла шифр, применявшийся при обмене, и обеспечила расшифровку перехватываемых телеграмм. Это в сочетании с работой оперативно-розыскной группы 2-го Спецотдела НКВД СССР, выехавшей в район действия радиостанции, позволило с помощью одного из оперативных управлений и частей НКВД СССР арестовать большую группу агентов германской разведки. За удачно проведенную операцию по разработке и ликвидации шпионской радиостанции приказывало: объявить благодарности следующим сотрудникам 2-го Спецотдела НКВД СССР (далее следуют фамилии поощренных).

Учитывая необходимость усиления радиоконтрразведывательной работы, наркомом внутренних дел союзных и автономных республик и начальником Управления краев и областей, где дислоцированы контрольно-слезные радиостанции и пеленгаторные пункты, обеспечить тесную оперативную связь между вторыми и первыми спецотделами и следственными частями, в первую очередь по линии 2-го Управления и Управления особых отделов. Кроме того, необходимо уделить серьезное внимание радиоконтрразведывательным станциям и пеленгаторным пунктам и оказать необходимую помощь в их работе...

Заместитель народного комиссара внутренних дел СССР

Комиссар госбезопасности 3-го ранга Меркулов.

В июле 1942 г. радиоконтрразведкой была получена имеющая стратеги-

ческое значение разведывательная информация о создании германским командованием на юге страны двух крупных армейских группировок и направлениях их главного удара. В августе 1942 г. была получена ценная информация о составе и планах немецкой группировки под Сталинградом.

Результативной работе сотрудников РКР способствовало накопление информации о тренировочных сеансах радиосвязи курсантов немецких разведшкол, а также присущая противнику систематичность и шаблонность в работе. Так, одна из дешифрованных нашими специалистами радиосетей периодически транслировала выходящему руководству все донесения заброшенной в наш тыл агентуры с указанием номеров агентов.

Наблюдая за тренировочными сеансами связи вражеских радиостов, сотрудники РКР фиксировали их "почерк", особенности работы, облегчавшие в последующем проведение их розыска. После перебоисов радиостов на советскую сторону радиоконтрразведчики с помощью пеленгации устанавливали районы их местонахождения и принимали активное участие в их задержании.

К началу августа 1942 г. органам госбезопасности стали известны 36 школ Абвера на временно оккупированной советской территории, в которых обучалось одновременно до 1500 агентов-разведчиков и диверсантов. Основную часть своей агентуры противник забрасывал через линию фронта на самолетах группами по 2—3, реже по 10—20 человек.

Осенью 1943 г. РКР служба перехватывала и дешифровала несколько радиogramм немецкой агентурной радиостанции, в которых сообщалось о скоплении военных грузов и личного состава на конкретных железнодорожных узловых станциях. После каждого сообщения следовало налет немецкой авиации, что приводило к значительным потерям. Требоваилось принять срочные меры по нейтрализации диверсантов. По результатам пеленгования было установлено, что радиостанция перед каждым сеансом связи меняет свое местоположение.

В этой ситуации пригодились результаты изучения работы немецких разведцентров. Почерк работы радиостов был известен сотрудникам РКР. Кроме этого, позновной радиостанции был таким же, как и в учебном центре. Таким образом, выяснили место и период его обучения, а также время начала боевой работы. Используя эту информацию, чекисты опросили всех задержанных агентов, проходивших обучение в это время, и собрали установленные данные на радиоста. Некоторые из вившихся диверсионных агентов-оказавателей в составе оперативных групп были направлены в район розыска. Через несколько дней немецкий шпион был задержан.

Агентурные комбинации с использованием переворобованных агентов-радиостов противника (радиоигры) проводились советской контрразведкой на

протяжении всего периода Великой Отечественной войны. С их помощью германским спецслужбам был нанесен значительный урон.

РКР служба с успехом использовалась для дезинформации военного командования противника, а также для отвлечения сил и средств немецких спецслужб для обеспечения снабжения и "пополнения" личным составом уже нейтрализованных диверсионно-разведывательных групп.

В 1943 г. органы советской контрразведки, исходя из накопленного опыта и учитывая военную обстановку, сложившуюся в то время, провели реорганизацию. Розыск вражеских агентов и проведение радиоигр были возложены на один из отделов вновь созданного органа военной контрразведки "Смерш", переданного в непосредственное подчинение Народного Комиссариата Обороны. В целях наилучшей организации дела в "Смерш" была передана группа сотрудников, занимавшихся ранее розыском агентов, радиоиграми и зафронтовой разведкой. Согласно утвержденному положению, все сдавшиеся добровольно или арестованные органами безопасности агенты вражеской разведки, окончившие разведывательные и диверсионные школы, а также изытые у них радиостанции должны были передаваться в "Смерш", который и решал вопросы целесообразности их дальнейшего использования.

Об истории радиоигр написано немало интересных книг. В 2018 г. вышла в свет работа В. Макарова и А. Тюрина "Смерш: Война в эфире 1942—1945", в которой приводится много примеров успешного проведения специальных контрразведывательных операций. Все, кто интересуется историей радиоконтрразведки, еще могут найти эту книгу на полках книжных магазинов.

При проведении следственных действий сотрудники РКР участвовали в решении вопроса о включении агентурной радиостанции в игру. В ходе игры они осуществляли контроль за работой радиостов в эфире, а при необходимости правдоподобно имитировали несправности в работе аппаратуры, вынуждая при этом время и заставляя противника осуществлять рискованную доставку электрических батарей или запасных частей. Анализ поступающих агентских заданий позволял выявлять наиболее интересные объекты противника, что позволяло разгадывать некоторые тактические и стратегические планы немецкого командования.

Существенную помощь в розыске немецких агентов РКР служба оказывала своим участием в составлении ориентировок с описанием и изображением внешних признаков деталей радиостанций, наличие которых позволяло выявлять шпионов.

В задану РКР входило также обеспечение радиосвязи с партизанскими отрядами, действовавшими на оккупированной территории. Многие сотрудники РКР были непосредственно направлены с этой целью в тыл врага.

К июлю 1943 г. в составе РКР службы НКВД СССР имелось 26 специальных радиостанций и 42 радиопеленгаторных пункта, которые осуществляли круглосуточный радиоконтроль.

О результативности работы радиоконтрразведки в этот период красноречиво говорит сохранившаяся справка об агентурных радиосвязях противника, подготовленная начальником 8-го отдела отдела "Б" НКВД СССР в тот период капитаном Госбезопасности С. В. Канищевым.



Ветеран РКР, участник ВОВ И. А. Стариков.



Сергей Варфоломеевич Канищев.

Из этого документа следует, что всего с начала войны по 1 октября 1943 г. разведкой противника перепробовано на территорию СССР 458 агентур-радиостов, из которых добровольно явились в органы НКВД-НКГБ "Смерш" или задержаны ими до начала работы в эфире 339 агентов. После выброски устанавливали или пытались установить связь 23 агента. Из них выявлены и найдены силами РКР службы или оперативными управлениями НКВД-НКГБ "Смерш" по ориентировкам и с участием радиоконтрразведчиков восемь агентов, разыскивались РКР службой, но были задержаны в результате параллельных мероприятий оперативными управлениями НКВД-НКГБ шесть агентов, находившихся в процессе разработки четыре агента, выявлены РКР службой, но смогли уйти обратно через линию фронта пять агентов.

Было установлено местонахождение 18 радиостанций, осуществляющих вызовы агентов. Кроме агентурных каналов связи, также проводился радиоконтроль 631-й линии связи иностранных разведывательных радиостанций Германии (517 линий), а также Финляндии (43), Венгрии (3), Японии (3) и Польши (33). По этим линиям связи давались задания на переброску агентов в наш тыл, передавались доношения агенты в вышестоящие инстанции и осуществлялось управление органами разведки.

На завершающем этапе войны с декабря 1944 г. по январь 1945 г., согласно утверждённому Генштабом Красной Ар-

мии плану дезинформации противника, германскому командованию передавались сведения о том, что на территории Польши и Восточной Пруссии зимнего наступления советских войск в 1945 г. не планируется. Эта информация транслировалась по 24 агентурным радиостанциям из различных районов СССР. Как показал дальнейший ход событий, за несколько дней до нашего наступления немцы перебросили основные танковые дивизии из этих районов в Венгрию.

ных 21. По материалам дешифровки разведывательных радиостетей арестованы девять германских агентов, оставленных для подпольной работы на Северном Кавказе. Выявлены три заброшенных немцами в прифронтовую зону агента и одна диверсионная группа, пытавшаяся взорвать мост.

Осуществлялось руководство активной антисоветской вещания германских радиостанций и контроль качества забки.

Проконтролировано около 3400 советских радиостанций, принадлежавших 294 организациям. В ходе контроля выявлено большое число случаев разглашения по радио сведений, составляющих государственную тайну или нарушения регламента радиосвязи. В 275 случаях выводы по материалам контроля сообщались руководителям Наркоматов и ведомств для принятия мер.

Уже после войны, когда появилась возможность для анализа германских архивных данных и показаний попавших в плен руководителей Аберга, историки пришли к выводу, что советская радиоконтрразведка выявила работу 90 % заброшенных на нашу территорию агентов-радиостов, большая часть которых была нейтрализована.

За годы войны РКР служба сумела перестроить свою работу применительно к условиям военного времени. По мере накопления опыта выработала новые формы и методы борьбы с подпольной деятельностью разведки нацистской Германии. В упорном и длительном противостоянии с врагом чисты-радиоконтрразведчики с честью выполнили стоявшие перед ними задачи, показывая образцы мужества и отваги при выполнении боевых заданий. Многие из них и после войны продолжали свою нелёгкую службу, передавая свой опыт и знания следующим поколениям радиоконтрразведчиков.

Мы в несомненном долгу перед теми, кто в сложных условиях военного времени работал на заводах по производству радиодеталей, кто разрабатывал электрические схемы и конструкцию простых в управлении и надёжных радиоприёмников, пеленгаторов и радиостанций, кто с пылкостью в руках трудился в секретных лабораториях над изобретением специальной техники, кто сутками не снимал головных телефонов, выявляя в эфире работу вражеских радиостанций, кто с автоматом и носимым пеленгатором на груди пробирался через заросли ночного леса в поисках вражеских агентов и наконец теми, кто объединил усилия всех этих людей, создав единую систему под названием Служба радиоконтрразведки.

Вечная им память!

По материалам музея радиоконтрразведки ФСБ России, г. Москва

По следу диодов Д1 и Д2, или... совершенно секретно—2

А. ЧЕЧНЕВ, пос. Володарского Московской обл.

За время, прошедшее с публикации первой части истории о создании первых полупроводниковых приборов в нашей стране, у меня появилась дополнительная информация, и не только по германиевым диодам.

чекских ракет в целях повышения оборонспособности нашего государства. Страна делала первые шаги к освоению космического пространства. В этой связи появилась необходимость в разработке малогабаритных и устойчивых к

внешним факторам радиодеталей. Перед НИИ-35 была поставлена задача по разработке приборов по профилю предприятия, способных выдерживать большие перегрузки. В рамках выполнения НИР "Орбита" А. Н. Пужай разработал ТУ и приступил к созданию технологии производства диодов в корпусе, как у Д1, но с предсказуемыми стабильными параметрами, как у диодов Д2, или лучше, где для точечного контакта с кристаллом полупроводника он решил использовать иглу, покрытую индием. Но в наладочную и плановую работу вмешалось руководство Государственного комитета по радиоэлектронике — в середине 1956 г. вышло постановление Совета Министров СССР о передаче лабораторий точечных диодов вновь образованному НИИ-311 — будущему заводу "Оптрон", вместе со всем персоналом, и поэтому работы по теме неожиданно затонули.

Тема В.33

ОКР - "Метод"

Разработка двойного диода как метода отбора для сумм дискриминаторов и дробных детекторов, по техническим требованиям, согласованным с ИРТА

Сент.56г.Сент.56г.100 100 100 100 99 99

научно-технический отчет

Тема изложена полностью и в срок в соответствии с утвержденным техническим заданием. Разработан метод отбора парных диодов, обеспечивающий их качественную работу в суммах дискриминаторов и дробного детектора. Создана конструкция крепления диодов обеспечивающая удобство в эксплуатации, проведенные заводские испытания на заводах № 616 и 558 ИРТА.

Составлен научно-технический отчет.

Диоды Д1 послужили основой для производства на заводе № 382 ("Плутон") сборки из двух подобранных по параметрам диодов, предназначенных для применения в частотных дискриминаторах телевизоров и другом оборудовании. Назвали такую сборку — ДК. Впоследствии ту же функцию будет выполнять сборка серии ГД404 (фото 1, фото 2).

Стремление улучшить электрические параметры диодов Д2 ещё в начале их серийного производства привело к созданию групп с буквами от "К" до "Р". Они отличались повышенным прямым током ценой уменьшения диапазона частот благодаря технологии вплавления в кристалл контактной иглы, покрытой индием.

В начале 1956 г. профильные НИИ интенсивно начали искать возможности уменьшения массы и увеличения надёжности электронной аппаратуры зенитных снарядов и баллисти-



Таким образом, Александр Никифорович в начале 1957 г. уже был сотрудником НИИ-311 и работу над диодами серий Д9—Д14, Д101 уже заканчивал там. Дальше основной его специализацией стали СВЧ детекторные и смесительные диоды.

Выпрямительные диоды ДГ-Ц21—ДГ-Ц27 в результате модернизации корпуса и технологии изготовления (ОКР "Калибр" с 4-го квартала 1956 г. стали называться Д7 (фото 3). Работа по модернизации диодов была проведена на Томилкинском электровакuumном заводе, где и был наладен их серийный выпуск.

В НИИ-35 30 сентября 1957 г. главным конструктором В. Голденбергом на основе работы А. Пужая (НИР "Вентиль") была заказана ОКР "Паром" по разработке мощных германиевых диодов серий Д302—Д305 (фото 4). Как видим, сначала обозначение этих диодов отличалось от

ОКР - "Калибр"

Улучшение эксплуатационных характеристик плоскостных германиевых диодов (улучшение предельных режимов, уменьшение токов, исследование температурной зависимости, улучшение стабильности параметров)

По плану
5 Главного
Управления
ИРТА

Иск.56г.

Иск.56г. 100 100 500 500 489 489

г/с-200
к/с-289

Работа выполнена в срок и находится в стадии завершения на 133-е ИРТА. Выходился диод типа Д7 в полном конструктивном оформлении. Составлен технический отчет по теме.

Разработаны германиевые силовые диоды следующих 4-х типов.

Тип	207А	207Б	207В	207Г
Средн. выпр. ток (А)	1	8	5	10
Обратное напряжение в смд, (в)	150	100	100	50

Фото 4

По теме "ВЫПРЯМИТЕЛЬ"

Проведено обследование германиевых плоскостных диодов конструкции ЛФТИ-СКБ-245 и НИИ-381.

Выполнены работы на участке силовых диодов и выпущена опытная партия диодов в количестве 10.000 штук. А всего на участке в конце года выпущено 30.000 шт. диодов.

Фото 5



Фото 6

3. Силовые диоды Д-1 и Д-2.
4. Германиевые диоды в стеклянном корпусе

Фото 7

привычного для нас. К концу года на опытном заводе было произведено 10000 таких приборов.

Министерству приборостроения и средств автоматизации на выполнение работ, предусмотренных Постановлениями ЦК КПСС и Совета Министров СССР и распоряжениями Совета Министров СССР по выпуску отчетно-разовых и математических машин "Урал", МН-8, М-20 требуются германиевые диоды производства Министерства радиотехнической промышленности.

На план производства второго полугодия Министерству приборостроения и средств автоматизации требуется германиевых диодов 260 тыс.штук, в том числе:

ДП-4	-	50 тыс.штук
ДП-5	-	70 тыс.штук
ДП-7	-	50 тыс.штук
ДП-8	-	90 тыс.штук

Фото 8

Не могу сразу начать рассказ про создание приборов на основе кремния, поскольку к разработке как кремниевых приборов, так и германиевых имели отношение, помимо СКБ-498 и НИИ-35, еще две организации. Это — Ленинградский физико-технический институт (ЛФТИ) и СКБ-245, будущий ВНИИ(ЗБТ) в Москве. Вместе они начиная с 1954 г. занимались научно-исследовательскими работами по германиевым диодам, получившим название слоистых, плоскостных, по-современному. В результате ЛФТИ и СКБ-245 в содружестве с НИИ-35, выполнив ОКР по теме "Выпрямитель", разработали плоскостные силовые диоды Д1 и Д2. Производство их было организовано на опытном заводе № 498 ("Старт"). К концу 1955 г. было изготовлено 30000 шт. немного под другим обозначением — СД1 и СД2. Их параметры для меня остаются загадкой, особенно термин "силовые" (фото 5, фото 6).

Вот в этом, видимо, и кроется причина путаницы в присвоении порядковых обозначений германиевым точечным диодам ДПЧ-С (Д1) и ДПЧ-стекло (Д2).

Это понятие можно из приведенных фотоврезок (фото 7). ГОСТ 5461-56 еще не был разработан, а все вышеуказанные изделия уже были.

Рассказ про германиевые диоды может оказаться неполным, если не написать о попытке СКБ-245 создать для своих вычислительных (математических) машин опытную партию германиевых точечных диодов под названием Д4. Упоминание о них есть в техническом описании первых вычислительных машин "Урал" от 1955 г. Параметры и стабильность этих приборов была таковой, что, судя по найденному документу, датированному июлем 1956 г. (фото 8), в серийно выпускаемых вычислительных машинах они не применялись. Что и не удивительно, поскольку диоды ДГ-Ц4 и другие уже прошли обкатку временем и хорошо себя зарекомендовали. В документах также встретились диоды Д5, КД-1 и КД-2 всё тех же разработчиков. Но, кроме упоминания о них, на данный момент более ничего найти не удалось (фото 9).

Попробую оканчивать повествование о германиевых приборах и СКБ-245 на оптимистичной ноте. Поэтому сообщая, что первым широко применяемым фотодиодом стал разработанный в этой организации в 1958 г. германиевый диод ФД-1, который долго и успешно выпускался на заводе "Самфир" (фото 10).

Кремниевые приборы

Вспомним военных разработчиков из НИИ-885. Конечно же, они были недовольны небольшим температурным интервалом германиевых приборов, в том числе и транзисторов, и требовали срочно его расширить. Они беспрерывно напоминали в различных инстанциях о своих требованиях к полупроводниковым приборам.

К концу 1955 г. организации ЛФТИ вместе с СКБ-245 и НИИ-35 независимо друг от друга были выполнены научно-исследовательские работы по теме

1. И. П.
Германиевый точечный с инд-
вальной иглой типа А-5 - разработ-
СН-245

1978 r.

Госкомитет Совета
Министров СССР по
радиотехнике
(з-д п/я 1531)

для крепления, сплюснтой, опор-
ной втулки типа ВД-1 - раз-
мер СКБ-245

1958 г.

Московский (област-
ной) комитет
(з-д п/и 3)

железнодорожный, спальный, типа
- разработка СНБ-045

1958 г.

мальной рабочей температурой 100 °С (фото 11). НИИ-35 предъявил госу-

форовичем Пужаем. Он был Главным конструктором темы по кремниевым диодам от НИИ-35.

Вместе с тем, Государственная комиссия, изучив результаты работы, проведённой ЛФТИ и СКБ-245, приняв во внимание их доводы о плохом качестве кремния (низкое объёмное сопротивление), с которым пришлось работать, рекомендовало продолжить исследования по изучению свойств приборов, не отвечающих требованиям военных, но неожиданно получившихся с обратной вольт-амперной характеристикой, как у стабилитронов. Такое вот начало было у стабилитронов... Забавно, не правда ли? Плохое качество исходного материала явилось началом появления на свет и приборов, изменяющих ёмкость под действием обратного напряжения — варакторов и варикапов.

Автомат германский сданный
специального назначения типа
0-1 - разработка СКБ-245.

1958 F.

Исходный (горючий)
сигналов (назад 1999)

Tema E 4

НУР - "База"
Разработка низкочастотного кремниевых выпрямителя на силу тока 50 ма и обратное напряжение до 25в, способного работать при температуре окружающей среды свыше 100°С.

Пост.СМ А
СССР
№ 980-422сс
от 21/У-54г.
Приказ
МРП № 97сс
от 1/У1-54г.

Дек.55г.	Дек.55г.	100	100	450	250	448	248
----------	----------	-----	-----	-----	-----	-----	-----

тома высокая полнота и в срок, в соответствии с утвержденными техническими заданиями. Разработано свыше 2000 конструкций, изготовлено около 100 шт. лабораторных макетов кремниевых диодов, получены предварительные данные по их свойствам; изготовлены отечественные образцы диодов на обратное напряжение.

В 1956 г. в соответствии с планом на 1000ч, сданным правительством при температуре выше 100°С. По результатам проведенной работы в плане 1956г. предусмотрена спитно-конструкторская работа по теме "Изучение влияния научно-технический отеч. Работа предназначена на гос. задание".

ров)



Фото 17

Будут завершены разработкой малогабаритные кремниевые диоды для счетно-решающих устройств (НИР "Парча").

Фото 18



Фото 19

17. НИР - "Линза"
Создание кремниевого плоскостного диода, пригодного к работе при температуре окружающей среды 125°С в режиме выпрямленного ток 400 мА и обратное напряжение не выше 400В /Переходит на 1957 год/
18. НИР - "Свет"
Разработка кремниевого диода на обратное напряжение не менее 150В /Переходит с 1955г./

Изм.56г. Изм.57г. 50 100 600 900 287 287

По плану НИР Переход. Изм.56г. 100 100 800 190 198 124 с 1955г.

Продолжает работы по получению в исследовании свойств диодов, изготовленных из кремния. Изготовленные диоды: находится под углом кривой ВАХ отсутствует нежелательное сопротивление. Составлена техническая анкета по теме. Техническая готовность всей работы - 50%.

Работа выполнена в срок. Получены лабораторные образцы плоскостного кремниевого диода на обратное напряжение 150В. Составлен научно-технический отчет по теме.

Фото 20

Точечные кремниевые диоды серий D101-D103 появились точно так же, как и D9, в ходе выполнения работ по теме "Орбита". Они начались в 1955 г. в НИИ-35 и были закончены к концу 1956 г. в НИИ-311. (Фото 17, фото 18).

Лаборатория плоскостных выпрямительных диодов была переведена в НИИ-311 только в 1959 г., следовательно

Тема № 57.

НИР - "Орбита".

Исследованию возможности создания помехоустойчивых радио-выпрямителей с применением печатных схем, полупроводниковых приборов и новых магнитных и диэлектрических материалов. Изготовление лабораторных образцов и составление научно-технического отчета. (Переходит на 1956 год).

Фото 21

но, опытное производство установочных партий высоковольтных и мощных диодов происходило на будущем "Пульсаре".

Диоды серий D206-D211 появились благодаря НИР "Линза" и ОКР "Нева", законченных в третьем квартале 1956 г. Главное было создать прибор с прямым током не менее 100 мА, сохраняющий работоспособность при обратном напряжении не менее 150 В и температуре 100°С (фото 19, фото 20). Первым, относительно сильномотивным с прямым током до 400 мА, получился диод D201, созданный в начале 1957 г. (фото 21, фото 22).



После приобретения необходимого технологического опыта были созданы диоды серий Д214 и Д215 (фото 23), разработанные в 1958 г. по теме "Предлог". Конечно, сначала их выпуск был налажен на опытном заводе НИИ-35, и в 1959 г. было изготовлено 700 штук. После этого производство было передано на завод № 498 (будущий "Старт") и на завод НИИ-311 (фото 24).

Сотрудники лаборатории плоскостных диодов в НИИ-311 в 1960 г. по теме "Предмет-1" разработали мощные стабилизаторы серий Д815—Д817 и другие аналогичные (фото 25).

Мало кто знает, что первые исследовательские работы, начатые в 1957 г. на будущем "Пульсаре" с переключательными полупроводниковыми приборами (тиристорами), предполагали использование германия для создания (как их тогда называли) управляемых диодов (фото 26), но в скором времени научились производить кремний нужного качества и управ-

19. ОКР - "Ноль"

Разработка конструкции плоскостного кремниевого диода, работающего при температуре окружающей среды 125°C в режиме: выпрямленный ток 400 мА и обратное напряжение 200 В (по типу 1-й 341) (Переходит на 1957 г.)

Сл. записка
МРП
АП-56сс
от 3/II-56г.
/приказ
МРП № СП-
47сс)

Ив.56г. Пкв.57г. 68 100 2170 1970 1993 1993
к/с-745
т/с-588

Изготовлены и переданы заказчику 260 шт. лабораторных образцов кремневых плоскостных диодов. Ввиду отсутствия необходимого исходного материала заводские параметры образцов масс. требования технического задания. Техническая готовность всей работы - 60%.



ляемые диоды решили делать на его основе, а не из германия (фото 27, фото 28).

Немного о промышленном производстве. С 1959 г. разработчики полупроводниковых приборов НИИ-35 и НИИ-311 после выпуска опытных изделий передавали серийное производство на закрепленные за ними предприятия. Для НИИ-35 серийными заводами были "Светлана" (Ленинград), Воронежский, Брянский, Новгородский, Ташкентский, Рижский и Александровский заводы полупроводниковых приборов. Для НИИ-311 это были Томилинский, Новосибирский, "Старт" (Москва), Саранский, Запорожский и Херсонские заводы.

Внимательный читатель обратит внимание на отсутствие в списке завода № 382 "Плутон", известного как производителя популярных диодов Д2, Д9, Д101, транзисторов серий П4 и П201—П203. По решению правительства с 1960 г. он не принимал участия в серийном производстве новых приборов, созданных двумя ведущими НИИ после 1959 г. Необходимо было снизить нагрузку на предприятие, чтобы не отвлекать производство от профильной тематики. Вместе с тем, несколько новых изделий, созданных самостоятельно, вышли из его конструкторского бюро, в частности,

В соответствии с постановлением Совета Министров СССР № 133-77 от 8/II-57г. /Приказ МРП № 35 от 14/II-57г. / НИИ-35 выполнял и пред'являл к пришке научно-исследовательскую по теме "Предлог" - "Плоскостные кремниевые диоды на токи работают от 1 до 10а при обратном напряжении от 100в до 200в на один элемент".

Фото 22



Фото 23

В соответствии с приказом Госкомитета СМ СССР по радиоэлектронике № 474 от 27/IX-60г. НИИ-311 закончил опытно-конструкторскую работу по теме "Предмет-1" - разработка серии стабилитронов на напряжение 6-15в /10вт/ и 15-100в /5 вт./

Фото 24

ОКР "Разработка германиевых управляемых диодов, предназначенных для использования в переключающих устройствах."

Основанием для проведения работы служил договор № 22 от 16 февраля 1937 г. с п/я 1467.

Работа проводилась в период с февраля 1937 г. по декабрь 1937 г. Государственные испытания перенесены на 1938 год.

Фото 25



Фото 26



Фото 27

специальный вариант диода Д2 — диод серии 1600.

Такова краткая история создания полупроводниковых диодов и становления отрасли в целом в

нашей стране. Конечно, многие факты и события, по разным причинам, не отражены в этом небольшом исследовании, но главное, на что нужно обратить внимание, — это творческая работа большого числа талантливых инженеров, в частности Александра Никифоровича Пузя, многих техников и рабочих, позволявшая поддерживать обороноспособность нашей страны на высоком уровне.

А. ГОЛЫШКО, канд. техн. наук, г. Москва

"Нельзя манипулировать космическими понятиями в партийных целях".

(Сергей Алексеев. "Сокровища Валькирии")

Однако мы дожили до того момента, когда всё информированное человечество с нетерпением ожидает, когда сбудутся прогнозы на обозримое будущее не от аналитиков-экспертов, а от футурологов-фантастов. И даже теперь понятно, почему — банально не хватает фантазии для понимания того, что будет или может быть. А ожидается вот что...

Неизбежно надвигается событие, представляющее совершенно особый отрезок времени, называемый технологической сингулярностью, которая будет являться следствием целого комплекса технологических предсказаний. Основой, как и многое в наше время, является стремительное развитие информационных технологий (ИТ). В его рамках вот уже почти в течение 50 лет выполняется закон Мура, гласящий, что удорожание компьютеров удваивается каждые полтора года.

Помимо привычных нам компьютеров, быстро развиваются направление квантовых компьютеров, которые позволяют исследовать сложные квантовые явления, поскольку составляющие их кубиты могут принимать много состояний, а не только ноль или единицу.

Совершенствуются нейросети, представляющие собой программные алгоритмы, позволяющие итеративным путем идти к намеченной цели без дальнейшего участия человека. Именно их обычно называют сегодня искусственным интеллектом (ИИ), хотя пока к ним более применим термин машинное обучение (machine learning). В СМИ порой представляют ИИ как компьютер, во много раз более умный, чем человек, что, конечно, сильно преувеличено. Тем не менее современный ИИ уже "пробует" себя в беспилотных средствах передвижения, в различных автоматизированных аналитических системах, а видеонаблюдатели уже встраиваются, к примеру, в интеллектуальные видеосистемы, чтобы не перегружать сети связи лишней информацией. Ну а такое понятие, как Большие Данные (Big Data), уже прочно вошло в нашу жизнь, помогая из потока всевозможных данных определять скрытые потребности, риски и новые возможности.

Без автономные интеллектуальные устройства нуждаются в эффективных

альтернативных источниках энергии. В частности, разрабатываемые в разных странах "атомные батарейки" на различных изотопах смогут автономно работать от 100 до 100 тыс. лет, не представляя опасности для пользователей.

Следует заметить, что все самые новые и перспективные открытия в области ИТ произошли всего лишь за каких-то 30 лет, сменив ни одно поколение различного оборудования. Все возможные устройства на глазах "умнеют", и мы говорим уже не только об "умных" кофеварках и холодильниках, а об "умных" домах, городах и даже странах. К примеру, многие руководители городов, регионов и государств имеют в своем распоряжении системы поддержки принятия решений (СППР), которые на основе собираемых огромных данных помогают вовремя среагировать на ту или иную ситуацию (а ещё лучше — её своевременно предвидеть). Стоит ли пояснять, что всевозможные аналитики и эксперты, обеспечивающие функционирование СППР, постепенно уступают в них свои роли системам анализа Big Data и ИИ.

Получается так, что однажды весь этот ИИ разовьётся до такой степени, что мощность компьютерных программ превысит вычислительную мощность человеческого мозга, и тогда наступит так называемая технологическая сингулярность. Данный термин предложил и публично представил в 1983 г. математик и научный фантаст профессор Вернон Виндж. По его словам, однажды люди сотворят более могущественный интеллект, чем их собственный, и в этот момент человечество достигнет своеобразной сингулярности, а его дальнейшая судьба станет непредсказуемой. Иначе говоря, главным в человечестве станет тот самый сверхинтеллект и что он сделает со своим творцом, как говорится, одному Богу известно.

Собственно, сам термин сингулярности, означающий точку, в которой всё, что в ней находится, стремится к бесконечности, понимается в очень большом количестве смыслах: есть сингулярность физическая, космическая, гравитационная, технологическая и др. Чаще всего сингулярность используется при описании нашего понимания "большого взрыва", когда буквально из

точки возникла наша Вселенная, и что там было в той самой точке до описанного события, нам отсюда не видно.

В свою очередь, технологическая сингулярность означает момент превосходства технологий над человеком. Технологий, заметим, которые начал развивать сам человек, пытаясь компенсировать то, чем, как ему казалось, обделила его природа. В общем, технологическая сингулярность (или просто сингулярность) является гипотезой о том, что изобретение некоего искусственного сверхинтеллекта внезапно вызовет безудержный технологический рост, что приведёт к сильным изменениям в человеческой цивилизации. Специалисты называют этот особый вид ИИ общим ИИ, который будет конкурировать с человеком. Но который на самом деле будет создан ещё очень и очень нескоро хотя бы потому, что мы сами не знаем, как устроен наш интеллект, как работает наш мозг. Ведь мозг — весьма сложная биологическая машина, которую, как представляется, весьма непросто воспроизвести с помощью алгоритмических компонентов.

На симпозиуме VISION-21 в 1993 г. В. Виндж представил следующие события из развития гипотезы технологической сингулярности:

- возникнет ИИ, в разы превосходящий человеческий;

- повысится эффективность человеческого разума, физические характеристики с помощью геной инженерии;

- крупные компьютерные сети смогут самостоятельно идентифицировать себя как разумные сущности;

- синтез компьютера и человека приведёт к тому, что человек сам будет иметь сверхинтеллект.

В итоге мы станем не одиноки среди порождённых нами новых сущностей. Не удивительно, что все эти мысли были тут же развиты различными футурологами, которые стали предсказывать рождение технологической сингулярности в период от 2020 г. до 2070 г. С первой датой, как все мы теперь знаем, они ошиблись, однако тот же В. Виндж с некоторыми коллегами склонялся к 30-м годам нашего столетия, что делает проблему подготовки к возможной "новой эре" в развитии человечества ещё актуальной.

Кстати, ещё в 1965 г. Ирвин Джон Гуд, британский математик, который в свое время работал криптологом в Блетчли Парк с Аланом Тьюрингом, предположил, что общий искусственный интеллект (т. е. не просто машинное обучение, а нечто гораздо более интеллектуальное) может привести к взрыву технологического развития. Его сценарий выглядел следующим образом: по мере того, как компьютеры увеличивают мощность, людям становится проще строить машину, более интеллектуальную, чем человек. Этот сверхчеловеческий интеллект обладает более широкими навыками решения проблем и изобретательских способностей, чем способны нынешние люди. Эта суперинтеллектуальная машина затем разрабатывает ещё более совершен-

шенную машину или переписывает своё собственное программное обеспечение, чтобы стать ещё более умной. Эта (всё более способная) машина затем продолжает разрабатывать машину с ещё большей способностью и так далее. В общем, понятно, на чём базировались прогнозы В. Виндха.

Экспоненциальный рост вычислительной техники, предложенный законом Мура, обычно упоминается как причина ожидания сингулярности в относительно ближайшем будущем. Что касается самой подготовки к технологической сингулярности, то в историческом масштабе революционных событий (фазовых переходов) она похожа на иллюстрацию закона Мура, как показано на рисунке. Причём речь идёт не просто о развитии человечества от древнейших культур, вроде Мустье, но и жизни на планете Земля вообще.

с помощью гибридных цифроаналоговых архитектур. Прогнозируется также появление социальных нейросетей и полноценного гибридного человеко-машинного интеллекта. Коротко говоря, обмен мыслями станет ещё проще.

Среди прогнозов можно встретить 2023 г., когда ИИ превзойдёт возможности человеческого мозга, а также 2045 г., когда он превзойдёт возможности всех людей планеты.

Ускорение информационного прогресса можно иллюстрировать так: интервал между аграрной и индустриальной революциями составил примерно 8 тыс. лет, через 120 лет была изобретена электрическая лампочка, ещё через 90 лет люди полетели на Луну, ещё через 22 года появилась WWW, а всего через 9 лет после этого был раскодирован геном человека. В общем, динамика высока и понятна. Непонятно

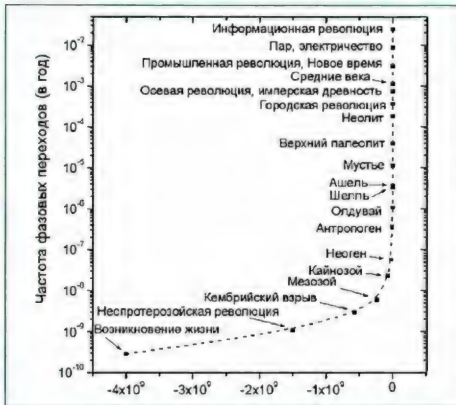
ИИ второй категории — общий ИИ (AGI, Artificial General Intelligence). По уровню интеллекта он достигает и превосходит человека, т. е. способен делать выводы, планировать, решать проблемы, мыслить абстрактно, понимать сложные идеи, быстро обучаться, в том числе на основании собственного опыта.

ИИ третьей категории — искусственный суперинтеллект (ASI, Artificial Super Intelligence). Он умнее всего человечества вместе взятого, начиная от «немного умнее» до «умнее в триллион раз».

Пока человечество оперирует разнообразными ИИ первой категории, которые используются совместно на транспорте, в авиолиниях, в Интернет-поисковиках, в спам-фильтрах почтовых сервисов, в смартфонах, в играх, в производстве, финансах и военной сфере. Современные ANI-системы не особо вызывают опасения, и в худшем случае могут привести к изолированной катастрофе. Однако каждая инновация в сфере ANI тихо вносит небольшой вклад в общую копилку, становится ещё одним кирпичиком в возводимой стене AGI и ASI.

Известный футуролог Рэй Курзвейл применяет термин сингулярность не только для быстрого увеличения ИИ, но и для эволюции (в отличие от других технологий). Он, например, писал: «Сингулярность позволит нам преодолеть эти ограничения наших биологических тел и мозгов ... Не будет никакого различия, после сингулярности, между человеком и машиной». Он также определяет свою предсказанную дату сингулярности — 2045 г., в терминах того, когда он ожидает, что компьютерные интеллектны значительно превзойдут общую человеческую мозговую мощь, написав, что достижения в вычислениях до этой даты «не будут представлять сингулярности», потому что они «ещё не соответствуют глубокому расширению нашего интеллекта». В связи с этим интересно, как его будут расширять, то ли будут развивать интерфейс человек-компьютер, то ли встраивать компьютер в человека, то ли научиться использовать для вычислений незадействованные клетки головного мозга. Курзвейл также утверждает, что технологический прогресс следует образцу экспоненциального роста в соответствии с так называемым законом ускорения возмездия. Всякий раз, когда технология приближается к барьеру, вновь появившиеся технологии преодолевают её. Он предсказывает, что сдвиги парадигмы станут всё более глубокими, что приведёт к быстрым и глубоким технологическим изменениям, которые представляют собой разрыв в истории человечества. Так что это будет за разрыв?

Известно, что чрезвычайно легко построить компьютер, способный в малую долю секунды умножить десятизначные числа. А вот построить компьютер с программой, которая сможет посмотреть на собаку и ответить, собака это или кошка, — уже не так просто. Создать ИИ, способный победить любого человека в шахматах или в го, можно. Но на разработку ИИ, способного хотя бы прочитать параграф из книги для шестилетних детей и понять их



Разумеется, особый интерес представляет самая верхняя часть представленной на рисунке кривой в части прогнозов всего того, что предвещает приближение сингулярности и что так привлекает футурологов. Вот, к примеру, в 2007 г. появился первый iPhone, ставший знакомым событием в мире коммуникаций, к 2025 г. планируется появление гаджетов-имплантов и охват планеты Интернетом вещей, а к 2040 г. появится так называемый нейронет.

Что же касается последнего, то прогнозируется, что он станет следующим этапом развития современного Интернета (Web 4.0), в котором взаимодействие участников (человек-человек, человек-машина) будет осуществляться с помощью новых нейрокомпьютерных интерфейсов, а сами компьютеры станут нейроморфными (похожими на мозг)

только, что будет дальше. К примеру, на саммите Singularity'2012 (уже есть и такие) Стюарт Армстронг провёл исследование экспертов по искусственному общему/глобальному интеллекту и нашёл широкий диапазон прогнозируемых дат со средним значением 2040 г. Здесь стоит пояснить разнородности ИИ. Прежде всего, это общий термин для описания технологий компьютерного интеллекта. Несмотря на разнообразие мнений по этому вопросу, большинство экспертов считают, что существуют три категории ИИ.

ИИ первой категории — ограниченный ИИ (ANI, Artificial Narrow Intelligence). Специализируется в какой-то конкретной области. Например, есть ИИ, способный победить чемпионов мира по шахматам, но это единственное, что он может делать.

знание, компания Google тратит миллиардные суммы. И всё то, что кажется нам простым, на самом деле невероятно сложные процессы, которые сотни миллионов лет назад были оптимизированы под нас (и большинство животных) эволюцией. Когда вы протягиваете руку к какому-то предмету, то ваши мышцы, сухожилия и кости плеча, локтя и запястья моментально выполняют длинную последовательность физических операций под контролем глаз, чтобы ваша рука смогла двигаться как нужно в трёх измерениях. Вы не командуете организму сделать то или это, а просто делаете. А вот умножение огромных чисел или игра в шахматы — это новые занятия для биологических существ, у которых не было возможности адаптироваться под них.

В целом мы пока не понимаем, в какой степени вооружённые ИИ компьютеры и роботы могли бы приобрести автономию и в какой степени они могли бы использовать подобные способности в качестве угрозы или опасности. К примеру, если новые технологии человечество, в первую очередь, применит на ведение войны или обладание материальными средствами, борьба за которые и есть война. А что будут делать роботы с ИИ, разработанные теми самыми людьми? Или сингулярность — это лишь очередная вспышка во Вселенной?

Мало сомнений, что последние достижения в области ИИ, в частности, технологии для наблюдения и распознавания лиц, могут привести к возникновению оруэлловского общества (Дж. Оруэлл "1984") в его наиболее экстремальной форме. Следующими на этом пути станут мысли и нейронет. С помощью мысли люди с ограниченными возможностями уже умели открывать двери, и с помощью мысли можно контролировать личность человека. За такую сингулярность любая диктатура скажет спасибо!

Правда, если описанные инструменты попадут в руки какого-нибудь осознанного как личность ASI, не исключено, что оруэлловское общество покажется нам просто милым пионерским лагерем. А быть может, никакой особенной сингулярности не случится, и мы просто слишком мало знаем о том, что пытаемся копировать?

Пока же человек не понимает устройство мира и цель своего существования. Он не умеет пользоваться доступными ему инструментами и видит окружающую экосистему исключительно как свою собственность и всегда параллельно создаёт с помощью технологий всё, что изначально уже создавалось природой. Интуиция, предвидение, экстра-сенсорные способности, получение информации "сверху", левитация, чтение мыслей, дистанционное исцеление — присущие людям, но пока непонятные и недоказанные научной явлением. Никогда не говори никогда, когда имеешь дело с непознанным. Возможно, всё непознанное, включая веру в Бога, — отнюдь не лженаука, а будущий потенциал науки.

Несмотря на огромные успехи в познании мира, мы о нём мало что знаем. В нашей концепции физического мироздания приходится вводить много

постулатов и аксиом (к примеру, высказывая, что если хоть немного изменить физические константы, нашего мира попросту не было бы). Мы не знаем, что происходило или происходит в точке сингулярности в момент Большого взрыва или в чёрной дыре, а также за приближающейся границей событий в условиях ускоренного расширения Вселенной, свет из-за которой до нас попросту не доходит. Нам не удалось создать квантовую теорию относительности или единую теорию поля, хотя есть понимание, что используемые нами общая теория относительности и квантовая механика, к сожалению, несовместимы и, значит, не могут быть одновременно правильными. Вот нашла, вроде бы, бозон Хигса, и что, всё стало ясным? Зато вполне серьёзные рассуждения о флуктуациях вакуума, в результате которых вдруг ниоткуда появляются микрочастицы, считающиеся переносчиками взаимодействия, напоминают споры средневековых теологов на отнюдь не материальных темы. Или намекают на наличие некоей энергетической среды (не вакуума), которая ответственна за всё происходящее.

Совсем недавно произошло наше прозрение о наличии темной материи и темной энергии, из которых на 95 % состоит и наполнена Вселенная. Главным сюрпризом и разочарованием для человечества в XXI веке заключаются в том, что мы живём вовсе не в центре Вселенной и сделаны не из того вещества, из которого в основном сделана эта Вселенная... И в любой момент в наших представлениях Вселенная может оказаться совершенно другой в деталях.

К тому же, как представляется, наши биологические тела — это значительно больше, чем любой, когда-либо созданный нами компьютер, вооружённый ИИ. А то, что в телах обитает, не умирает, похоже, вместе с ними. К примеру, благодаря развитию ИТ можно предположить наличие аналогов в строении мира и ИТ (где есть "железо" и поверх него ПО, существующее благодаря электромагнитной энергии), и ПО в человеке можно (условно) назвать душой. Душой вечной и неповторимой, посаженной как семя, из которого должно вырасти подобное своему родителю (правда, очень похоже на ПО, записанное на какой-либо носитель). На этом аналогии, очевидно, заканчиваются, потому что мы не знаем, как моделировать то, что мы пока не понимаем в принципе? Где взять тот поток энергии, с помощью которой душа управляет телом? Кстати, существуют исследования о том, что душа очень часто существует одновременно сразу в нескольких мирах, и в любом случае хоть как-то моделировать удастся лишь её фрагмент. Посему все попытки симулировать "самую действительную действительность" упираться в невозможность симулировать душу. Точнее, в невозможность заселения созданной кем-то симуляции душой. Наверное, проще создать управляемого двойника без души, чем за просто так нового человека или хотя бы крысу.

Из самого свежего. Журнал Nature Human Behavior написал, как француз-

ская исследовательская группа с помощью мощных инструментов нейровизуализации головного мозга сделала недавно необычное открытие в области происхождения и развития наших личных воспоминаний. Выяснилось, что некая коллективная память, которая существует вне и за пределами отдельных людей, организует и формирует индивидуальную память каждого из них. То есть эта коллективная память представляет собой общую мысленную модель, позволяющую связывать воспоминания людей во времени и пространстве. Иначе говоря, открытие демонстрирует, что мы менее независимы, чем могли себе представить. То ли ещё будет, как говорится.

Рассмотрим несложный пример на похожую тему. Есть мнение, что современный научный подход по генетическим модификациям неоптимален. Почему? В сложной сверхтонкой пространственной структуре ДНК многие гены имеют параллельные связи друг с другом, поэтому замена одного или даже группы генов вызывает разбаланс всей конструкции с далеко идущими энергетическими последствиями. Короче говоря, исправляя одно, можно покалечить очень много, и порой не всегда видимое на нашем уровне. Но в век торжества ИТ можно было бы задуматься, что ДНК — лишь часть внутренней информационной инфраструктуры клетки, которая работает под управлением специальной программы. Очень может быть, что учебники открыты стволовые клетки, а стволовые гены ещё ждут своей очереди. И дело тут отнюдь не в инфраструктуре, а в программе. Однако биологи/генетики с маниакальным упорством продолжают "добывать" инфраструктуру ДНК, как будто, расковыряв серверы и работающие устройства памяти, можно кардинально изменить работу суперкомпьютера, которым, по существу, является каждая клетка. Менять же надо программу, а для начала следует научиться её пользоваться.

Все эти размышления крайне интересны и отнюдь не закончены. Думается, всё у нас ещё впереди. Причём даже впереди той самой предсказанной технологической сингулярности. А вдруг появятся новые технологические трудности, для которых будут нужны новые революции?

Может быть, к понятию сингулярности есть другой путь, и он есть у каждого?

Может быть, наша цель — научиться пользоваться своими способностями? Ну в истинном строении мира будет дожидаться своих открытий, открывшихся со стороны обычных людей, открывших в себе нечто... Например, путь в коллективные воспоминания.

Со временем таких людей будет много... И, быть может, тогда и наступит эволюционная сингулярность.

По материалам earth-chronicles.ru, transhumanism.fandom.com, neuronus.com, habr.com, hi-news.ru, monocler.ru, scientifically.info, postnauka.ru, alterozoom.com, rusneuro.net, slate.fr

Результаты автономного космического полёта интеллектуальной группировки МКА в рамках космического эксперимента "РадиоСкаф"

О. АРТЕМЬЕВ, канд. экон. наук, Звёздный городок Московской обл.,

С. САМБУРОВ, г. Королёв Московской обл.,

Е. ШИЛЕНКОВ, канд. техн. наук, С. ФРОЛОВ, канд. техн. наук, А. ЩИТОВ, г. Курск

В настоящее время большой интерес представляет создание автономной интеллектуальной группировки малых космических аппаратов (МКА). Цель космического эксперимента "Радио-

сбора и обработки данных измерителей и автоматического поддержания сети внутри группировки.

Анализ результатов автономного космического полёта МКА показал, что

устойчивая зона приёма сигнала спутника на низкой околоземной орбите (НОО) на изотропную антенну при мощности передачи не менее 29,6 дБм (0,95 Вт) начинается с угла места более десяти градусов. Это позволяет организовать семиминутный цифровой сеанс связи с наземной станцией с общим объёмом трафика 30 кбайт при скорости передачи данных 1200 бод и 240 кбайт при скорости 9600 бод (с оговоркой на худшую помехоустойчивость). Речевые сигналы, передаваемые МКА и принимаемые направленной антенной с коэффициентом усиления не хуже 10 дБд, разборчиво слышны на низких углах места (менее одного градуса). Интервал времени речевого обмена с наземной станцией длится десять минут. Система питания генерирует около 10 Вт-ч электроэнергии, что позволяет использовать передатчик в течение 30 мин на каждом витке. Четыре аккумулятора представляют собой буфер питания с совокупной энергоемкостью батарей 74 Вт-ч, которая динамически распределяется на питание полезной нагрузки и бортовых систем. Максимальное время непрерывной работы трансмиттера — 60 ч. Время восстановления заряда аккумуляторной батареи — 16 витков с выключенным передатчиком и полезной нагрузкой.

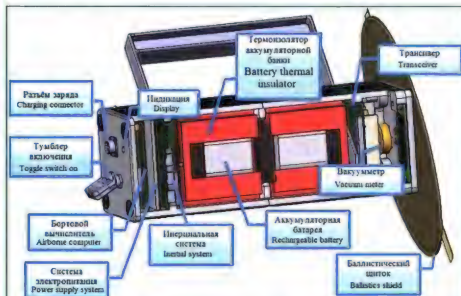


Рис. 1

Скаф" — отработка технологии создания малых космических аппаратов серии CubeSat в конфигурации 3U различного целевого назначения, разработка научной аппаратуры для установки её на космический аппарат, выведение аппарата с российского сегмента Международной космической станции (МКС) и последующая лёгкая отработка аппаратуры в условиях автономного полёта с орбиты около 400 км и ниже, а также получение фотозображений поверхности Земли и данных от научных приборов, установленных на спутнике и исследование характеристик грузов, доставленных на орбиту. Кроме того, целями этого эксперимента являются создание элементов информационной технологии для группировки МКА, организация полудуплексной связи внутри сети группировки совместно с возможностью приёма команд от наземного пункта управления, отработка группировки МКА функций коллективного

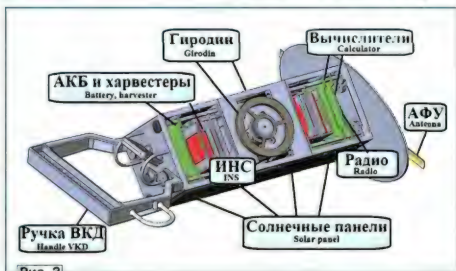


Рис. 2

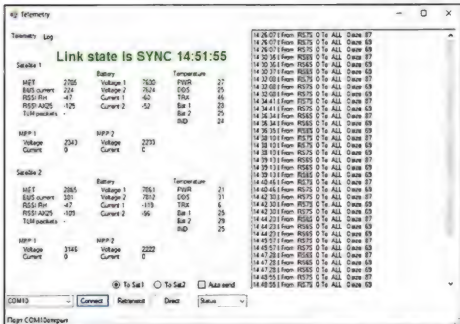


Рис. 3



Стабилизация положения МКА до угло-
вой скорости вращения менее одного

градуса в секунду требует около 25 Вт·ч
энергии при включенном гетеродине и

тормозящих магнитотерках (магнитных
затворах). При исходных угловых скоро-
стях поворота не выше 540 градусов в
секунду зафиксированное время стабили-
зации приблизительно 324 секунды.

Каждый аппарат из состава группиро-
вки МКА содержит информацию об
активных спутниках сети. На текущий
момент их четыре: RS6S, RS7S, RS8S,
RS9S. Приоритетный адрес получает
аппарат с наивысшим запасом и гене-
рацией электроэнергии (сейчас RS7S).
На рис. 1 и рис. 2 показаны МКА серий
"Танюша-1", "Танюша-2" и "Танюша-3",
"Танюша-4" соответственно.

МКА "Танюша-2" (RS7S) чаще других
использует общий канал связи, в то время
как другие ожидают его освобожде-
ния. На рис. 3, как пример, показан обмен
информационными сообщениями
между МКА RS7S и RS6S. Такой подход
позволил снизить интерференцию сигна-
ла и замирания. Все объекты внутри
группировки синхронизированы по време-
ни и ориентации. Последнее означа-
ет, что спутники содержат информацию
об угловых скоростях поворота каждого.
Ориентирование МКА перпендикулярно
(ортогонально) поверхности Земли ис-
пользуется для параллельной пере-
дачи данных. Пересечение векто-
ров направлений, при котором ан-
тенно-фидерные устройства МКА
находятся на одной оси (диаграм-
мы антенн спутников направлены
друг на друга), оптимально для
автономного обмена информацией.
При этом измеренная длина
траксы в космическом простран-
стве равняется 1534 км при уровне
сигнала —121 дБм, что еще не яв-
ляется "последней милей" для при-
меняемой системы связи.

В рамках автономного обмена
данными обработаны ретрансляция
телеметрической информации и ко-
манды удаленного управления. Рет-
рансляция телеметрии позволила
получать результаты работы науч-
ного оборудования (полезной на-
грузки) МКА, расположенного за го-
ризонтом, через МКА, находящийся
в зоне видимости наземного центра
управления. Обратный процесс
передачи команды на удаленный МКА
повысил оперативность управления.

SCaN / ARISS Innovation Challenge
esc.gsfc.nasa.gov/challenges May 12, 2018

RSOISS NA1SS 9/12



SCaN / ARISS Innovation Challenge
esc.gsfc.nasa.gov/challenges May 12, 2018

RSOISS NA1SS 10/12



Commemorating 18 Years of Continuous
Amateur Radio Operation from the ISS

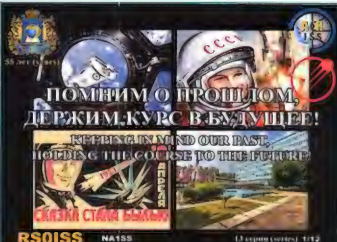


RSOISS

NA1SS

12/12

Рис. 7



RSOISS

NA1SS

13 серия (серия) 1/12

Рис. 8

С ДНЕМ
КОСМОНАВТИКИ!
Happy Cosmonauts Day!



RSOISS

NA1SS

13 серия (серия) 2/12

Рис. 9

Remembering Owen Garriott W5LFL



STS-9
First Man Operating
From Space

RSOISS

NA1SS

2/12

Рис. 11

Памяти Л.И.Нева и В.В.Быковского
28 августа 1978 г. - 3 сентября 1978 г. - Спейс 31 - Серия 6
Of memory S.I.Jahn and V.I.Byskovsky
28 August 1978 - 3 September 1978 - Space 31 - Series 6

RSOISS
Серия 15 - 2/15

Рис. 13

Памяти Л.И.Нева и В.В.Быковского
28 августа 1978 г. - 3 сентября 1978 г. - Спейс 31 - Серия 6
Of memory S.I.Jahn and V.I.Byskovsky
28 August 1978 - 3 September 1978 - Space 31 - Series 6

RSOISS
Серия 15 - 3/15

Рис. 14

Размещение составных частей научного оборудования в разных МКА позволило реализовать разнесённый в пространстве эксперимент. В отличие от одиночного аппарата, автономная интеллектуальная группировка проводит динамические и дифференциальные измерения. Положительный результат

заключается в повышении точности исследования. Процесс регистрации нейтральных и заряженных частиц вакуумметрами двух МКА в одной области пространства (но с задержкой по времени) уточняет математическую модель расчёта баллистики. Установлено, что синхронная работа датчиков

электромагнитного поля (при удалённом расположении МКА и с осевым ориентированием) на порядок увеличивает динамический диапазон измерений. Автономная интеллектуальная группировка позволила проводить эксперименты по изучению переходных процессов на солнечном и теневом отрезках



Рис. 20



Рис. 21

приема сигнала. Автономная группировка позволила увеличить объем принимаемых данных до 160 Гб посредством прямой ретрансляции. В научном сообществе активно развиваются глобальные сети наземных обсерваторий. Интеграция наземного пункта управления в сообщество Sainops расширила покрытие до 40 % всей поверхности Земли. Таким образом, сейчас информационное взаимодействие представляет собой завершённый цикл. Высокая оперативность принятия решений по

управлению группировкой МКА и оценка её состояния достигнуты благодаря глобальному мониторингу.

Проектное "время жизни" МКА — значение меньше. Сегодня этот показатель значительно превышает. Основным условием существования сети является работоспособность как минимум одного аппарата. Апробированные параметры связи показали, что подобные группировки МКА могут быть использованы как базовые станции речевого общения с широким покрытием. На рис. 4 пока-

зан интерфейс программы для управления группировкой МКА.

Анализ радиочастотной обстановки "сверху" позволит оперативно выбрать свободный канал связи. В качестве развития концепции связи 5G всерьез рассматривается размещение оборудования базовых станций на спутниках НОО. Функционирование автономной интеллектуальной группировки подтверждает такую возможность. Объединение МКА в сеть на орбите уже привело к глобальной кооперации разработчиков и радиолюбителей в сообществе обсерваторий (наземных пунктов управления). Ввиду лавинообразного увеличения числа МКА типа CubeSat острым вопросом являются их учёт и утилизация. Внедрение протокола межспутникового обмена в служебном канале, реализованном в "РадиоСкафе", в каждый вновь запускаемый CubeSat позволит точно установить число активных и неактивных аппара-

тов. Результаты космического эксперимента "РадиоСкаф" указывают на необходимость дальнейшего использования и пополнение группировки МКА на НОО для дистанционного зондирования Земли.

В статье "Разработка и запуск радиолюбительских малых космических аппаратов с орбитальных станций "Мир" и МКС" ("Радио", 2018, № 4, с. 49—51) описана история разработки и запуска МКА с орбитальных станций "Мир" и МКС.

НОВОСТИ ВЕЩАНИЯ

Раздел ведёт В. ГУЛЯЕВ, г. Астрахань

РОССИЯ

БЕЛГОРОДСКАЯ ОБЛ. Радиостанция "Казак FM" с 7 февраля начала вещание в г. Алексеевке на частоте 88,9 МГц. "Казак FM" — российская региональная радиостанция с центром вещания в г. Краснодоре. Основу её эфира составляют песни, а также познавательные и развлекательные программы, отражающие кубанский колорит (источник — URL: https://vk.com/radio.tv.31?w=wall-83427404_17835 (25.02.20)).

БУРЯТИЯ. По информации филиала ФГУП РТС "РТРС" Республики Бурятия, с 1 февраля 2020 г. введены в эксплуатацию десять радиопередатчиков аналогового вещания программы "Радио России" с региональными вставками государственной телерадиокомпании "Бурятия", установленные в населённых пунктах Бабушкин, Жемуг, Кырен, Мухоморь, Наушки, Николаевский, Санага, Турка, Хорхой, Цолга. При этом вещанием будут охвачены 30 населённых пунктов.

Ранее, 11 ноября 2019 г., началось аналогового вещания программы "Радио России" с 28 передатчиков и охватом 89 населённых пунктов (источник — URL: https://egov-buryatia.ru/mintrans/press_center/news/detail.php?ID=57844 (25.02.20)).

С 21 февраля началось вещание радиостанции "Бурят FM" в Кизиловском районе на частоте 102,4 МГц (источник — URL: https://vk.com/kizilovskaya_online?w=wall-64536783_39676 (25.02.20)).

ВОЛОГОДСКАЯ ОБЛ. С 29 января в г. Череповце на частоте 87,9 МГц началось вещание радиостанции "Радио Дача" (источник — URL: https://vk.com/rtrs_vologda?w=wall-38848202_691 (25.02.20)).

Со 2 марта в г. Череповце на частоте 87,5 МГц начала работать радиостанция DFM (источник — URL: https://vk.com/rtrs_vologda?w=wall-38848202_702 (25.02.20)).

18 февраля в г. Вологде появилась радиостанция "Радио Книга" на частоте 92,7 МГц (источник — URL: https://vk.com/rtrs_vologda?w=wall-38848202_697 (25.02.20)).

ВОРОНЕЖСКАЯ ОБЛ. Радиостанция "Наше радио" с 21 февраля начала вещание в городах Новохопёрске на частоте 91,1 МГц и Борисоглебске на частоте 100,4 МГц (источник — URL: https://vk.com/nasheradiornv?w=wall-67066193_4032 (25.02.20)).

ИРКУТСКАЯ ОБЛ. Депутаты Законодательного Собрания Иркутской области настаивают на разработке и принятии в регионе программы по развитию цифровизации в отдалённых населённых пунктах Приангарья. Об этом было заявлено на совещании "Об обеспечении

печности жителей Иркутской области услугами связи, телерадиовещания, банковского обслуживания и другим электронными сервисами", которое прошло на площадке областного парламента под руководством председателя Закобрании Сергея Сокола.

"Почти в 170 населённых пунктах региона отсутствует мобильная сотовая связь", — сообщил Сергей Сокол.

Как рассказал директор филиала РТС "Иркутский ОРТРС" Александр Сребный, сегодня большинство жителей Иркутской области обеспечены цифровым телевидением и имеют возможность бесплатно смотреть 20 общедоступных телеканалов. Вместе с тем, почти 3 % населения региона "цифрой" не обеспечены.

Он добавил, что "Иркутский ОРТРС" ведёт работу и по развитию радиовещания. В минувшем году на территории области были установлены 30 передатчиков для приёма сигнала "Радио России" в FM-диапазоне (источник — URL: http://www.irk.gov.ru/events/news/detail.php?ID=287373&PAGE_2=2 и <http://baik-info.ru/deputy-zspodgotovyat-obrashchenie-o-razviti-cifrovogo-tv-v-priangare> (25.02.20)).

КАРЕЛИЯ. К сети вещания радиостанции "Такси FM" в середине февраля на частоте 102 МГц присоединился г. Сегежа (источник — URL: <http://www.krutoymedia.ru/news/7100.htm> (25.02.20)).

КОМИ РЕСПУБЛИКА. 10 февраля в полночь по московскому времени филиал РТС "РТРС" Республики Коми начал трансляцию радиостанции "Радио России" в населённых пунктах: Айкено — на частоте 102,1 МГц, Емба — на частоте 102,8 МГц, Мордино — на частоте 103,5 МГц, Объячево — на частоте 102,5 МГц. Мощность передатчиков — 100 Вт. Трансляция программы ведётся в режиме моно ежедневно в течение 20 ч в сутки с 05:00 до 01:00 по московскому времени.

Эфирная трансляция радиостанции в указанных населённых пунктах в диапазоне ОИРТ (65,9...74 МГц) была прекращена 10 февраля с 01:00 по московскому времени.

1 марта в 05.00 по московскому времени филиал РТС "РТРС" Республики Коми начал трансляцию радиостанции "Радио России" в г. Воркуте на частоте 103,7 МГц. Мощность передатчика — 1 кВт. Трансляция программ ведётся в режиме "Моно" ежедневно в течение 20 ч в сутки с 05.00 до 01.00 по московскому времени. Эфирная трансляция этой радиостанции на частоте 68,6 МГц прекращена 1 марта в 01.00 по московскому времени (источник — URL: <https://komi.rtrs.ru/tv/analogs/rtrs-nachinaet-fm-translyatsiyu-radio-rossii-v-vorkute/> (25.02.20)).

"Радио Шансон" с 20 февраля звучит в столице Республики Коми городе Сыктывкаре. Популярная радиостанция страны с этого дня доступна на частоте

90,4 МГц. Символично, что эфир стартовал ровно в 9.04 по местному времени (источник — URL: https://vk.com/radioshansonfm?w=wall-29892348_148733 (25.02.20)).

КУРГАНСКАЯ ОБЛ. Радиостанция "DFM" временно прекращает вещание на территории Курганской области (частота 100,7 МГц) в связи с пересмотрением разрешительной документации на другое предприятие. Возобновление вещания ориентировочно запланировано на конец марта или начало апреля.

КУРСКАЯ ОБЛ. В понедельник 10 февраля радиостанция "Наше Радио" начала своё вещание в новых районах Курской области: пгт Черемисиново (частота вещания — 98,6 МГц), г. Мантурово (частота вещания — 101 МГц), г. Рыльск (частота вещания — 107,4 МГц), село Сковородино (частота вещания — 101,3 МГц) и село Солдатское (частота вещания — 103,9 МГц) (источник — URL: <https://nsn.fm/regions-of-russia/nashe-radio-stalo-dostupno-v-novyyh-regionah-kurskoi-oblasti> (25.02.20)).

ЛИПЕЦКАЯ ОБЛ. С 7 февраля в г. Ельце на частоте 89,3 МГц началась работа радиостанции "Первое сетевое" (источник — URL: https://vk.com/official_pervoeaseteovo?w=wall-93328626_18898 (25.02.20)).

МАГАДАНСКАЯ ОБЛ. В г. Магадане вновь можно слушать одну из самых популярных радиостанций страны — "Русское радио". Вещание на частоте 107,1 МГц начала единственная частная телерадиокомпания Магаданской области медиахолдинг "Карibu". Пока вещание осуществляется в тестовом режиме, однако уже скоро "Русское радио" в Магадане станет максимально популярным для радиослушателей областного центра: появятся местные новости, магаданская погода, реклама от местных рекламодателей (источник — URL: <http://govoritmagadan.ru/vseobudet-horoshorusskoe-radio-nachastote-107-1fm-nachal-veshatmediaholding-karibu-v-magadane/> (25.02.20)).

НОВОСИБИРСКАЯ ОБЛ. 20 января филиал РТС "Сибирский РЛ" начал трансляцию радиостанции "Радио Книга" в городах Новосибирске и Бердске. В эфире станции звучат захватывающие рассказы и лирические фрагменты из поэм, романов и повестей.

Трансляция ведётся круглосуточно на частоте 93,2 МГц, мощность передатчика — 1 кВт. "Радио Книга" стало двадцатым первым радиоканалом, транслируемым со станции РТС в Новосибирске (источник — URL: <https://novosibirsk.rtrs.ru/tv/analogs/rtrs-nachal-fm-translyatsiyu-programm-radio-kniga-v-novosibirsk-i-berdske/> (25.02.20)).

С 21 февраля на частоте 96,6 МГц в Новосибирске начала вещание радиостанция "Сердечный Дождь", которая существует в России уже более 25 лет. Первые две недели по существующей традиции станции, будет транслироваться звук дождя, а с 6 марта в эфир начнут выходить московские программы. Время от времени звук осадков

прерывает женский голос: "Скоро на 96,6 FM будет идти "Серебряный Дождь" (источник — URL: <https://runews24.ru/novosibirsk/21/02/2020/bdf62141a7039a396860b47162cdf8c1> — URL: <https://newsib.net/novosti/v-novosibirsk-nachalsya-serebryanyidohod-na-chastote-966fm.html> (25.02.20)).

ОРЕНБУРГСКИЙ ОБЛ. К сети вещания радиостанции "Радио Дача" в середине февраля присоединились г. Сорочинск и пос. Новосергиевка. Частота вещания в Сорочинске — 103,5 МГц, в Новосергиевке — 107,9 МГц (источник — URL: <http://www.krutoymedia.ru/news/7128.htm> (25.02.20)).

ПЕРМСКИЙ КРАЙ. 1 февраля филиал РТРС "Пермский КРТЦ" начал трансляцию радиостанции "Радио России" со ставками региональных программ ГТРК "Пермь" на частоте 101,5 МГц в селе Уинское.

Трансляция "Радио России" на частоте 69,38 МГц на территории Уинского района прекращена (источник — URL: <https://perm.rtrs.ru/tv/analog/rtrs-nachal-fm-translyatsiyu-radio-rossii-v-sele-uinskoe/> (25.02.20)).

7 февраля филиал РТРС "Пермский КРТЦ" начал трансляцию радиостанции "Радио России" со ставками региональных программ ГТРК "Пермь" на частоте 101,7 МГц в посёлке Ильинский и одновременно была прекращена трансляция этой радиостанции на частоте 68,93 МГц.

Всего РТРС планирует установить современное радиопередающее оборудование в 21 населённом пункте Пермского края (источник — URL: <https://perm.rtrs.ru/tv/analog/rtrs-nachal-fm-translyatsiyu-radio-rossii-v-poselke-iliiskiy/> (25.02.20)).

ПРИМОРСКИЙ КРАЙ. В середине февраля стартовало вещание радиостанции "Love Radio" в Партизанске на частоте 107,5 МГц (источник — URL: <http://www.krutoymedia.ru/news/7098.htm> (25.02.20)).

РОСТОВСКАЯ ОБЛ. С 20 января радиостанция "Атаман FM" можно слушать в г. Сальске на частоте 88 МГц. Пока вещание идёт в тестовом режиме (источник — URL: https://vk.com/atanamfm?w=wall-174069956_222 (25.02.20)).

С 30 января радиостанция "Дорожное Радио" в эфире г. Каменск-Шахтинский на частоте 104,2 МГц (источник — URL: https://vk.com/rvkamensk?w=wall-69736014_790 (25.02.20)).

САМАРСКАЯ ОБЛ. В первой декаде февраля в г. Самаре началось вещание "Радио Книга" на частоте 100,5 МГц (источник — URL: https://vk.com/samara_fm?w=wall-18663493_46410 (25.02.20)).

САХА РЕСПУБЛИКА/ЯКУТИЯ. Запуск в Якутии мощного цифрового радиовещания обсудили в феврале на совещании Мининформации республики с ФГУП "Российская телевизионная и радиовещательная сеть". В настоящее время мощное радиовещание прекращено на всей территории России. Радиостанция № 1, обеспечивающая трансляцию радиопередатчиков "Саха" на арктические и северные территории

республики, была законсервирована в апреле 2018 г. Радиовещание осуществляется только в пределах населённых пунктов в УКВ-диапазоне (источник — URL: <https://news.ykt.ru/article/97205> (25.02.20)).

От автора рубрики: На форумах открыто называют этот проект "радиосказкой", он обсуждается уже несколько лет без видимых сдвигов. При этом ни разу не поднимался вопрос, откуда у населения республики появятся DRM-приёмники, чтобы принимать эту трансляцию. Наша промышленность их не выпускает и даже не ведёт разработку в этой области.

САХАЛИНСКАЯ ОБЛ. В г. Южно-Сахалинске с 1 февраля началось вещание радиостанции "Искатель" на частоте 91,5 МГц (источник — URL: <https://radioiskatel.ru/all-news/radio-iskatel-poyavitsya-v-yuzhno-saxalinske/> (25.02.20)).

14 февраля филиал РТРС "Сахалинский ОРТПЦ" завершил проект модернизации сети вещания "Радио России" в Сахалинской области. В 08.00 по местному времени на частоте 102,1 МГц заработал радиовещательный передатчик в г. Невельске.

Сейчас в области действует сеть из 40 передатчиков "Радио России". Она охватывает сигналом более 90 % радиослушателей, проживающих во всех муниципальных образованиях региона.

Старые передатчики, работавшие на радиочастотах от 66 до 74 МГц, выведены из эксплуатации. Филиал заменил их на передатчики, вещающие в стандарте в частотном диапазоне 87,5...108 МГц.

Основные работы по модернизации сети "Радио России" прошли в 2019 г., когда филиал ввёл в эксплуатацию 34 передатчика. Региональные эфирные программы "Радио России" выходят в эфир по будням с 07.10 до 08.00, с 11.10 до 12.00 и с 16.45 до 17.00; в субботу — с 08.10 до 09.00; в воскресенье — с 11.10 до 12.00 (время везде указано местное) (источник — URL: <https://sakhalin.rtrs.ru/tv/analog/rtrs-polnostyu-perevelshchiane-radio-rossii-na-sakhaline-i-kurilskikh-ostrovakh-v-fm-diapazon/> (25.02.20)).

СМОЛЕНСКАЯ ОБЛ. С 1 февраля любимые песни "Радио Шансон" в г. Смоленске можно услышать, настроив радиоприёмники на частоту 91,3 МГц (источник — URL: <https://radioshanson.ru/news/radioshanson-teper-zvuchit-v-smolensk> (25.02.20)).

ТАМБОВСКАЯ ОБЛ. В г. Тамбове с 14 февраля началось вещание радиостанции "Радио Книга" на частоте 107,9 МГц, мощность передатчика — 1 кВт (источник — URL: https://vk.com/fmv687?w=wall-109367953_2415 (25.02.20)).

ТУМЕНСКАЯ ОБЛ. Радиостанция "Радио Monte Carlo" начинает вещание в г. Тюмени на частоте 90,4 МГц с 4 февраля. Станция — один из лидеров формата современной музыки. В эфире представлена музыка мирового класса: классика, джаз, поп- и рок-музыка, инструментальные и классические ком-

позиции, а также проверенные хиты разных времён и самые лучшие новинки (источник — URL: <http://fm72.ru/novosti/1073> (25.02.20)).

ЧЕЛЯБИНСКАЯ ОБЛ. Сразу в четырёх городах Челябинской области 14 февраля начало вещать "Радио России". В курсе местных новостей — почти 180 тыс. человек. Это — жителя Аши (частота вещания — 102,8 МГц, мощность передатчика — 30 Вт), Верхнего Уфалея (частота вещания — 103,6 МГц, мощность передатчика — 30 Вт), Сатки (частота вещания — 100,4 МГц, мощность передатчика — 30 Вт) и Новобуриню (частота вещания — 100,2 МГц, мощность передатчика — 100 Вт). И это только начало. Через месяц "Радио России" запустят ещё в четырёх сёлах и городах. А в конце года ещё в двенадцати. При этом вещание радиопрограммы "Радио России" на частоте 70,82 МГц в Новобуриню прекращено (источник — URL: <https://www.chelvt.ru/est-kontakt-radio-rossii/> и <https://chelyabinsk.rtrs.ru/tv/analog/rtrs-nachal-translyatsiyu-radio-rossii-v-ashe-satke-verkhnem-ufalee-i-novoburine/> (25.02.20)).

ЧЕЧНЯ. В феврале радиостанция "Аворадио" зазвучала в г. Грозном. В столице Чеченской Республики, где сегодня проживает свыше 300 тыс. человек, радиостанция вещает на частоте 91,7 МГц (источник — URL: <http://www.gpmradio.ru/news-page/uid/18223> (25.02.20)).

ЯМАЛО-НЕНЁЦКИЙ АО. В г. Новом Уренгое с 23 февраля началось вещание радиостанции "Искатель" на частоте 105,2 МГц (источник — URL: https://vk.com/25kad_reklama?w=wall-157566005_775 (25.02.20)).

ЗАРУБЕЖНОЕ ВЕЩАНИЕ

КАЗАХСТАН. К сети вещания радиостанции "Love Radio" присоединился г. Костанай, частота вещания — 101,9 МГц (источник — URL: <http://www.krutoymedia.ru/news/7098.htm> (25.02.20)).

ЕСТОНИЯ. Ранее мы уже сообщали о трудной ситуации, в которой оказалась радиостанция "Радио Эли" (религиозная, основной партнёр — "ТрансМировое радио"). Партнёр принял решение прекратить свои трансляции на средних волнах с 1 января, а его плата составляла весомую часть бюджета.

Вещание "Радио Эли" было сокращено до минимума, и даже существовала угроза его полного прекращения.

Появившееся объявление радует тем, что "... На сегодняшний день нам удалось зарегистрировать самостоятельную организацию "Радио Эли". Видимо, на девятнадцатом году служения нам приходится становиться совершеннолетними и начинать самостоятельную жизнь. Уничи вести документацию, искать партнёров по служению, вести переговоры, контактировать с жертвователями...". Станция увеличивает часы присутствия в эфире, частота вещания — 1035 кГц (источник — URL: <http://radioeli.ru/?p=3465> (25.02.20)).

Хорошего приёма и 73!

Объёмный звук — следующий шаг

А. КИРЕЕВ, ст. Лысогогорская Ставропольского края

Автор статьи делится своим решением по реализации объёмного многоканального звука. Мнение редакции не во всём совпадает с мнением автора, тем не менее мы публикуем эту интересную статью в авторском варианте.

Свою статью я хотел бы посвятить Юрию Александровичу Вознесенскому и Геннадрию Кузьмичу Клименко — авторам книги "Квадрафора", вышедшей в свет в 1979 г. [1].



В начале 90-х мне, ещё юнцу в области электроники и звука, попала в руки эта книжка и зародила юношеские идеи, которые на долгие годы я был вынужден отложить пылиться на полку до поры до времени. В те далекие годы я понимал, что реализация подобных идей мне не по силам и тем более не по карману. Проходили годы, менялась и развивалась технология, а юношеская мечта всегда оставалась мечтой, хотя и давно заброшенной на пыльную полку. Теперь, четверть века спустя, я решил возродить некогда заброшенную юношескую идею, сделать из своей "сказки" нечто осязаемое. Ибо теперь я могу реализовать то, что тогда было мне не под силу и не по карману.

Объёмный звук и его развитие

Со времён изобретения фоноавтографа Эдуаром Леоном Скоттом де Мартенвилем в 1857 г. многие годы (до 1930-х годов) цивилизация наслаждалась монофоническими записями на грампластинках, пока в Филадельфийской Академии музыки не появилась на свет первая стереофоническая запись на восковом диске. Теперь мы не просто слышим музыку, но и ощущали эффект присутствия. Шли годы, и стерео перешло с грампластинок на магнитные ленты, а с появлением цифровых технологий стерео успешно перешло на CD. Последний известный многим прорыв в области звукопроизводства произошёл с появлением на свет DVD и домашних кинотеатров, мы перешли от монофонии и стерео к объёмному звуку (рис. 1). За многие годы звукопроизводство пошло в сторону увеличения каналов, разделяя звук на НЧ, СЧ, ВЧ и создания многополосных акустических систем, а также создания сабвуферов как отдельного класса, и привычное 2.0 превратилось в 2.1. А с появлением DVD потребовалось очевидное увеличение каналов звукопроизведения, и появились 5.1, которое развилось в 7.1 и дальше в 10.2, 16.2, 22.2 [2]. Так куда мы идём? Куда развиваемся? Что будет дальше — 30.6, 100.10, 1000.500, XXXX.XXX?



Рис. 1

Давайте остановимся и подумаем

Многие теоретики и практики связывают восприятие звука человеком с теорией, описываемой "бинауральным эффектом", по аналогии с биноклярным зрением, так как у нас два глаза и два уха [3, 4]. На этой теории основаны все разработки, известные как Dolby Stereo, Dolby Digital, Dolby Surround, Dolby Pro Logic, Dolby TrueHD и т. д., а также разработки других не менее именитых компаний [5]. Но есть один парадокс, о котором никто из сторонников бинауральной теории не задумывается, он — из области геометрии. Как на основании двух точек создать в пространстве объёмную фигуру?

Это невозможно. На основании двух точек вы сможете создать только отрезок или линию, но никак не сможете создать ни плоскость, ни тем более объёмную фигуру. На основании трёх и более точек вы можете создать простейшую фигуру и плоскость, а простейшую объёмную фигуру можно создать только на основании минимум четырёх и более точек. Это неоспоримо, как $2 \times 2 = 4$.

Именно поэтому автор в корне не согласен с бинауральной теорией, так как она не способна посредством двух точек восприятия объяснить то, что реально слышит и воспринимает человек. Я не медик и не физиолог и не могу объяснить, как на самом деле работает наше восприятие звуков. И даже те, кто

считает, что они знают всё об этом, ошибаясь.

Постараюсь объяснить свою точку зрения primitивно — “на пальцах”, посредством эксперимента над самими

системами объёмного звучания — это плоскости, и все звуковые эффекты здесь возможны только в пределах плоскости, сколько бы каналов воспроизведения мы не добавляли. Всё, что

вы считали объёмным звуком, — это обман, спецэффект и не более того. А чтобы создать реальную объёмную систему звуковоспроизведения, мы должны выйти за пределы плоскости к



Рис. 2

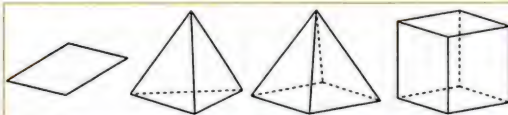


Рис. 3

собой, который может повторить любой желающий. Для этого нам понадобится любое место, наполненное различными звуками — в городе или на природе, промзоне или офисе — совершенно безразлично. А теперь предлагаю просто расслабиться, закрыть глаза и просто слушать, оставаясь неподвижно. Несколько минут послушать всё и вся, что происходит вокруг, все шумы и звуки. Попробуйте, ничего не делая, послушать все окружающие звуки и определить, откуда они исходят. Не открывая глаз, повернитесь в одну сторону, потом в другую, пошаркайте ногами. Не меняя положения головы, поднимите руки, пощёлкайте пальцами на разных уровнях и перед собой. Попытайтесь мысленно определить, откуда какой звук исходит. Не получилось с первого раза, попробуйте еще раз.

Любой человек, не страдающий серьезными проблемами со слухом, способен определять в трёхмерном пространстве источники звука и их положение в этом самом трёхмерном пространстве. Любой человек может определять направление источника звука не только слева или справа, но и спереди или сзади, сверху или снизу. Такими нас сделала природа, наше восприятие звуков превосходно работает в трёхмерном пространстве, и бинауральная теория не в состоянии этого объяснить посредством двух точек и фазовых смещений. Мы воспринимаем звуки более чем двумя точками, иначе мы не могли бы определять направление звука в трёхмерном пространстве.

А теперь посмотрите на знакомые нам системы звуковоспроизведения (рис. 2). Все эти системы не являются

реально объёмному пространству (рис. 3).

И здесь мы видим, что для создания простейшей объёмной фигуры тетраэдра нам нужно минимум четыре вершины, для пирамиды — пять, для куба — восемь. То есть, для того, чтобы создать минимальную систему объёмного звуковоспроизведения, нам

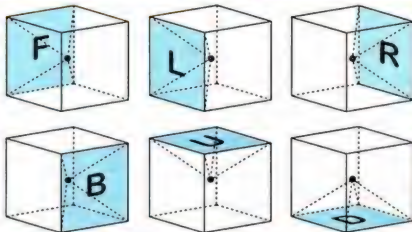


Рис. 4



Рис. 5

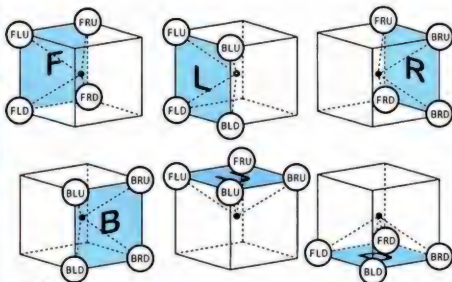


Рис. 6

Channel index			Channel name	Предлагаемая схема
MP3/WAV/FLAC	DTS/AAC	Vorbis/Opus		
0	1	0	Front Left	1-Front Left Down (FLD)
1	2	2	Front Right	2-Front Right Down (FRD)
2	0	1	Center	3-Front Left Up (FLU)
3	5	7	Subwoofer Frequency	4-Front Right Up (FRU)
4	3	3	Rear Left	5-Back Left Down (BLD)
5	4	4	Rear Right	6-Back Right Down (BRD)
6	6	5	Alternative Rear Left	7-Back Left Up (BLU)
7	7	6	Alternative Rear Right	8-Back Right Up (BRU)

нужна минимум четырёхканальная система записи и воспроизведения, а самым правильным решением будет куб либо параллелепипед с восемью вершинами, так как именно такая фигура идеально вписывается в пространство комнат и помещений. Значит, для получения реального 3D-звука нам нужны восьмиканальная система записи и воспроизведения и восемь акустических систем, расположенных по углам помещения (рис. 4). В начале 90-е реализация такой системы для меня была полноразмерной недостижимой. Тогда не было в доступности многоканальных систем, за исключением студийных многодорожечных, о которых простой сельский парень не мог даже и мечтать. Именно поэтому свою идею объёмной звукозаписи я вынужден был положить пылиться на полку.

Возрождение из пыли

Спустя годы, когда у многих уже есть компьютеры, домашние кинотеатры с системой 5.1, все считают это "крутым" объёмным звуком, а у меня всё это вызывает ухмылку. Все последние годы смотрю и удивляюсь — прошло столько лет, а никто так и не пришёл к этому простому геометрическому решению. Тогда, четверть века назад, у меня были достаточно веские причины положить

свою идею пылиться на полку. Теперь, во времена компьютерного бума, я нашёл возможность довести свою идею до конца.

Первое, с чем столкнулся, — это то, что до сих пор все фонограммы пишутся на студиях в обычном стереорежиме, а всё остальное — только спецэффекты и не более того. Значит, для этого мне нужно самому записывать свои многоканальные фонограммы. Но оказалось, что все звуковые карты 5.1 и 7.1, хоть и могут воспроизводить многоканальный звук, записывать могут только обычное стерео, а производить звукозапись с несколькими звуковыми карт проблематично. Пришлось искать нужное в среде профессионального многоканального звукозаписывающего оборудования. Многие годы такое оборудование было и остаётся не по карману любитель-экспериментатору, но времена меняются, и появляется то, что уже по карману. Alesis io26 и MOTU UltraLite, показанные на рис. 5, — доступные решения для многоканальной записи, о которых когда-то можно было только мечтать.

Как реализовать

Теперь можно реально записать и воспроизвести и восемь каналов звука, но остаётся вопрос: как это сделать? К тому же это надо сделать с некоторой совместимостью с уже существующими форматами и стандартами записи и воспроизведения. Наиболее подходящий для этих целей формат ANSI/CEA-863-A, который позволит использовать для воспроизведения уже распространённые звуковые карты формата 7.1 (см. таблицу). Стандартные восемь каналов разделены на группы

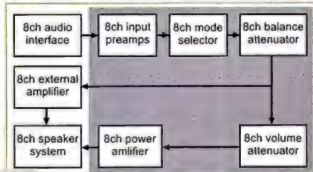
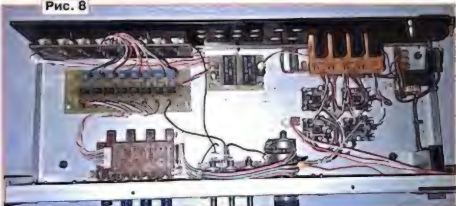


Рис. 7

Рис. 8



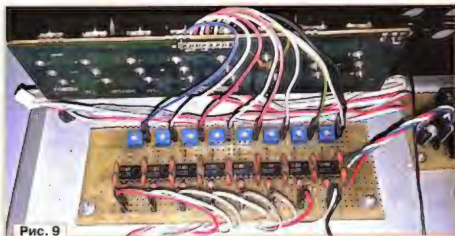


Рис. 9

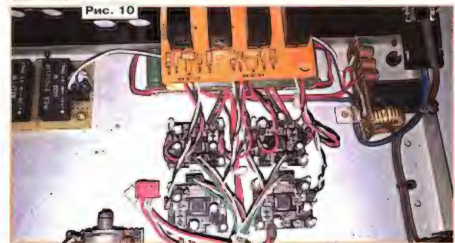


Рис. 10

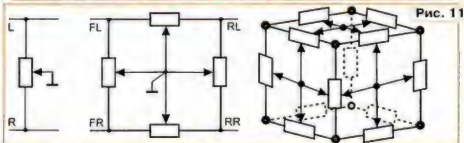


Рис. 11

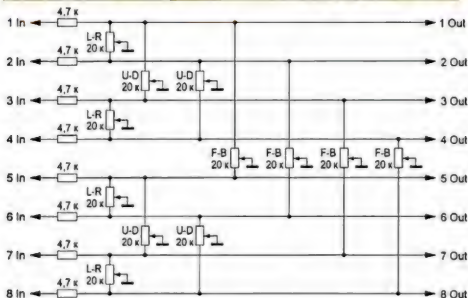


Рис. 12

Front/Back, Left/Right и Up/Down, каждый из восьми каналов имеет трёхзначное обозначение, и эти каналы уже формируют нужные нам плоскости в пространстве (рис. 6). Эта модель, в отличие от всем известных, не плоская, а уже объёмная и трёхмерная. Она и будет основой нашей системы. Остаётся только обзавестись восемью широкополосными акустическими системами, а также собрать восьмиканальную систему записи и восьмиканальную систему воспроизведения.

Система воспроизведения

Система воспроизведения построена по схеме, схожей с обычными аудиореверсивами, и расширена до восьми каналов. Её блок-схема приведена на рис. 7. Экспериментальный образец собран в корпусе от микшера Fostex 2016, его внешний вид показан на рис. 8. Входной каскад собран на ОУ KP140YD708 (рис. 9). Выходной каскад собран на бюджетных УМ РМ8610 класса D. 5...10 Вт мощности было достаточно для экспериментов. Внешний вид УМ показан на рис. 10. Справа виден входной фильтр питания. Слева — DC-DC преобразователь с гальванической развязкой для питания усилителей.

3D-регулятор баланса

Типичную схему регулировки баланса между каналами пришлось также модернизировать. За основу берётся четырёхканальная модель, широко используемая в автозвуке, и преобразуется в трёхмерную, где средние точки всех плоскостей сходятся на один общий провод. Она приведена на рис. 11. Её собирают по схеме на рис. 12. Конструктивное решение в виде отдельного модуля показано на рис. 13. Для того чтобы его собрать, пришлось обзавестись токарным станком и выточить некоторые детали самому.

Блок коммутации

Схема блока приведена на рис. 14. Изначально он задумывался для унификации с обычными системами и возможности воспроизведения обычных форматов 2.0 и 5.1 в пределах моей трёхмерной восьмиканальной модели. Как видно из схемы, блок имеет четыре режима коммутации каналов:

- 2.0 — для совместимости со стереозаписями, где не используются задний план;
- 2.0 Extra — расширенное стерео с использованием заднего плана;
- 5.1 — трансформация звука 5.1 в восьмиканальный (заложено на будущее);
- 8.0 — непосредственно режим с восемью независимыми каналами.

В режиме "2.0" используются фронтальные две левые и две правые АС, что полностью повторяет обычный стереоэффект на четырёх фронтальных АС. В режиме "2.0 Extra", помимо фронтальных, задействованы тыловые АС, четыре левые и четыре пра-

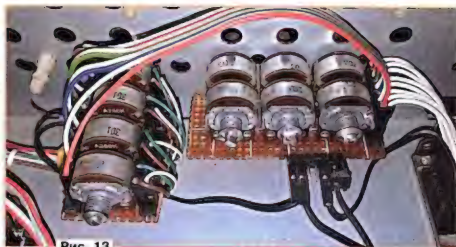


Рис. 13

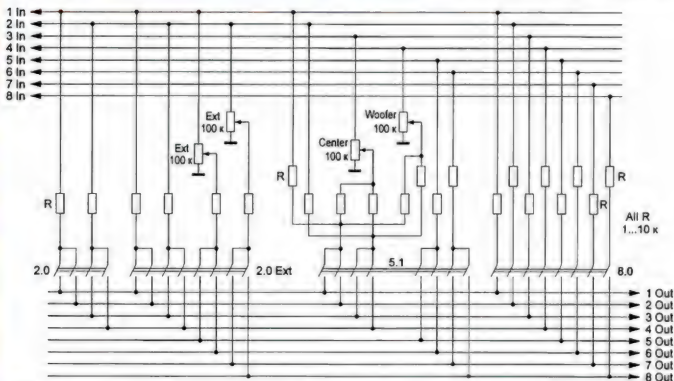


Рис. 14

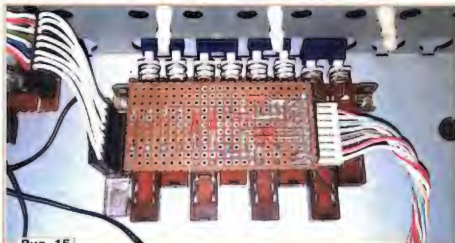


Рис. 15

вые, что позволяет получить восприятие стерео, схожее с головными телефонами. В режиме "5.1" фронтальные и тыловые каналы коммутируются на аналогичные пары, а центр и вуфер распределяются между фронтальными АС. Ну, а в режиме "8.0" мы получаем все каналы независимыми друг от друга. Этот модуль показан на рис. 15, со временем к нему будут добавлены "обвязка" для совместности с другими форматами и выход на внешний усилитель.

Система записи

Теперь остаётся записать живой звук в нужном нам формате, для того чтобы всё это ожило и дало ожидаемый эффект. В основе мобильной системы записи применён MOTU UltraLite mk2, в

стационаре — Terratek EWS88MT. В качестве ПО — бесплатный Audacity. Первая модель 3D-микрофона, фото которого приведено на рис. 16, к моему сожалению, дала результат далёкий от ожидаемого.

Одно дело собрать восемь микрофонов в некую конструкцию, совсем другое — изолировать микрофоны друг от друга, заставить каждый из микрофонов слышать только свою зону и не слышать ничего другого. Иначе для получения нужного эффекта при воспроизведении записанный звук придётся подвергнуть цифровой обработке, а это добавит ещё дополнительные проблемы с разработкой своего собственного софта.

И вот тут прогресс затягивается, готовых фонограмм в подобном формате в мире пока не существует, запи-



Рис. 16

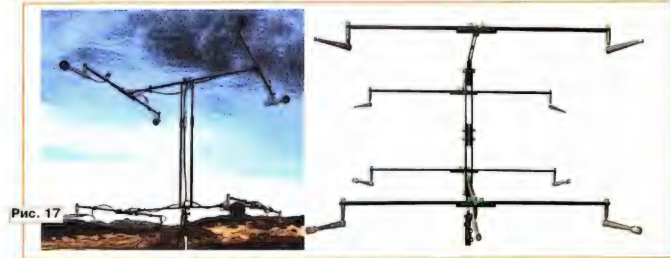


Рис. 17

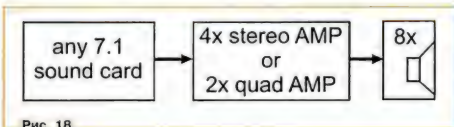


Рис. 18

сать подобную фонограмму с достаточным качеством тоже проблематично, остается и дальше заниматься изысканиями.

В заключение

Пока я делал свой блок воспроизведения, в Германии компания Microtech Gefell уже сделала систему 3D-записи M Cube, показанную на рис. 16. Желание собрать подобную систему могут использовать более простую схему без блока коммутации режимов и регулятора баланса каналов, приведенную на рис. 18. Для этого понадобятся любая звуковая карта как минимум с восемью аналоговыми выходами, а это все карты с поддержкой 7.1 как внешние, так и интегрированные. Четыре обычных стереоусилителя или два автомобильных

четырёхканальных, а также восемь одинаковых широкополосных акустических систем или четыре пары обычной стереоакустики. Сателлиты от систем 5.1 и 7.1 использовать можно, но у них отсутствуют низкие частоты. Ресиверы 5.1 и 7.1 тоже не подойдут, так как у них не все каналы имеют одинаковую АЧХ и встроенные DTS-процессоры будут только мешать. К звуковым картам особых требований нет, почти все карты, даже на низкочастотный выход для сабвуфера, выдают полный частотный диапазон (проверял лично), но вполне возможно, что для некоторых "продвинутых" карт придется принудительно отключать все программные фильтры и DTS-обработчики, чтобы они не мешали.

Для проверки системы могу предложить свои тестовые семплы в WAV-фор-

мате, которые без проблем воспроизводятся как Media Player Classic, так и всем известным Windows Media Player (WAV семплы).

Не считаю себя специалистом по звукозаписи и созданию спецэффектов и привношу любую помощь в создании фонограммы в таком многоканальном формате. А для тех, кто откажется заниматься самостоятельно созданием фонограммы в таком формате, могу дать некоторые рекомендации по настройке системы.

Для включения многоканального режима в Audacity, в настройках, помимо выбора "Устройства WASAPI", надо в параметрах "Импорт/Экспорт" опцию "Микс в стерео или моно" переключить в "Выполнить заданное микширование", после чего Audacity позволит сохранять многоканальные семплы, а не

только стерео. Моя MOTU UltraLite по умолчанию в Windows создаёт четыре стереоустройства, чтобы её заставить работать в режиме 7.1 в утилите MOTU Audio Console выбираю Phone Assignment как "Phone 1-2", а Main Out Volume как "7.1 Analog 1-8", после чего четыре стереоустройства исчезают, и появляется одна восьмиканальная MOTU Analog.

ЛИТЕРАТУРА

1. Вознесенский Ю. А., Клименко Г. К. Квадрафония. — М.: Энергия, 1979. — URL: www.radiolamps.ru/library/mrb/mrb-0986.html (10.03.20).
2. Surround sound. — URL: https://en.wikipedia.org/wiki/Surround_sound (10.03.20).
3. Sound localization. — URL: https://en.wikipedia.org/wiki/Sound_localization (10.03.20).
4. Термин-центр. Центр электроакустической музыки. — URL: asmir.info/lib/acoustics6.htm (10.03.20).
5. Dolby Laboratories. — URL: https://en.wikipedia.org/wiki/Dolby_Laboratories (10.03.20).
6. Highlight 2019 — M Cube — Microphone System for 3D recordings. — URL: <https://www.proaudio.de/en/news/recording/2236-7-microtech-gefell-news-3d-audio-en.html> (10.03.20).

Пробник для транзисторов

И. НЕЧАЕВ, г. Москва

Чтобы убедиться в исправности транзистора, зачастую бывает недостаточно проверить его p-n переходы с помощью мультиметра. Измерение коэффициента передачи тока базы с помощью мультиметра тоже не даёт однозначного ответа, исправен транзистор или нет. Поэтому радиолюбители часто используют для проверки транзисторов специализированные пробники. Наиболее просто сделать такое устройство на основе генератора.

диод HL1, который станет светить. Поскольку в приставке светодиод будет подключён к минусовой линии питания не напрямую, а через обмотку другого трансформатора T2, яркость его свечения будет немного меньше, чем без этого трансформатора. Таким образом, индикатором исправности транзистора VTx будет светящийся светодиод. При подключении транзистора структуры p-n-p получается аналогичный генератор.

Все элементы, кроме элемента питания, размещены на односторонней печатной плате из фольгированного стеклотекстолита толщиной 1 мм. Её чертёж показан на рис. 3. Применены резисторы МЛТ, С2-23 и другие общего применения. Конденсатор — К50-35 или импортный, его ёмкость не критична и может быть в интервале 10...100 мкФ. Светодиод желательно применить синего или белого свечения повышенной яркости, поэтому он не станет светить при напряжении 1,5 В и, кроме того, при таком напряжении прямой ток через него мал. Диаметр корпуса светодиода — 3...5 мм. Трансформаторы намотаны на кольцевых магнитопрово-

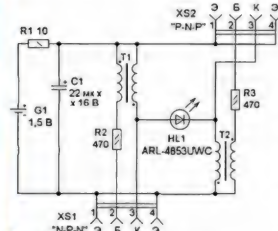


Рис. 1

Схема одного из вариантов пробника транзисторов показана на рис. 1. Пробник содержит источник питания — гальванический элемент типоразмера AAA, резистор R1, который ограничивает ток при возможном КЗ между элементами устройства, резисторы R2 и R3 — токоограничивающие в цепях баз проверяемых транзисторов. Трансформаторы T1 и T2 совместно с подключаемыми транзисторами образуют блокинг-генератор. Для упрощения конструкции и уменьшения её размеров в пробнике отсутствуют выключатель питания и переключатель структуры (p-n-p или n-p-n) транзисторов. Поэтому напряжение питания постоянно поступает на светодиод и конденсатор C1, однако ток утечки через них мал.

При подключении транзистора структуры p-n-p получается блокинг-генератор, схема которого показана на рис. 2 (нумерация элементов сохранена). Если транзистор VTx исправен и подключён правильно, генератор начинает работать и на коллекторе транзистора возникает импульсы повышенного напряжения, поступающие на свето-

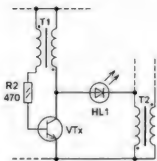


Рис. 2

дах диаметром 8 мм и высотой 3,2 мм от КЛЛ. Намотка каждого из них — 20 витков внаёз сложенным проводом диаметром 0,18...0,2 мм. После намотки выводы соединяют с соответствиями со схемой. На плате трансформаторы закреплены с помощью термоклея. Кстати, одиночные выводы трансформатора можно менять местами. Гнёзда XS1, XS2 — PBS-4 с прямыми вывода-

ми, их можно также отрезать от линейки разъёма серии PBS-40.

Плата размещена в пластмассовом корпусе подходящего размера, она приклеена к его верхней части. После высыхания клея в плате и корпусе сверлят отверстия для гнёзд XS1 и XS2. В эти отверстия со стороны корпуса вставляют гнёзда и припаивают их к плате. Чтобы это получилось, толщина корпуса должна быть не более 1...1,5 мм. Удобно применить корпус, в котором можно разместить элемент питания. Подходящим оказался корпус размерами 55х45х15 мм от батарейного отсека на три элемента AAA от неизвестного устройства. Для подключения гальванического элемента использованы контакты (один из которых с пружиной) от батарейного отсека малогабаритного светодиодного газонного светильника. Затем проводят монтаж элементов и проверяют работоспособность устройства. Внешний вид платы в корпусе показан на рис. 4.

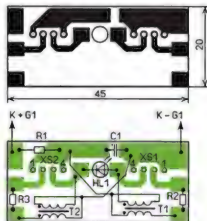


Рис. 3

На корпус размещают шильдики, указывающие как вставлять транзисторы в гнёзда. Шильдики можно распечатать на принтере и «заламинировать» клеевой лентой. Внешний вид собранного устройства показан на рис. 5.

Если при подключении и отключении транзистора светодиод кратковременно вспыхивает, это свидетельствует о броске тока через трансформатор. Этот эффект означает, что транзистор подключён неверно или он неисправен. Кстати, так можно проверить исправность диодов и назначение его выводов, подключая его к контактам «Э» и «К» любого из гнезд. Однако проверить диоды лучше традиционным способом с помощью мультиметра.

Следует отметить, что такой блокинг-генератор может работать и с некоторыми транзисторами, включёнными в инверсный режим, т. е. когда функцию эмиттера выполняет коллектор и наоборот. В таком включении коэффициент передачи тока базы близок к единице, но и этого оказывается достаточно. Например, генератор работал с транзисторами (в инверсном включении) KT361F, KT502B, KT342B,

КТ645А, КТ3102Б, МП42Б, ГТ310Б, РН2907, но яркость свечения светодиода была существенно меньше. Транзисторы КТ503Г, ГТ404А, МП25А,

ры проверять не рекомендуется. Дело в том, что может возникнуть самовозбуждение на высокой частоте, но светодиод при этом светить не будет.

ся мощных и высоковольтных транзисторов, из-за малого напряжения питания и больших токов утечки блокинг-генератор может также не заработать.

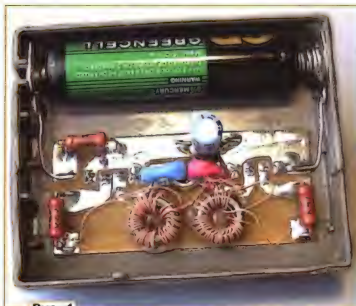


Рис. 4

РН2222 и некоторые другие работают в инверсном включении "отказались". Впрочем, это свойство могут иметь отдельные экземпляры. СВЧ-транзистор

можно проверять и транзисторы средней мощности (но не составные), однако не все из них могут работать в таком блокинг-генераторе. Что касает-



Рис. 5

Этим проб-

От редакции. Чертеж печатной платы в формате Sprint Layout имеется по адресу <http://ftp.radio.ru/pub/2020/04/test.zip> на нашем FTP-сервере.

Простой измеритель ЭПС конденсаторов

А. СТАРОВОРОВ, г. Вологда

Несмотря на спад горячих споров и обсуждений в Интернете, связанных со схемными решениями измерителей ЭПС (ESR) оксидных конденсаторов, эта тема по-прежнему интересует читателей и авторов нашего журнала. Автор публикуемой ниже статьи разработал свой вариант такого измерителя.

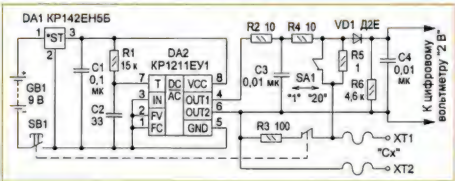
Существует огромное число различных вариантов измерителей эквивалентного последовательного сопротивления (ЭПС) конденсаторов. Автор предлагает ещё один, особенностью схемного решения которого являются малая погрешность и простота реализации. Кроме того, устройство может работать как приставкой к цифровому мультиметру, так и самостоятельным прибором. К недостатку данного измерителя следует отнести существенное потребление тока во время измерения.

Принципиальная схема измерителя представлена на рисунке. При нажатии на кнопку SB1 напряжение батареи GB1 9 В подается на вход стабилизатора DA1, собранного по типовой схеме включения на микросхеме KP142EH5Б. С его выхода стабильное напряжение питания, равное 6 В, поступает для питания измерителя. На элементах R1,

C2 и микросхеме DA2 (KP1211EY1) реализован генератор прямоугольных импульсов частотой около 100 кГц. Фильтр R2C3R4 обеспечивает приближение формы выходного сигнала к синусоиде. Дiode VD1 выпрямляет, а конденсатор C4 сглаживает пульсации напряжения на входе вольтметра для измерения ЭПС. Резистор R3 снимает остаточный заряд с исследуемого конденсатора Cx, перед измерением.

После подачи питания кнопкой SB1 на конденсаторе Cx возникает переменное напряжение частотой 100 кГц, которое соответствует значению ЭПС, однако зависимость имеет нелинейный характер и поэтому неудобна для измерений. Эта нелинейность напряжения достаточно точно компенсируется на участке 0...1 В соответствующей нелинейной характеристикой диода VD1, чем достигаются линейность и указанная погрешность измерений.

Основные технические характеристики	
Напряжение питания, В	7...15
Ток потребления, мА	150
Интервал измерений ЭПС,	
Ом	0...20
Погрешность измерений, %, не более:	
в интервале 0...10 Ом	2
в интервале 10...20 Ом	5



Устройство не критично к параметрам компонентов. Микросхема КР142ЕН5Б может быть заменена на любой интегральный стабилизатор, обеспечивающий напряжение 6 В при токе нагрузки 150 мА. Дiod VD1 — любой маломощный германиевый, например, серий Д2, Д9. Постоянные резисторы — МЛТ-0,125. Конденсаторы — керамические или пленочные. Особые требования предъявляются к резистору R5: он не может быть проволочным, его фактическое сопротивление должно быть как можно ближе к номинальному (желательно, с точностью до сотых долей ома). Измерительные провода должны быть как можно короче и снабжены зажимами типа «крокодил» (ХТ1, ХТ2).

К наладке устройства следует подойти тщательно, так как его основным образом определяет точность измерения. Для этого понадобятся образцовый резистор сопротивлением около 10 Ом, причём значение сопротивления желательно измерить с максимальной точностью (до сотых долей ома). На первом этапе параллельно резисторам R2 и R4 необходимо подключить подстроечные резисторы

сопротивлением 40...100 Ом, включённые реостатом. Положения их движков при наладке нужно менять одновременно. Вместо постоянного резистора R6 следует временно подключить подстроечный резистор сопротивлением 10 кОм.

Далее, подключив цифровой вольтметр (мультиметр) с пределом измерения 2 В и меняя положения движков подстроечных резисторов, необходимо добиться следующего.

Показание мультиметра при замкнутом коротко измерительных выводах и разомкнутом переключателе SA1 должны быть равными 0,1 В, а при включении в цепь измерения образцового резистора сопротивлением 10 Ом (о его точности подбора сказано выше) и замкнутом переключателе SA1 показания мультиметра должны быть равными 1 В. После достижения необходимого результата измеряют значения сопротивлений введённой части каждого подстроечного резистора, отбирают из имеющихся постоянные резисторы наиболее близкого сопротивления и устанавливают вместо подстроечных. Сопротивления резисторов R2 и R4 после наладки не должны значительно

отличаться. В случае использования устройства как приставки к цифровому мультиметру наладка на этом заканчивается.

Для измерений ЭПС в пределах от 1 до 20 Ом выключатель SA1 должен быть в замкнутом положении, а в пределах от 0 до 1 Ом — разомкнутом, при этом из показаний мультиметра необходимо вычесть 1 Ом.

Если планируется использование устройства как самостоятельного измерителя, последовательно с резистором R6 необходимо включить микроамперметр с током отклонения рамки 100...400 мкА, подобрав для него шунтирующий резистор соответствующего номинала таким образом, чтобы полное отклонение стрелки соответствовало значению ЭПС 20 Ом.

В случае, если устройство длительное время не использовалось, необходимо убедиться в правильности показаний, замкнув коротко измерительные провода, разомкнув переключатель SA1 и включив питание. Измерительный прибор в этом случае должен показывать 1 Ом. Как правило, отличие показаний связано с существенным разрядом батареи питания.

Устройство управления дежурным освещением

А. МЕЛЬНИКОВ, г. Барнаул

Уходя из дома, следует проверить, не остались ли включёнными какие-либо электроприборы. Оставленный без присмотра работающий электроприбор будет не только бесполезно расходовать электроэнергию, но может выйти из строя или даже стать причиной пожара. Всё сказанное выше относится не только к осветительным и электронегревательным приборам, но также и к большинству бытовой техники, блоки питания которой постоянно подключены к сети, обеспечивая работу этой техники в дежурном режиме. Конечно, собираться надолго уехать в отпуск или командировку, хороший хозяин проверит и перепроверит все электроприборы в доме, а также отключит воду и газ. Но иногда бывает так, что покидая квартиру или дом приходится в спешке, поэтому времени на то, чтобы проверить, отключены ли все электроприборы, просто нет. В этом случае очень удобен выключатель, с помощью которого можно обеспечить весь дом (или квартиру), оставив подключёнными к сети лишь те электроприборы, которые требуют постоянного наличия питающего напряжения.

Описаний подобных схем электрообеспечения довольно много в Интернете, например на YouTube-каналах, где электрики делятся опытом и предлага-

ют свои услуги по монтажу систем электрообеспечения. В принципе, создать такую систему можно в любой квартире или доме, достаточно от электрощита проложить отдельные линии к потребителям, питание которых не должно прерываться. К таким потребителям в квартире относятся холодильник, а в частном доме с автономным отоплением, ещё и газовый котёл, и подключит эти линии в щите надо через автоматические выключатели. Для удобства отключения остальных линий в общий фазный проводник, питающий их автоматические выключатели, необходимо установить дополнительный рубильник или автоматический выключатель, с помощью которого и обеспечивается отключение квартиры или дома (понятно, что линии к приборам, питание которых не должно прерываться, должны быть подключены до этого рубильника).

Схема электрообеспечения дачного дома автора, построенная по описанному выше принципу, приведена на рис. 1. Напряжение 230 В от воздушного ввода через автоматический выключатель QF1, служащий для отключения электропитания всего дома, поступает на электросчётчик P1 и далее на устройство защитного отключения (УЗО) QF2 и двухполюсный автоматический

выключатель QF3. Электросчётчик вместе с автоматическим выключателем QF1 находится в пластмассовом корпусе, установленном внутри дома и опломбированном энергопоставляющей организацией. При подключении электричества к новому дому энергопоставляющая организация требует установки электросчётчика на наружной стене дома или на опоре линии электропередачи, но дачный дом автора старой постройки, поэтому данное требование на него не распространяется.

От автоматического выключателя QF3 получают питание система охранной сигнализации и устройство [1], обеспечивающее подогрев в зимнее время щита, в котором установлены блоки охранной сигнализации. УЗО QF2 обеспечивает защиту от поражения электрическим током, а также отключает напряжение, если ток утечки в ней превысит 30 мА. Одновременно с этим УЗО обеспечивает автоматическое отключение при замыкании фазного или нулевого провода на землю, так как система электрообеспечения дома выполнена по системе ТТ (нулевой рабочий проводник отделен от защитного проводника РЕ и контура заземления). Применение системы ТТ было обусловлено плохим техническим состоянием питающей воздушной линии — значительный «перекос» фаз, ненадёжные контактные соединения линейных проводов, а также отсутствие повторного заземления нулевого провода на опорах линии приводило к появлению на нулевом проводнике по отношению к контуру заземления потенциала, достигавшего 40 В. В условиях дачного дома, а тем более при использовании электроприборов на улице такое напряжение является опасным для жизни [2]. Было очевидно, что значительно снизить напряжение на нулевом проводе

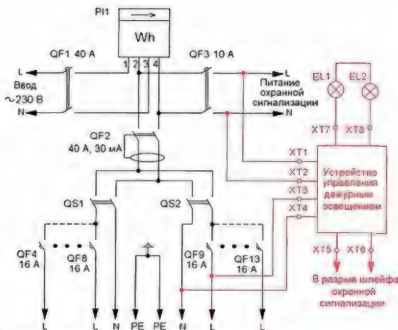


Рис. 1 Секция I (неотключаемая) Секция II (отключаемая)

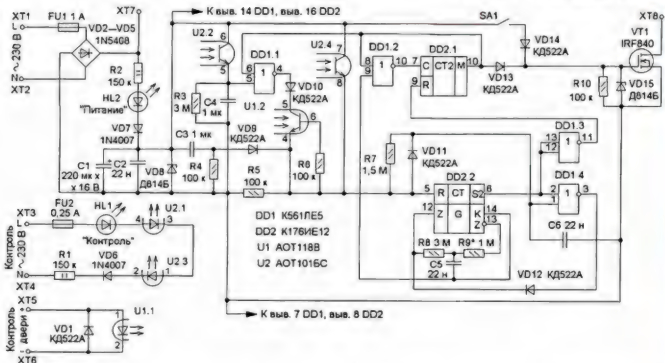


Рис. 2

при использовании только своего контура заземления невозможно, поэтому десять лет назад при реконструкции электропроводки дома автор принял решение отказаться от применения в качестве защиты зануления (система TN-C-S) и перейти на систему TT, использующую защитное заземление. Впоследствии в 2019 г. энергоснабжающая организация провела полную реконструкцию питающей линии, но систему TT решено было оставить как более надежную в данных условиях по сравнению с системой TN-C-S.

Распределительный щит дома разделен на две секции — I (неотключаемую) и II (отключаемую). От секции I через автоматические выключатели QF4—QF8 получают питание холодильники, блок контроля уровня воды в напорном баке, устройство управления освещением [3], а также система громкой связи и теплоселектовентиляторы, которые управляются с помощью устройства [4]. К секции II через автоматические выключатели QF9—QF13 подключены все остальные потребители электроэнергии, имеющиеся в доме, а

также бия и гараж. В качестве выключателей Q51 и Q52 использованы двухполюсные автоматические выключатели на ток 40 А, но можно использовать также выключатели нагрузки модульной конструкции (они внешне похожи на автоматические выключатели, но тепловых и электромагнитных расцепителей в них отсутствуют), а также пакетные выключатели. Использование двухполюсных выключателей позволяет быстро локализовать неисправность в случае срабатывания УЗО, так как срабатывание может быть вызвано замканием на землю как фазного, так и нулевого провода. Конечно, лучше использовать одно из УЗО, значением из которых отключает свою секцию (автор применил схему с одним УЗО исключительно из соображений экономии).

Предлагаемая система электро-снабжения получилась достаточно надёжной и удобной в эксплуатации, но имеет один недостаток. Он обусловлен тем, что электрощит расположен не возле входной двери, а в отдельной комнате, поэтому при отключении выключателя Q52 освещение в помещении гаснет, и к выходу приходится идти в темноте. Для устранения этого недо-

статка существуют два очевидных решения: перенести выключатель QS2 непосредственно к входной двери или попытаться освещение на пути следования от секции 1 цита через выключатель, расположенный рядом с дверью. Однако в первом случае к выключателю QS2 необходимо проложить провода довольно большого сечения, а во втором случае освещение можно просто забыть выключить.

На взгляд автора, наиболее логичным решением этой проблемы является использование устройства, которое

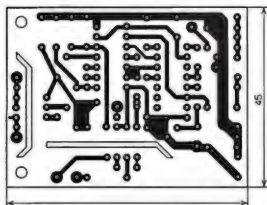


Рис. 3

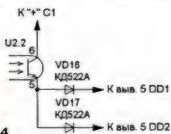


Рис. 4

при отключении выключателя QS2 включает в помещении дежурное освещение, а через некоторое время автоматически отключит его. Также устройство должно решать и обратную задачу — включать дежурное освещение при открывании входной двери и отключать его при включении выключателя QS2. Описания устройств, позволяющих автоматически включать освещение при открывании двери, в журнале "Радио" публиковались неоднократно, например в [5], но эти устройства не позволяют полноценно решить описанную выше задачу. К тому же автору не хотелось устанавливать на двери дополнительный геркон, а воспользоваться герконом, входящим в систему охранной сигнализации.

Для решения задачи было разработано устройство управления, схема подключения которого к электросети выделена на рис. 1 красным цветом. Устройство питается напряжением 230 В (клеммы XT1, XT2), а в качестве нагрузки к нему подключены последовательно соединённые осветительные лампы

EL1, EL2, одна из которых устанавливается над электрошлюзом, а другая — возле выхода из дома. Клеммы XT3, XT4 устройства подключены к отключаемой секции электрошлюза, а клеммы XT5, XT6 включены в разрыв шлейфа охранной сигнализации последовательно с герконом, размыкающим свои контакты при открывании двери. Работает устройство следующим образом. При входе в дом лампы EL1, EL2 включаются и светят до того момента, пока выключателем QS2 не будет подано напряжение на секцию II шлюза. Если выключатель QS2 не будет включён, то через шесть минут лампы выключатся. При отключении выключателя QS2 лампы также включаются и светят в течение шести минут вне зависимости от того, открыта дверь или нет, после чего автоматически отключаются. При срабатывании УЗО лампы также включаются на шесть минут, сигнализируя о срабатывании и одновременно подсвечивая помещение, что весьма полезно в тёмное время суток. Наконец, в случае замыкания в цепи, защищаемой автоматическим выключателем QF9, от которого получает питание освещение в доме, или отключения этого автоматического выключателя для проведения ремонтных работ лампы включатся, что позволит в случае местной аварии не остаться в полной темноте.

Схема устройства управления приведена на рис. 2. При подаче сетевого



Рис. 5

напряжения на зажимы XT1, XT2 на стабилизаторе V08 появляется постоянное напряжение около 9 В и конденсатор C3 начинает заряжаться через резисторы R4, R2. Во время зарядки этого конденсатора на выводе 5 микросхемы DD2 появляется высокий логический уровень, поэтому счётчик DD2.2 устанавливается в нулевое состояние и на его выводе 6 присутствует низкий логический уровень, а на выходе инвертора DD1.3 — высокий, поэтому счётчик DD2.1 также устанавливается в исходное состояние. Внутренний генератор микросхемы DD2 при этом работает, так как на выводе 1 элемента DD1.4 присутствует высокий логический уровень, а на выводе 3 — низкий.

Если напряжение в цепи контроля сети (клеммы XT3, XT4) отсутствует, а в цепи контроля двери (клеммы XT5, XT6) не протекает ток, то по истечении времени зарядки конденсатора C3 счётчик DD2.2 начинает работать и на выводе 6 счётчика появляется высокий логический уровень, который инвертируется элементом DD1.3 и разрешает работу счётчика DD2.1. На счётный вход этого счётчика через элемент DD1.2 поступа-

ют импульсы с вывода 14 микросхемы DD2, частота следования которых определяется сопротивлением резистора R9 и ёмкостью конденсатора C5. После поступления 39-го импульса на выходе счётчика DD2.1 (вывод 10) появится высокий логический уровень, а на выходе элемента DD1.2 — низкий логический уровень, и поступление импульсов генератора на вход счётчика прекратится. Одновременно с этим напряжение высокого логического уровня с выхода счётчика через диод VD13 поступит на затвор транзистора VT1 и откроет его, в результате чего включатся лампы EL1 и EL2.

После того как счётчик DD2.2 подсчитает 16384 импульса, на его выходе S2 (вывод 6) появится низкий логический уровень, что приведёт к появлению на выходе инвертора DD1.3 высокого логического уровня и установке счётчика DD2.1 в нулевое состояние, поэтому транзистор VT1 закроется и лампы EL1, EL2 погаснут. Так как на обоих входах элемента DD1.4 будет присутствовать низкий логический уровень, высокий уровень напряжения с его выхода через диод VD12 поступит на вывод 12 микросхемы DD2 и заблокирует работу тактового генератора. В таком состоянии устройство может оставаться неограниченное время.

Конденсатор C6, который быстро заряжается через диод VD11 и медленно разряжается через резистор R7, служит для предотвращения «зависания» счётчика DD2.2 в момент появления на его входе низкого логического уровня. Дело в том, что из-за различия в скорости действия микросхем и напряжений порога по окончании импульса сброса на обоих входах элемента DD1.4 может установиться низкий логический уровень, поэтому генератор счётчика DD2.2 будет заблокирован высоким логическим уровнем с выхода этого элемента и устройство «зависнет» в этом состоянии, не реагируя на какие-либо сигналы. Заряженный конденсатор C6 задерживает на выходе 1 элемента DD1.4 напряжение высокого логического уровня после окончания сигнала сброса. Этого времени достаточно для того, чтобы на выходе S2 счётчика DD2.2 появился высокий логический уровень.

Если дверь, ведущая в помещение, закрыта, то в цепи излучающего диода U1.1 оптопары U1 протекает ток и её фототранзистор U1.2 открыт, поэтому на выходе 5 микросхемы DD2 присутствует высокий логический уровень и счётчики микросхемы находятся в исходном состоянии. При открывании двери ток в цепи излучающего диода оптопары U1 прерывается и её фототранзистор закрывается, в результате чего после 39-го импульса тактового генератора лампы EL1, EL2 включаются и начнётся отсчёт временного интервала, в течение которого лампы будут включены (этот процесс был описан выше). При этом на выходе 6 элемента DD1.1 будет присутствовать высокий логический уровень, а на его выходе 4 — низкий, поэтому напряжение на коллекторе фототранзистора оптопары U1 будет отсутствовать и последующее закрывание двери не приведёт к отключению освещения.

При включении выключателя QS2 (см. рис. 1) на контакты XT3, XT4 устройства поступит напряжение 230 В, поэтому в цепи излучающих диодов оптопары U2 начнёт протекать ток, пульсирующий с частотой 50 Гц. Открывшийся фототранзистор оптопары U2.4 установит на входе R микросхемы DD2.2 высокий логический уровень, в результате чего лампы EL1, EL2 будут отключены, а открывшийся фототранзистор U2.2 зарядит конденсатор C4, поэтому на выходе элемента DD1.1 будет всё время присутствовать низкий логический уровень. Диод VD10 защищает фототранзистор оптопары U1 от обратного напряжения.

При отключении выключателя QS2 (см. рис. 1) фототранзисторы оптопары U2 закроются, но на время разрядки конденсатора C4 через резистор R3 на выходе элемента DD1.1 будет присутствовать низкий логический уровень, поэтому лампы EL1, EL2 включатся вне зависимости от того, открыта или закрыта в этот момент дверь. При включённых лампах на выходе элемента DD1.1 также будет присутствовать низкий логический уровень, поэтому устройство не будет реагировать на манипуляции с дверью до момента окончания времени выдержки таймера, а после фототранзистор оптопары U1 откроется и устройство вернётся в режим ожидания очередного открывания двери. В том случае, если после окончания выдержки таймера дверь будет оставаться открытой, освещение будет отсутствовать, а при закрывании двери устройство вернётся в исходное состояние.

Время, в течение которого устройство не реагирует на прерывание тока в цепи излучающего диода оптопары U1, а также время, на которое включаются осветительные лампы, зависит от частоты импульсов генератора микросхемы DD2.2. В авторском варианте эта частота — около 43 Гц, поэтому время отсутствия реакции — приблизительно 0,9 с, а продолжительность включения ламп — около 6 мин. Продолжительность отсутствия реакции определяет не только помехозащитность устройства, но и позволяет включать светоизлучающий диод оптопары U1 в цепь пульсирующего тока. Например, клеммы XT5, XT6 устройства включены в цепь охранной сигнализации последовательно с герконом, находящимся на двери и размыкающим свои контакты при её открывании. Ток в этой цепи охраны пульсирует с частотой 2 Гц, обеспечивая мигание сигнального светодиода, а при снятии с охраны пульсации тока прекращаются, поэтому светодиод светит непрерывно. Так как частота прерывания тока, при которой устройство ещё не сбавляет, является величиной, обратной периоду, то при длительности периода 0,9 с минимальная частота — 1 Гц, поэтому на частоте пульсаций 2 Гц устройство не сбавляет.

Микросхемы устройства получают питание от параметрического стабилизатора, образованного гасящим резистором R2 и стабилизатором VD8, а потребляемый от сети 230 В ток не превышает 1,4 мА. Конденсатор C1 сглажи-

вает пульсации питающего напряжения, конденсатор C2 — блокировочный в цепи питания микросхем. Светодиод HL2 сигнализирует о включении устройства в сеть, а диод VD7 защищает светодиод от обратного напряжения в моменты перехода сетевого напряжения через ноль. Излучающие диоды оптопары U2 питаются однопериодным сетевым напряжением, выпрямленным диодом VD6, а ток ограничивает резистор R1. Светодиод HL1 сигнализирует о наличии напряжения в контролируемой цепи, а диод VD1 защищает излучающий диод оптопары U1 при подаче на клеммы XT5, XT6 напряжения обратной полярности.

Осветительные лампы EL1, EL2 питаются выпрямленным напряжением с выхода диодного моста VD2—VD5. Автор использовал две последовательно соединённые лампы накаливания мощностью 150 Вт, при этом каждая из ламп потребляет приблизительно 40 Вт. Последовательное соединение ламп значительно продлевает срок их службы, а также защищает транзистор VT1 от броска тока. При этом значительное снижение светового потока каждой лампы не имеет здесь особого значения, так как освещение является дежурным. Но включать лампы последовательно вовсе не обязательно, совместно с устройством можно использовать любые осветительные лампы, как накаливания, так и светодиодные или КЛД. Однако есть и исключение — светодиодные лампы с источником питания, выполненным на основе балластного конденсатора, а также люминесцентные лампы с «классической» дроссельной системой включения совместно с этим устройством работать не будут, так как могут питаться только переменным током. Выключатель SA1 служит для принудительного включения осветительных ламп вне зависимости от состояния, в котором находится устройство, а стабилизатор VD15 защищает затвор полевого транзистора VT1.

Детали устройства, за исключением диодного моста VD2—VD5, резисторов R1, R2 и светодиодов, монтируют на печатной плате из одностороннего фольгированного стеклотекстолита толщиной 1,5...2 мм, чертеж которой приведён на рис. 3. Так как цепи, подключённые к клеммам XT3, XT4 и XT5, XT6, должны быть надёжно изолированы как друг от друга, так и от остальных элементов устройства, между выводами оптопары в плате сделаны прорезы шириной 1...2 мм, а плата после монтажа всех деталей покрыта двумя слоями лака XB-784. Перед монтажом микросхемы DD2 её вывод 1 необходимо отогнуть, так как отверстие в плате для него не предусмотрено. Конденсатор C1 смонтирован параллельно плате, а диоды VD9 и VD12 установлены над микросхемой DD2. Для облегчения подбора резистор R9 можно составить из двух соединённых последовательно, установив эти резисторы перпендикулярно плате. Вывод стока транзистора VT1 перед монтажом на плату следует удалить, а проводник, идущий к клемме XT8, подпаять непосредственно к фланцу транзистора. При мощности на-

группы до 200 В транзистор VT1 в тепловое не нуждается.

В устройстве можно применить резисторы любого типа, при этом во избежание электрического пробоя по поверхности мощность резисторов R1 и R2 должна быть не менее 1 Вт, а лучше 2 Вт. Оксидный конденсатор — K50-35 или импортный, остальные — керамические или пленочные, например КМ или К73. На место диодов VD2—VD5 можно применить любые диоды с обратным напряжением не менее 400 В и номинальным током, не меньшим, чем ток используемых осветительных ламп, или применить диодный мост с такими же параметрами. Диод VD6 — с обратным напряжением не менее 400 В, остальные диоды — любые маломощные выпрямительные или импульсные, например 1N4148. Стабилитрон VD8 — любой маломощный с напряжением стабилизации 8...10 В. Транзистор IRF840 можно заменить транзистором IRF740 или применить отечественные транзисторы серии КП707 с любым буквенным индексом.

Вместо микросхемы K561LE5 можно использовать микросхему K176LE5 или импортную CD4001. Оптопары АОТ101 и АОТ128 можно использовать с любым буквенным индексом или применить вместо них другие подходящие с изоляцией, рассчитанной на напряжение не менее 1000 В. При этом на месте оптопары U1 можно использовать оптопару без вывода базы фототранзистора (необходимость в резисторе R6 при этом отпадает), а двухканальный оптопару U2 заменить одноканальной, как показано на рис. 4, введя в схему два дополнительных диода VD16, VD17. Светодиоды HL1, HL2 — любого свечения, желательного свечения, выключатель SA1 — ПЗК с фиксацией или другой, изоляция которого рассчитана для работы при сетевом напряжении.

В авторском варианте элементы устройства установлены в пластмассовую распределительной коробке размерами 80×80×50 мм. Диоды VD2—VD5 и резисторы R1, R2 установлены на пластине из гетинкса толщиной 2 мм, на торцевой части которой также смонтированы светодиоды. Держатели предохранителей смонтированы на неболь-

шой пластине из стеклотекстолита, а для подключения внешних цепей применены винтовые клеммники, которые закреплены на стеклотекстолитной пластине. Вид на монтаж устройства приведен на рис. 5, а его внешний вид с закрытой крышкой — на рис. 6.

Надлаживание устройства сводится к подбору сопротивления резистора R9 и, при необходимости, конденсатора C5 до получения требуемой частоты импульсов тактового генератора. Час-



тоту, на которой работает тактовый генератор, можно определить по формуле $F=1/6384 \cdot T$, где T — время с момента снятия напряжения с клемм ХТ3, ХТ4 до момента погасания ламп, сек. Зная частоту генератора, нетрудно определить задержку включения устройства в секундах: $T_s = 39/F$. В том случае, если после включения устройства в сеть при отключенных от клемм ХТ3—ХТ6 внешних цепях лампы EL1, EL2 не включаются, следует измерить напряжение на выходе 3 элемента DD1.4. Если на этом выходе присутствует высокий логический уровень, это означает, что устройство "зависло". В этом случае следует увеличить емкость конденсатора C6 и, при необходимости, также увеличить емкость конденсатора C3.

Клеммы ХТ5 и ХТ6 устройства включаются с соблюдением полярности в цепь охранной сигнализации последователь-

но с герконом, контакты которого размыкаются при открывании двери. В случае, если выполнить такое подключение проблематично или охранная сигнализация на объекте отсутствует, на двери устанавливают отдельный геркон или микропереключатель, контакты которого замыкаются при закрытии двери, и подключают клеммы ХТ5, ХТ6 устройства последовательно с контактами геркона и токоограничительным резистором к источнику постоянного тока, который

должен быть всё время подключен к сети. Но можно обойтись и без дополнительного источника питания, если контакты геркона или микропереключателя включить вместо фототранзистора оптопары U1, удалив из схемы саму оптопару и резистор R6. Для повышения помехозащищенности устройства при такой доработке между выводом 5 микросхемы DD2 и минусом источника питания необходимо включить конденсатор ёмкостью 22 нФ, а для соединения геркона с платой устройства использовать витую пару или экранированный кабель (экран кабеля соединяют с минусом питания). Однако при таком подключении следует помнить, что контакты геркона и соединительный провод в этом случае окажутся гальванически связанными с сетью, поэтому изоляция провода и геркона должна быть рассчитана на работу при сетевом напряжении.

ЛИТЕРАТУРА

1. Мельников А. Термостабилизатор с автоматическим резервированием нагревателей. — Радио, 2018, № 12, с. 36—39.
2. Манолюв В. Е. Основы электробезопасности. Изд. 4-е, перераб. и доп. — Л.: Энергоатомиздат Ленингр. отд-ние, 1985.
3. Мельников А. Устройство управления освещением. — Радио, 2019, № 3, с. 33—37.
4. Мельников А. Устройство дистанционного управления с кодовым доступом. — Радио, 2019, № 7, с. 37—44.
5. Степанов К. Автоматический выключатель света в прихожей. — Радио, 2017, № 1, с. 42.

От редакции. Чертеж печатной платы в формате Sprint Layout размещён по адресу <http://ftp.radio.ru/pub/2020/04/svet.zip> на нашем сервере.

Доработка сигнализатора экстренного торможения

Д. ПАНКРАТЬЕВ, г. Ташкент, Узбекистан

Автор дополнил описанный в [1] сигнализатор датчиком температуры и относительной влажности воздуха и доработал программу его микроконтроллера, предусмотрев в нём коррекцию порога включения сигнализации об экстренном торможении в зависимости от показаний этого датчика.

Принцип коррекции состоит в том, что при положительной температуре воздуха и увеличении его относитель-

ной влажности в интервале 0...100 % порог срабатывания сигнализатора линейно уменьшается. Большой влажно-

сти соответствует меньший порог замедления. При температуре ниже нуля воздух может быть сравнительно сухим даже при атмосферных осадках (снегопаде). Кроме того, есть опасность обледенения дорожного покрытия. В этих условиях влажность воздуха не может служить критерием изменения порога, поэтому коэффициент сцепления с дорогой однозначно принимается равным минимальному значению.

Влажность более 90 % с большой вероятностью свидетельствует о наличии осадков в виде дождя, а около 100 % — тумана. Различать вид осадков нет необходимости, поскольку положительный эффект понижения порога срабатывания сигнализатора в обоих случаях очевиден.

При гололёде зачастую оказываются бесполезными не только системы предупреждения, но и системы управления замедлением. Гарантирующих полную безопасность технических решений здесь пока нет. Да и нужных для экстренного торможения значений замедления в условиях гололёда при торможении двигателем невозможно достичь физически. Автомобиль в этом случае представляет опасность в гораздо большей степени для находящихся впереди, а не позади него автомобилей.

Поэтому назначение предлагаемой системы — именно в сигнализации лампами стоп-сигналов и указателей поворота об экстренном торможении при движении по сухому или влажному асфальтобетонному покрытию. Она не управляет тормозами, но и не ухудшает параметров штатной системы световой сигнализации при любом сочетании погодных условий.

Для учёта фактических значений температуры и относительной влажности воздуха в сигнализатор, описан-

Существуют два варианта исполнения модуля BME280-3.3V — с шестью и с четырьмя выводами. Автор использовал шестивыводный вариант. При свободных выводах CSB и SDO он работает с интерфейсом I²C и имеет адрес 0x76. Подача на эти выводы напряжения соответствующих логических уровней [2], можно изменить адрес на 0x77 или перевести интерфейс датчика в режим SPI.

Четырёхвыводный вариант модуля не имеет выводов CSB и SDO. Он эквивалентен шестивыводному, если у последнего эти выводы никуда не подключены. Нужно сказать, что существуют подобные модули и других типов, часто выпускаемых под теми же или похожими названиями. Иногда вывод SDI бывает обозначен SDA, а вывод SCK — SCL. Есть модули и с напряжением питания 5 В. На их платах можно найти интегральный стабилизатор напряжения.

Скетч доработанной программы микроконтроллера модуля Arduino Nano приложен к статье вместе с библиотека-

и инициализирует датчик BME280 на шине I²C по адресу 0x76

```
bme.begin(0x76)
```

Если между выводами SDO и VCC датчика установлен резистор сопротивлением 1...4,7 кОм, адрес 076х здесь нужно заменить на 0x77.

Измерение влажности и температуры производится с периодом T_MES. Для этого в основном цикле введена новая секция. Считывание измеренных датчиком значений относительной влажности и температуры выполняют операторы

```
rh = bme.readHumidity();  
T = bme.readTemperature();
```

При положительной температуре воздуха с увеличением влажности в интервале 0...100 % порог линейно уменьшается от ay0 до ay1 — чем больше влажность, тем меньше порог замедления. При температуре воздуха ниже 0 °C, когда существует возможность обледенения дорожного покрытия, порог однозначно принимается равным ay1. Этот алгоритм реализуют следующие строки программы:

```
if (T<0) ay_max = round((ay1-ay0)  
    *rh/100.0 + ay0);  
else  
    ay_max = ay1; //при T<0 °C
```

Служебная информация, выводимая в последовательный порт, дополнена значениями переменных ay0, ay1, rh, T и ay_max. Других изменений в программе нет. Дополнительного налаживания, связанного с проведённой доработкой, сигнализатор не требует.

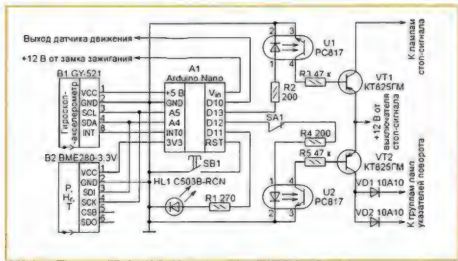
Модуль BME280-3.3V нужно поместить в пластмассовый корпус подходящего размера. Капса защиты не ниже IP54, в котором предварительно просверлить отверстие диаметром 1...3 мм для прохода воздуха к датчику. При диаметре более 1 мм отверстие целесообразно закрыть одним или двумя слоями пластмассовой сетки с ячейками не более 0,5х0,5 мм. Это необходимо для защиты микросхемы датчика от прямого попадания брызг и пыли.

Отдельный вопрос — место размещения датчика на автомобиле. Здесь главное требование — отсутствие потоков нагретого воздуха. Есть три основных подходящих места:

- за передним бампером со стороны водителя;
- снизу или сбоку радиатора охлаждения;
- в боксвом зеркале заднего вида.

Первые два варианта нежелательны по причине высокого риска загрязнения и довольно большого расстояния от датчика до собственно сигнализатора. Последнее в условиях повышенных электромагнитных помех может привести к сбоям в передаче данных по интерфейсу I²C. Кроме того, размещение датчика вблизи радиатора искажает результаты измерения при частых в городских условиях остановках автомобиля. Оптимальным автор считает размещение датчика в корпусе внешнего зеркала заднего вида.

Однако на автомобиле BA3-2109 оказалось возможным и менее трудо-



ный в [1], дополнительно введён датчик температуры и влажности BME280, по показаниям которого и корректируется порог замедления. Модуль Arduino Nano прибора связан с этим датчиком по тому же интерфейсу I²C, что и с датчиком ускорения. Технические данные датчика BME280 можно найти в [2]. Кроме указанных выше параметров, он способен измерять также атмосферное давление. Но в рассматриваемом случае эта возможность не использована. По сравнению с подобными датчиками других типов, особенно с распространённым DHT22, датчик BME280 обладает лучшим соотношением цена/качество при явном превосходстве в точности и стабильности [3].

На рисунке изображена схема доработанного сигнализатора. Она отличается от опубликованной в [1] лишь наличием модуля датчика BME280-3.3V [4], представляющего собой печатную плату небольшого размера с установленными на ней микросхемой BME280 и несколькими другими деталями. Этот модуль запитан напряжением +3,3 В с вывода 3V3 модуля A1 Arduino Nano.

мие Adafruit Unified Sensor и Adafruit_BME280, необходимыми для его работы. В программу введены новые константы:

- a_GAIND 6,8 задаёт порог замедления 6,8 м/с² для сухого покрытия с коэффициентом сцепления 0,8;
- a_GAINT 4,3 задаёт порог замедления 4,3 м/с² для влажного покрытия с коэффициентом сцепления 0,5;
- T_MES 10000 задаёт период повторения измерений влажности и температуры. Оптимальный интервал его значений — 5000—60000 мс.

Значения первых двух констант могут быть заданы числами типа int или float, третий — только int.

В начале своей работы программа создаёт класс bme — экземпляр класса Adafruit_BME280. Измеренные значения влажности в процентах и температуры в градусах Цельсия она присваивает соответствующим переменным rh и T типа float.

В секции setup() программа рассчитывает «сырые» пороговые значения замедления

```
ay0 = round(16384*(float)a_GAIND/g);  
ay1 = round(16384*(float)a_GAINT/g);
```

ёмким поместить датчик рядом с блоком предохранителей в подкапотном пространстве. Этот отсек отделён от основного подкапотного пространства сплошной перегородкой с резиновым уплотнителем, хорошо защищён и продувается наружным воздухом за счёт наличия отверстий в верхней части капота. Условия в этом отсеке наиболее приближены к внешним погодным условиям.

При отсутствии такого отсека в конкретном автомобиле рекомендуется устанавливать датчик в боковом зеркале заднего вида со стороны водителя. Наиболее просто закрепить его автомобильным герметиком. Корпус датчика нужно располагать отверстием вниз. Место расположения основного блока сигнализатора остаётся прежним — на внутренней стороне панели салона в

свободном пространстве между рулевой колонкой и внешней стенкой салона.

Датчик соедините с основным блоком сигнализатора четырёхпроводным плоским кабелем минимально возможной длины (30...50 см). При этом желательно, чтобы общий провод и провод питания были в кабеле крайними. Возможно соединение и двумя витыми парами проводов. Рекомендуемую информационный провод SDI (SDA) свить с общим проводом, а провод синхронизации SCK (SCL) — с проводом питания.

ЛИТЕРАТУРА

1. Понкратьев Д. Сигнализатор экстренного торможения. — Радио, 2019, № 12, с. 42—45.

2. BME280 Combined humidity and pressure sensor. — URL: <https://www.bosch-sensortec.com/media/boschsensortec/downloads/datasheets/bst-bme280-ds002.pdf> (25.02.2020).

3. Wide range of Hygrometers: DHT22, AM2302, AM2320, AM2312, SHT71, HTU21D, Si7021, BME280. — URL: http://www.kandsmith.org/RJS/Misc/Hygrometers/calib_many.html (25.02.2020).

4. I²C SPI BMP280 BME280 3.3V Digital Barometric Pressure Altitude Sensor DC High Precision. — URL: <https://www.allexpress.com/item/32654011852.html> (21.02.2020).

От редакции. По адресу <http://ftp.radio.ru/pub/2020/04/ECC4.zip> находится доработанная программа микроконтроллера платы Arduino Nano.

Усовершенствование автомобильного регулятора напряжения

А. СЕРГЕЕВ, г. Сасово Рязанской обл.

Предлагаемый регулятор обеспечивает высокую стабильность выходного напряжения генератора при изменении режима работы двигателя и тока нагрузки генератора. Кроме того, он обеспечивает повышенную отдачу генератора при низких оборотах двигателя и предотвращает пробуксовку приводного ремня генератора при большом токе его нагрузки.

приходится самостоятельно совершенствовать регуляторы напряжения. Периодически публикуются статьи о таких регуляторах [1—5]. Например, в [6] был представлен доработанный регулятор напряжения 59.3702-01 с улучшенными динамическими характеристиками. Но и он имеет некоторые недостатки — не очень хорошо работает при плохом качестве выходного напряжения генератора, в частности, если уровень его пульсаций повышен.

Генераторы старых моделей имели коллектор, служивший выпрямителем переменного напряжения. При большом числе его пластин пульсации выходного напряжения генератора были небольшими. В современных генераторах трёхфазное переменное напряжение преобразуют в постоянное с помощью мостового выпрямителя. Но размах пульсаций выпрямленного напряжения — 0,14 его постоянной составляющей, а их частота в шесть раз выше частоты вращения вала генератора.

Регулятор напряжения и генератор — это составные части замкнутой системы автоматического регулирования с отрицательной обратной связью. Причём инерционность генератора намного больше инерционности регулятора напряжения. Генератор отдаёт максимально возможную мощность, если его обмотка возбуждения подключена к бортовой сети постоянно. Но значительные пульсации регулируемого напряжения регулятор рассматривает как кратковременные отклонения напряжения от номинального значения и пытается их устранить. Из-за большой инерционности генератор не успевает реагировать на управляющие сигналы, поступающие от регулятора. В результате и в режиме максимальной мощности силовой ключ регулятора напряжения в некоторые моменты времени разомкнут, что не позволяет генератору отдать полную мощность. Чтобы устранить эту проблему, приходится уменьшать пульсации выходного напряжения генератора, например, включая ФНЧ между бортовой автомобилью и регулятором напряжения в ней.

Современные автомобили имеют сложное и многофункциональное электрооборудование, от надёжной работы которого зависит и работоспособность транспортного средства, и безопасность его эксплуатации. Надёжность работы электрооборудования во многом зависит от стабильности напряжения в бортовой. Многие системы современных автомобилей довольно чувствительны даже к кратковременным перенапряжениям.

Обеспечение стабильности выходного напряжения генератора при изменении частоты вращения и тока нагрузки — сложная задача, особенно на переходных режимах, когда резко изменяется частота вращения вала генератора или ток его нагрузки. Сегодня в автомобилях применяют в основном электронные регуляторы напряжения. Наибольшее распространение получили автоколебательные регуляторы с переменной частотой переключения ключевого транзистора.

Используют и регуляторы с постоянной частотой его переключения. В них его переключают принудительно с повышенной частотой, а регулируют напряжение за счёт изменения скважности импульсов тока. Сначала на них возлагали определённые надежды. Ожидали, что за счёт повышенной частоты переключения такие регуляторы обеспечат повышенную стабильность напряжения генератора на переходных режимах, но этого не произошло. Эти регуляторы сложны по схеме и не получили большого распространения.

Определённые надежды возлагали на недавно появившиеся регуляторы напряжения на основе микроконтроллеров. К сожалению, у автора нет достаточной информации по динамическим характеристикам таких регуляторов. Но можно предположить, что сам по себе микроконтроллер не сможет устранить все проблемы.

Автомобилистам, эксплуатирующим некомпьютеризированные автомобили,

У регулятора, описанного в [6], недостаточна глубина отрицательной обратной связи по скорости изменения выходного напряжения генератора. Увеличив её, можно не только уменьшить колебания напряжения в бортовой сети, но и обеспечить плавное нарастание и убывание тока нагрузки генератора при подключении и отключении мощной нагрузки. Тормозной момент ротора генератора станет увеличиваться и уменьшаться плавно, что позволит значительно уменьшить вероятность пробуксовки приводного ремня генератора, а она приводит к быстрому износу ремня.

Дело в том, что мощность автомобильных генераторов в последние годы значительно увеличилась и клиновые или поликлиновые приводные ремни работают с большими нагрузками. Попадание на ремень воды, снега, масла или тосола приводит к пробуксовке. А толчком для начала пробуксовки становится резкое изменение тормозного момента ротора генератора. Если сильно натянуть ремень, вероятность пробуксовки понизится, но ускорится износ приводного ремня и подшипников генератора.

Схема усовершенствованного регулятора приведена на рис. 1. Он отличается от описанного в [6] наличием параллельно включённых ФНЧ R1C1 и R6C2, через которые напряжение бортовой сети подано на вход регулятора. С выхода фильтра R1C1 напряжение поступает на дифференцирующую цепь R7C3, а с выхода фильтра R6C2 — на стабилизатор VD1.

В регуляторе, описанном в [6], глубина отрицательной обратной связи по скорости изменения выходного напряжения генератора можно увеличить за счёт увеличения ёмкости конденсатора C2. Но тогда нужно обязательно уменьшить сопротивление резистора R8, в противном случае постоянная времени дифференцирующей цепи R2R8 изменится. При уменьшении сопротивления этого резистора увеличится ток базы транзистора VT1. Он может согреть при включении питания. В схеме регулятора [6] в качестве транзистора VT1 можно применить мощный транзистор, например KT837A, для которого допустим ток базы 1 А. Этот транзистор станет работать в микротоковом режиме, но при этом проблем не возникнет, потому что начальный ток коллектора у транзистора KT837A мал. Тогда сопротивление резистора R8 в регуляторе [6] можно уменьшить до 15 Ом и обратно пропорционально ему увеличить ёмкость конденсатора C2.

Но вернёмся к регулятору по схеме, изображённой на рис. 1. В нём ФНЧ R1C1 и R6C2 позволяют получить нужный результат при маломощном транзисторе VT1. В момент включения питания через резистор R1 протекает ток, который распределяется между конденсаторами C1 и C3 пропорционально

их ёмкости. Они выбраны такими, чтобы ток базы транзистора VT1 не превысил допустимого. При необходимости получения отрицательной обратной связи по скорости изменения выходного напряжения генератора очень большой глубины можно в качестве VT1 применить мощный транзистор. Кроме того, фильтры нижних частот R1C1 и R6C2 подавляют пульсации напряжения на входе регулятора напряжения и за счёт этого позволяют получить полную мощность генератора.

В регулятор внесено несколько изменений, позволяющих повысить его надёжность за счёт уменьшения частоты и повышения скорости переключения ключевого транзистора. Это уменьшает нагрев транзистора и вероятность его отказа. Между базой и коллектором транзистора VT1 вместо конденсатора включён резистор R8, а параллельно конденсатору C4 подключён резистор R10. В регуляторе 59.3702-01 функционально аналогичный транзистор при наличии конденсатора между базой и коллектором работает как интегратор (ФНЧ первого порядка с частотой среза около 350 Гц). Пульсации напряжения бортовой сети подавляет плохо и при этом увеличивает время переключения ключевого транзистора VT3.

В описываемом регуляторе транзисторы VT1—VT3 образуют неинвертирующий усилитель, охваченный положительной обратной связью через конденсатор C4 для ускорения переключения транзисторов. Подключение резистора R10 параллельно конденсатору C4 преобразует этот усилитель в триггер Шмита с двумя состояниями. Изменяя сопротивление резистора R10, можно регулировать ширину петли гистерезиса. При уменьшении его сопротивления ширина петли гистерезиса увеличивается, а частота переключения ключевого транзистора уменьшается.

Резистор R8 между базой и коллектором транзистора VT1 — цель параллельной отрицательной обратной связи, уменьшающей входное сопротивление транзистора, что повышает стабильность напряжения на выходе генератора и улучшает работу отрицательной обратной связи по скорости изменения выходного напряжения генератора.

Как следует из сказанного, при совершенствовании регулятора напряжения предполагалось, что устойчивость работы генераторной установки не зависит от частоты переключения ключевого транзистора. Это подтверждено результатами испытания этого регулятора. Он работает устойчиво несмотря на то, что были приняты меры по уменьшению частоты переключения транзисторов.

Распространено мнение, что для устойчивой работы регулятора необходимо, чтобы он переключался с частотой не менее 25...30 Гц [7]. Но этому нет доказательств. Регулятор напряжения представляет собой обычную систему автоматического регулирования. Хотя он работает не в аналоговом, а в ключевом режиме, для обеспечения его устойчивости можно применять те же способы, что и в других системах автоматического регулирования с обратной связью.

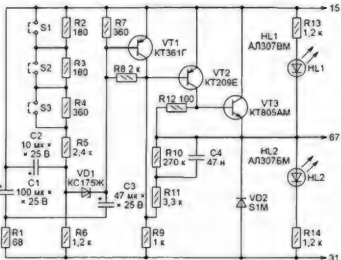


Рис. 1

Съёмными перемычками S1—S3, замыкающими резисторы R2—R4, регулируют выходное напряжение генератора в пределах 13,8...14,6 В. При удалении перемычек выходное напряжение генератора уменьшается. Известно, что для увеличения срока службы аккумуляторной батареи напряжение в бортовой сети должно возрастать при понижении температуры. Поэтому на практике при эксплуатации автомобиля нужна периодическая (сезонная) подстройка нагрузки. В рассматриваемом случае её можно делать, устанавливая и удаляя перемычки. Кроме того, резисторы R2—R4 можно заменить подстроечными резисторами, что позволит плавно устанавливать выходные напряжения генератора.

Светодиоды HL1 AL307BM (зелёного свечения) и HL2 AL307BM (красного свечения) можно заменить любыми, свечение которых хорошо заметно при токе 10...15 мА. При включённом двигателе и не работающем двигателе должен светиться светодиод HL2. Это покажет, что на обмотку возбуждения генератора подано напряжение. При работающем двигателе включены оба светодиода. При уменьшении частоты вращения вала двигателя и увеличении нагрузки на генератор яркость свечения светодиода HL2 увеличивается, а светодиода HL1 уменьшается. В противоположном случае — наоборот. Если при не работающем двигателе горит светодиод HL1, регулятор неисправен.

Импортный диод S1M можно заменить отечественным из серии КД202 или КД209.

Устойчивость таких систем рассчитывают известными методами. Например, используя критерий Найквиста. Этот критерий говорит о том, что замкнутая система устойчива, если годограф (изображение ФНЧ на комплексной плоскости) разомкнутой системы не охватывает точку $-1+j0$.

Чтобы обеспечить устойчивость регулятора и правильно выбрать параметры ФНЧ, можно сделать ориентировочные расчёты, составив для этого полную функциональную схему генераторной установки (рис. 2). Затем на её основе составить структурную схему генераторной установки как системы автоматического регулирования (рис. 3). При этом можно использовать сведе-

Показанные на рис. 2 ФНЧ в рассматриваемом регуляторе образованы элементами R1, C1 и R6, C2. Компаратором служит стабилизатор VD1. Дифференцирующая цепь образована элементами C3 и R7. Сумматор — транзистор VT1.

Схема на рис. 3 для наглядности упрощена, там нет второго ФНЧ, дифференцирующей цепи и сумматора. Согласно ей, генераторная установка содержит два звена первого порядка и одно звено второго порядка, соединённых последовательно. Такой комбинацией может быть вполне достаточно для самовозбуждения замкнутой системы, поскольку эти три звена могут сдвинуть фазу сигнала ошибки на 540° (с учётом

инерционного звена. Его частота среза — 2,2 Гц. Она рассчитана по измеренным значениям индуктивности обмотки возбуждения (0,32 Гн) и её сопротивления постоянному току (4,5 Ом).

Второе по инерционности — звено второго порядка, образованное индуктивностью статорных обмоток генератора, внутренним сопротивлением аккумуляторной батареи и её ёмкостью. Параметры этого звена рассчитать сложно, так как по своим динамическим характеристикам аккумулятор не эквивалентен конденсатору, а ёмкость автомобильной аккумуляторной батареи, выраженная в фарадах, достигает 1 Ф. Она быстро изменяется в зависимости от протекающего тока, температуры и степени заряженности батареи [7, 9].

В статье [9] рассмотрена работа генератора с коллектором, но все полученные там выводы можно применить и к современным генераторам с трёхфазным выпрямителем генерируемого напряжения. Кроме того, в этой статье в эквивалентную схему генераторной установки не включена ёмкость аккумуляторной батареи. В своих экспериментах авторы упомянутой статьи получили её значение 0,3 Ф, но оно может быть значительно больше.

Вероятно, авторы посчитали, что эта ёмкость зашунтирована низким внутренним сопротивлением батареи и ею можно пренебречь. Однако она настолько велика, что даже при низком внутреннем сопротивлении батареи оказывает влияние на работу генераторной установки (особенно при старой батарее с повышенным внутренним сопротивлением). Именно непостоянство параметров этого звена второго порядка вызывает нестабильность и непредсказуемость самовозбуждения генераторной установки. Оно возникает, когда частота среза звена второго порядка уменьшается и приближается к частоте среза ротора генератора.

Самое малоинерционное звено — ФНЧ R6C2. Его параметры можно регулировать.

Известно, что для устойчивости системы автоматического регулирования без применения корректирующих цепей требуется, чтобы частоты среза входящих в неё звеньев первого порядка должны различаться не менее чем в 5...10 раз. Поэтому частота среза ФНЧ R6C2 должна быть в пять и более раз выше частоты среза обмотки возбуждения генератора (2,2 Гц). На рис. 4 представлена структурная схема генераторной установки как системы автоматического регулирования с учётом корректирующих цепей.

На рис. 5 представлена зависимость от частоты коэффициента передачи замкнутой системы при разной её добротности. Эту зависимость можно снять экспериментально, но обязательно с учётом влияния аккумуляторной батареи. Для этого нужно при работающем генераторе с определённой частотой включать и выключать мощный потребитель электроэнергии, контролировать изменения напряжения в бортовой или выходные тока генератора. При низкой частоте коммутации нагрузки система будет успевать отслеживать

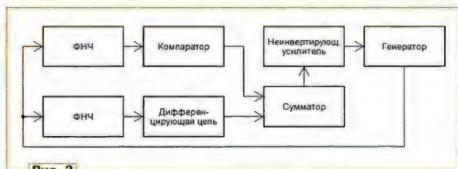


Рис. 2

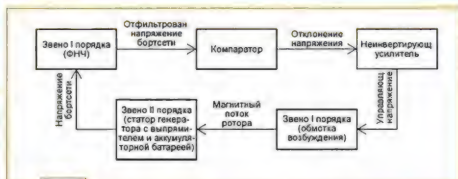


Рис. 3



Рис. 4

ния, приведённые в [8]. Там в упрощённой популярной форме рассмотрена устойчивость систем автоматического слежения за частотой. Но все рекомендации вполне применимы и к генераторной установке, нужно лишь заменить частоту напряжением в бортовой.

сдвига фазы на 180° в цепи отрицательной обратной связи).

Одно из звеньев первого порядка — обмотка возбуждения генератора, которая представляет собой последовательное соединение индуктивного и активного сопротивлений. Это самое

изменения тока нагрузки. С увеличением частоты переключений ошибка будет расти.

С увеличением добротности системы на её резонансной частоте (в рассматриваемом случае 4 Гц) в АЧХ появляется пик. Эта частота может быть определена экспериментально. Именно на ней может начаться самовозбуждение. Нужно учитывать, чёткой границы между режимами стабилизации и самовозбуждения нет. Возможны промежуточные режимы с различной амплитудой колебаний.

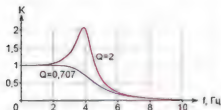


Рис. 5

Если нужно получить очень плавное изменение тока нагрузки генератора (и тормозящего момента ротора генератора), можно собрать регулятор напряжения по схеме, изображённой на рис. 6. Здесь при подаче на регулятор напряжения питания открывается транзистор VT1. Конденсаторы C1 и C3 заряжаются коллекторным током транзистора, который зависит от напряжения в бортовой сети согласно формуле

$$U_c = \frac{U_{bc}}{R1} \cdot h_{21э},$$

где U_{bc} — напряжение в бортовой сети автомобиля; $h_{21э}$ — коэффициент передачи тока базы транзистора, включённого по схеме с общим эмиттером. Этот ток распределяется между конденсаторами C1 и C3 пропорционально их ёмкости. После зарядки конденсаторов транзистор VT1 переходит в режим насыщения.

При работе регулятора сопротивление участка коллектор—эмиттер транзистора VT1 служит эквивалентом резистора R1 на рис. 1. Сопротивление одноимённого резистора (см. рис. 6)

нужно подобрать таким, чтобы ток коллектора транзистора VT1 не превышал допустимого значения. Добавление в регулятор этого транзистора позволило в несколько раз увеличить ёмкость конденсаторов C1 и C3 без риска повредить транзистор VT2.

Если эта схема покажется слишком сложной, можно построить регулятор напряжения по более простой схеме, показанной на рис. 7. Он отличается тем, что в качестве ФНЧ применён (как и в регуляторе 59.3702-01) интегратор на транзисторе VT2. Чтобы уменьшить вредное влияние конденсатора C2 на время переключения транзисторов, здесь можно увеличить ёмкость ускоряющего конденсатора C3 и уменьшить сопротивление резистора R11.

ЛИТЕРАТУРА

1. Тышковец Е. ШИ-регулятор напряжения. — Радио, 1984, № 6, с. 27, 28.
2. Ломанович В. Термостабилизированный регулятор напряжения. — Радио, 1985, № 5, с. 24—27.
3. Коробков А. Автомобильный регулятор напряжения. — Радио, 1986, № 4, с. 44, 45.
4. Бирюков С. Простой термостабилизированный регулятор напряжения. — Радио, 1994, № 1, с. 34, 35; № 10, с. 43.
5. Добрылюбов В. Усовершенствованное электронное стабилизатора напряжения. — Радио, 2000, № 2, с. 44.
6. Сергеев А. Доработка автомобильного регулятора напряжения 59.3702-01. — Радио, 2014, № 3, с. 42—44.
7. Малюгин П. Н., Ковригин В. А. Регуляторы напряжения. Методические указания к лабораторной работе № 4 по дисциплине "Электрооборудование автомобилей". — Омск: Издательство СибаДИ, 2003.
8. Кривичий Б. Х. Автоматическое слежение за частотой. — М.: Энергия, 1974.
9. Семко И. А., Таукин В., Закалюжный А. А. Взаимодействие и воздействие аккумуляторной батареи на динамические характеристики генераторов постоянного тока на холостом ходу. — Электроника и электротехника, 2017, № 2, с. 13—18.

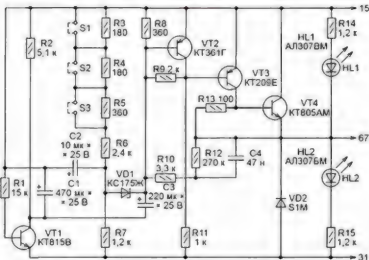


Рис. 6

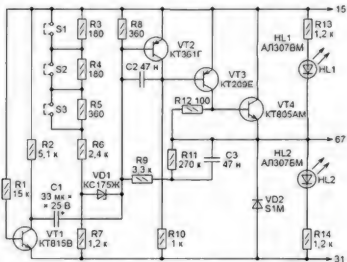


Рис. 7

МОДУЛЬНАЯ РЕКЛАМА

Дистанционные курсы обучения программированию микроконтроллеров STM32, AVR, Arduino, PIC, STM8 и др.

Занятия проводятся по электронной почте или с помощью программы Skype.

Обучение может быть направлено на решение стоящей перед вами задачи.

www.electroniclab.ru/courses.htm
т. +7-912-619-5167

* * *

СВЕТОДИОДНЫЕ ЛАМПЫ,
СВЕТИЛЬНИКИ И ВСЁ ТАКОЕ...
www.new-technik.ru

* * *

SDR приёмники и аксессуары:
www.radiospdy.ru

Периодическая смазка тяговой цепи мотоцикла, управляемая микроконтроллером

Г. НЮХТИЛИН, г. Ковров Владимирской обл.

Предлагаемое устройство предназначено для периодической подачи смазочного масла на тяговую цепь мотоцикла при его движении. Это увеличивает срок службы самой цепи и звездочек. Масло подает насос, питаемый от бортовой цепи мотоцикла, периодически на короткое время включаемый микроконтроллером. Масло поступает на цепь из бачка через подающий шланг.

Устройство состоит из насоса (рис. 1), масляного бачка (рис. 2) и блока управления. Насос и бачок приобретены в интернет-магазине. Их можно найти соответственно по ссылкам [1] и [2]. Самодельный блок управления насосом описан ниже.

Основные технические характеристики

Длительность разовой подачи масла (регулируемая), с	1...8
Подача масла, мл/с:	
по шлангу с внутренним диаметром 3 мм	0,28
по шлангу с внутренним диаметром 4 мм	0,67
по шлангу с внутренним диаметром 5 мм	1,7
Период повторения подачи масла (регулируемый), мин	1...32
Напряжение питания, В	12
Потребляемый ток, мА	420
при работающем насосе	20
Габариты насоса, мм	67×55×45
Габариты масляного бачка, мм	65×52×36

Принципиальная схема блока управления изображена на рис. 3. Напряжение бортовой +12 В с контакта 1 разъёма ХР1 поступает на параметрический стабилизатор, состоящий из резистора R7 и стабилизатора VD1. Конденсатор C1 — сглаживающий. Стабилизированное напряжение питает микроконтроллер DD1 PIC12F675-I/P. В описываемом устройстве его нельзя заменять на подобный микроконтроллер PIC12F630, не имеющий встроенного АЦП.



Рис. 1

Согласно программе, микроконтроллер выдерживает паузу, длительность которой задана подстроечным резистором R2, при этом логический уровень напряжения на выходе GP5 микроконтроллера низкий, транзистор VT1 закрыт, а подключенный к контактам 2 и 3 разъёма ХР1 электропривод насоса не работает. О состоянии паузы сигнализирует выключенный светодиод HL1. По окончании паузы микроконтроллер

выключает этот светодиод и устанавливает высокий уровень на выходе GP5. Этим он включает светодиод HL2 и подает напряжение на базу транзистора VT1 через резистор R6. Транзистор открывается и подает напряжение на электропривод насоса. Насос поливает цепь маслом из бачка в течение заданного подстроечным резистором R1 промежутка времени. Далее описанный цикл повторяется до тех пор, пока не будет выключено питание блока управления.

Подстроечные резисторы R1 и R2 должны быть с линейной зависимостью сопротивления от положения движка. Левое по схеме положение движка подстроечного резистора R1 соответствует продолжительности подачи масла 1 с, правое — 8 с. Такие же положения движка подстроечного резистора R2 соответствуют паузам длительностью 1 мин и 32 мин.

Кнопочный выключатель SB1 даёт возможность вручную включить насос во время паузы. Например, чтобы прокачать масло по шлангам после его долива.



Рис. 2

При достаточном количестве масла в бачке контакты датчика его уровня должны быть разомкнуты. В этой ситуации резистор R3 обеспечит на входе GP3 микроконтроллера высокий логический уровень напряжения. Если масла недостаточно, контакты замкнуты, а на входе GP3 установлен низкий уровень.

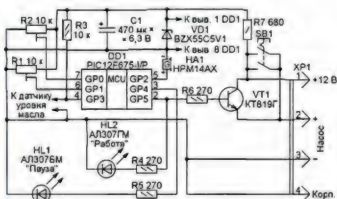


Рис. 3

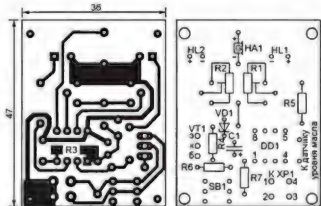


Рис. 4

Обнаружив его, программа формирует на выходе GP2 импульсы частотой 1 Гц, которые излучает звука HA1 со встроенным генератором преобразует в звуковые сигналы. Насос при этом выключен.

Все детали блока управления размещены на печатной плате размерами 47х36 мм из фольгированного с одной стороны листового изоляционного материала толщиной 1,5 мм. Ее чертёж и монтажная схема показаны на рис. 4. Микроконтроллер устанавливаете на плату уже запрограммированным в программаторе. Для удобства для него на плате можно установить панель. Не следует иметь в виду, что при эксплуатации устройства на мотоцикле контакт в панели иногда нарушается от вибрации.

Вместо транзистора KT819Г можно применить другой той же серии или любой биполярный транзистор структуры п-р-п с допустимым током коллектора не менее 0,5 А. Стабилитрон BZX55C5V1 допустимо заменить другим маломощным с напряжением стабилизации 4,7...5,2 В. Вместо светодиодов серии AL307 можно установить любые

Все постоянные резисторы — МЛТ или им подобные указанной на схеме мощности. У резистора R3 проволочные выводы обрезаны, а их контактные площадки очищены от краски. После этого резистор припаив к контактным площадкам на стороне печатных проводников платы. Кнопочный выключатель SB1 — PB28E08.



Рис. 6



Рис. 7

Разъём XP1 — автомобильный с четырьмя ножевыми контактами РП-П 2,5-(6,3). Гнёзда подключаемой к нему ответной части — РП-М 2,5-(6,3).

Разместить датчик уровня масла в покупном бачке мне не удалось. Причина тому — множество косых рёбер внутри бачка, придающих ему прочность и гасящих волнение масла во время тряски. Датчик предполагалось изготовить в виде кольцевого поплавка с магнитом внутри. Под действием магнитного поля должны были замыкаться контакты геркона, расположенного вне бачка, рядом с его стенкой.

Возможно, кто-нибудь из читателей сможет осуществить эту идею или разработает свою конструкцию датчика. Функция контроля уровня масла в приложенной к статье программе микроконтроллера имеется. Проверить её можно, замкнув между собой предназначенные для подключения датчика контактные площадки на печатной плате.

Плата помещена в готовый пластмассовый корпус с герметичной крышкой, защищающей от попадания внутрь пыли и влаги. Крышка закреплена четырьмя саморезами, что позволяет снимать её для доступа к подстроечным резисторам R1 и R2. Корпус с одним из вариантов платы и снятой крышкой показан на рис. 5. На его боковой стенке закреплён разъём XP1.

Как показано на рис. 6, насос и бачок установлены на одном стальном кронштейне. Соедини-

тельные шланги — из комплекта насоса. Один из них соединяет бачок с всасывающим штуцером насоса, второй надет одним концом на подающий штуцер насоса, а вторым концом закреплён в удобном месте на тяговой цепи мотоцикла. На электродвигателе насоса надета половинка "яйца" игрушки "Киндерсюрприз", защищающая верхний

подшипник и щёточный узел электродвигателя от пыли и влаги. Кронштейн с насосом и бачком удалось установить на мотоцикле Stels Trigger 50FX вселыми, ближе к заднему колесу под воздушным фильтром, и закрыть штатными щитками. Блок управления закреплён на декоративной крышке воздушного фильтра (рис. 7).

ЛИТЕРАТУРА

1. Перистальтический насос, работающий на постоянном токе 12 В с ДП помпе-дозаторе для жидкости для аквариума. — URL: <https://ru.aliexpress.com/item/32770860268.html?spm=a2g0s.9042311.0.0.1f2c33ed1sg8ve> (10.02.2020).
2. Новый радиоуправляемый топливный пластиковый бак. — URL: <https://ru.aliexpress.com/item/33029442531.html?spm=a2g0s.9042311.0.0.1f2c33ed1sg8ve> (10.02.2020).
3. Серия W1W1. — URL: <http://www.dart.ru/catalogue/new/resistors/trimming.html/w1w1-1.shtml> (10.02.2020).

От редакции. По адресу <https://ftp.radio.ru/pub/2020/04/nasos.zip> имеется файл печатной платы устройства и программа микроконтроллера.



Рис. 5

достаточной яркости. При этом резисторы R4 и R5 нужно подобрать такого сопротивления, чтобы ток через эти светодиоды не превышал допустимого для них максимума.

Излучатель звука частотой 4900 Гц НРМ14АХ можно заменить другим со встроенным генератором и напряжением питания 5 В. Если вместо него установить светодиод с гасящим резистором, то сигналом недостаточного количества масла в бачке будут служить короткие вспышки этого светодиода.

Оксидный конденсатор C1 — K53-19. Подстроечные резисторы R1 и R2 — W1W1-1 [3]. Они хороши тем, что на движке имеется стрелка, а вокруг него — грубая круговая шкала, что позволяет визуально определять положение движка. Заменить их можно другими подстроечными резисторами сопротивлением 4,7...20 кОм и мощностью 0,25...1 Вт, желательно, тоже со стрелкой и шкалой или возможностью их навести.

МОДУЛЬНАЯ РЕКЛАМА

"Вторичный анализатор цепей NanoVNA 50 кГц...900 МГц" — 2950 рублей.

www.radiospy.ru

БЕСПРОВОДНАЯ ПЕРЕДАЧА ЗВУКА!
ПЕРЕДАТЧИКИ, ПРИЕМНИКИ,
PLL-СИНТЕЗАТОРЫ
www.new-technik.ru

НАША КОНСУЛЬТАЦИЯ

КАРПАЧЕВ А. Ещё один способ управления люстрой. — Радио, 2019, № 12, с. 31.

Печатная плата.

Чертежи печатной платы устройства и расположение элементов, кроме сенсора E1, выключателя SA1 и лампы E1—E3, приведены на рис. 1. Плата рассчитана на установку элементов для монтажа

жа в отверстия. Входы неиспользуемого триггера DD1.2 (выводы 8—11) соединены с минусовой линией питания. Держатели плавкой вставки FU1 (0,5 А) — NF-004 (ZH-266, FC-0015) 5x20.

От редакции. Чертежи печатной платы в форматах Sprint LayOut 5.0 и TIFF размещены по адресу http://ftp.radio.ru/pub/2020/04/cont_light.zip на нашем сервере.

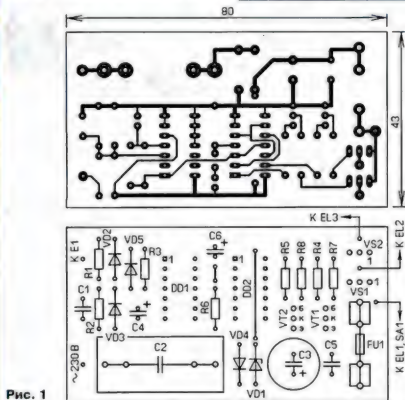


Рис. 1

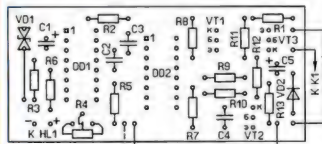
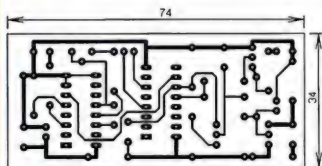


Рис. 2

БАХАРЕВ А. Автомат-выключатель новгородной иллюминации. — Радио, 2019, № 12, с. 30.

Печатная плата.

Чертежи печатной платы автомата и расположение элементов, кроме лампы K1, выключателя SA1, светодиода HL1, разъема XР1 и блока питания A1, приведены на рис. 2. Плата рассчитана на установку элементов для монтажа в отверстия. Для стабилизатора VD1 с аксиальным расположением выводов на плате предусмотрено дополнительное отверстие. Подстроенный

резистор R4 — СП3-38а или аналогичный.

От редакции. Чертежи печатной платы в форматах Sprint LayOut 5.0 и TIFF размещены по адресу <http://ftp.radio.ru/pub/2020/04/auto.zip> на нашем сервере.

СТАВЕРОВ А. Электронное зажигание с пониженным потреблением тока. — Радио, 2020, № 2, с. 24, 25.

Об элементной базе.

Диодный мост VD4 DB107, работающий на частоте около 20 кГц, желательно заменить на более высокочастотный, например КЦ407А, или установить

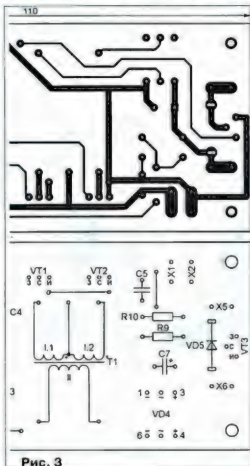


Рис. 3

четыре импульсных диода с максимальным обратным напряжением не менее 400 В, например FR104—FR107. Оксидный конденсатор C5 следует подобрать с минимальным ЭПС (ESR) или применить пленочный К73-17 с номинальным рабочим напряжением 63 В.

Фрагменты печатной платы и расположение элементов с диодным мостом КЦ407А и конденсатором C5 К73-17 приведены на рис. 3.

От редакции. Чертежи печатной платы с установкой диодного моста КЦ407А и конденсатора К73-17 в форматах Sprint LayOut 6.0 и TIFF размещены по адресу http://ftp.radio.ru/pub/2020/04/ign_new.zip на нашем сервере.

РАДИО

E-mail: mail@radio.ru

о связи

ЖУРНАЛ В ЖУРНАЛЕ

Николай Валентинович Казанский (UA3AF) — один из организаторов радиоловительского движения

Георгий ЧЛИЯНЦ (UY5XE), г. Львов, Украина

Николай Валентинович Казанский (1916—2002) вспоминал, как ему, десятилетнему пареню, попал в руки журнал "Радиоловитель" с описанием однолампового приёмника конструкции Оганова, на который один из московских радиоловителей принимал у себя дома передачи вешательной радиостанции. Подумалось: "Вот здорово, мне бы так". Уже к концу года у него был такой же приёмник, но, увы, ничего принять на него он так и не смог. Только позже узнал, что в Красноярске, где жила тогда семья Казанских, ещё не было вешательной станции.

Вспомнил Николай Валентинович и журнал "Радио Всем", увлечение его вкладками "RA-QSO-RK", посвящёнными коротким волнам.

А как было ему не вспомнить конец 20-х годов — переезд в Казань и учёбу на курсах радиотелеграфистов при местном "Обществе друзей радио". На выпускных экзаменах Коля Казанский принял радиограмму со скоростью 120 знаков в минуту и получил "Диплом радиста 1-го класса".

Потом была увлекательная работа в эфире. Сначала как наблюдатель — RK-4168, а затем — U4AM [1, 2].



Николай Валентинович
Казанский.

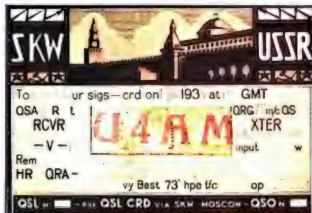
Примечание. Ему помог стать коротковолновиком казанец — Алексей Иванович Рознаковский (U4AG, ранее — eu4BB, после войны — UA4RA).

Учёбу в институте, Николай Валентинович параллельно работал инструктором по радиоловительству Дворца пионеров и в радиоклубе.

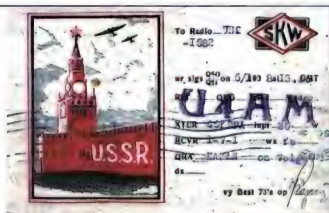
В 1939 г. Н. В. Казанский был призван на службу в Красную Армию, но прослужил всего один год и был комиссован по зрению.

После этого Николай Валентинович приехал в Москву и по рекомендации журнала "Радиофронт" стал инструктором по радиоловительству в Казанском ОСОАВИАХИМе. Когда началась война, он все свои знания, всю свою энергию посвятил подготовке радистов для фронта.

После войны Н. В. Казанский переезжает в Москву и работает в ЦРК [1], а позже — в центральном аппарате ОСОАВИАХИМ (позже — ДОСААФ, ДОСААФ).



QSL's U4AM.



В мае 1946 г., одним из первых в стране, он был награжден знаком "Почётный радист" (см. п. 5 сообщения "Почётные радисты").



Знак "Почётный радист".

Сообщение "Почётные радисты".

"Судья третьей категории" и до "Судья Всесоюзной категории". Первыми звание "Судья Всесоюзной категории" получили академик А. И. Берг, Ф. И. Бур-

Почётные радисты

Приказом от 7 мая 1946 г. Министра Вооруженных сил Союза ССР, за заслуги в деле развития радиотехники, пропаганды радиосвязи и в подготовке кадров радистов, лицам Красной Армии награждены знаками Почётный радист:

1. Герой Советского Союза тов. Кренкель Э. Т.
2. Доктор физико-математических наук профессор Хайкин С. Э. — научно-технический редактор журнала «Радио Ветана» и «Радиодиректор», автор ряда популярных книг по радиотехнике.

3. Стратегия радиолобительского движения и радиотехники, журналы «Радиолобитель», «Радио Ветана» и «Радиодиректор» — Бурдеев В. А., Гинкин Г. Г., Кудряков Л. В., Спичковский Н. Н., Троцкий Л. В., Нейцов В. Н.

4. Выдающиеся советские коротковолновики: капитан Ветчинкин А. Н., Волгарев Л. Е., Стройков Н. И., Хобов В. Я., Костюков Г. Г.

5. Радиотехники: Осовякинский — Азатян Г. С., Гоборовский Н. К., Бурдеев Ф. Н., Горюченко Н. Л., Емалов Н. М., Казанский Н. В., Киселевич П. Л., Лунин С. В., Миллер С. Н., Морозов В. М., Роговский Е. П., Чернов И. К.

С 1946 г., когда возобновился выход журнала "Радио", и до последнего дня своей жизни Николай Валентинович был членом редакционной коллегии журнала, помогая своими советами и опытом его становлению и развитию.

В 1949 г. ЦРК учреждает диплом Р-100-О. Первым в 1951 г. его получил Юрий Прозоровский (UA3AW). Интерес к этому диплому был большим, и поэтому журнал "Радио" опубликовал Таблицу достижений по количеству подтвержденных областей (по сост. на 01.09.1952). Лидером среди индивидуальных радиостанций был по-прежнему UA3AW (108 областей), а на втором месте оказался UA3AF (102 области).

В 1950 г. в издательстве ДОСАРМ вышли его книги "Радиостанция юного коротковолновика" (40 с.) и "Всеволновой батарейный супертерердин" (14 с.). В 1951 г. в том же издательстве (совместно с Ф. В. Росляковым) выходит книга "Овладевай коротковолновым радиопрёмом" (28 с.).

В 50-х годах (совместно с Ф. Бурдеевым (UA3-1), А. Камалыгиным (UA4AF) и К. Шульгиным (UA3DA) тремя изданиями выходит "Справочник коротковолновика" (1950, 1953 и 1959 гг.). В 1957 г. в издательстве "Тоснегпроиздат" выходит его книга "Схемы УКВ аппаратуры". С 1958 г. и в течение многих последующих лет был популярным изданный (совместно с Ф. Бурдеевым) "Карманный справочник радиолюбителя-коротковолновика" (М.: ДОСААФ, 1958, 84 с.).

В декабре 1959 г. Н. В. Казанский был одним из создателей ФРС СССР (1).

В 1960 г. в Лейпциге (ГДР) были проведены первые Международные

Николай Валентинович получает позывной UA3AF, который много лет звучит в эфире, что подтверждается несколькими тиражами его QSL's в разные годы.

Кроме работы в эфире, он принимает активное участие в судействе соревнований по радиоспорту, и в 1953 г. ему присваивается спортивное звание "Судья Всесоюзной категории".

Примечание. 20 октября 1953 г. ЦК ДОСААФ СССР учредил звание "Судья по радиолобительскому спорту" (от

дейный (UA3-1, перед войной — UA3AE), Е. Н. Геништа, Н. В. Казанский (UA3AF), Э. Т. Кренкель (IAEAM), В. Г. Мавродица (IA3AN, перед войной — U3QD, до 1934 г. — U3QW), Б. Н. Можжовелов, Ю. Н. Прозоровский (UA3AW, перед войной — U3BV, до 1934 г. — U3QW), И. И. Спичковский, З. В. Топурия и Б. Ф. Трэм.

В 1961 г. радиоспорт был включён в "Единую Всесоюзную спортивную классификацию" (ЕВСК), и судьям по радиоспорту стали присваивать судейские звания единого образца.



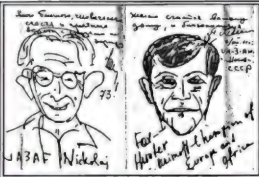
Знак "Судья Всесоюзной категории".



Знак "Всесоюзная коллегия по спорту".



Слева — направо (сидят): Э. Т. Кренкель (РАЕМ) и Н. В. Казанский (UA3AF).



Первый чемпионат мира по "Охоте на лис" (о. Линдинго, Швеция). Дружеский шаж на тренера Н. В. Казанского и чемпиона мира на диапазоне 144 МГц Ивана Акимова (UA3ANA, позже — UA3AG).



Значок "Заслуженный тренер СССР".

соревнования по "Охоте на лис" (ныне — СРП/ARDF). Н. В. Казанский был тренером сборной страны, а руководителем делегации — председатель ФРС СССР Э. Т. Кренкель.

В 60–70-х годах увидели свет три его книги: "Радиолобительский спорт в СССР" (М.: ДОСААФ, 1960, 94 с.), "Радиоспорт в СССР", совместно с И. А. Демьяновым (М.: ДОСААФ, 1965, 112 с.), и "Наш друг Радио", совместно с И. А. Демьяновым и А. Л. Мстиславским (М.: ДОСААФ, 1974, 72 с.).

Примечание. В моей коллекции находятся несколько этих книг с дарственной его подписью.

Н. В. Казанский в течение многих лет избирался заместителем председателя ФРС СССР.

В рамках празднования 60-летия ДОСААФ в рубрике "Золотой фонд оборонного Общества" журнала "Радио" опубликована статья [3], посвященная 70-летию Николая Валентиновича.

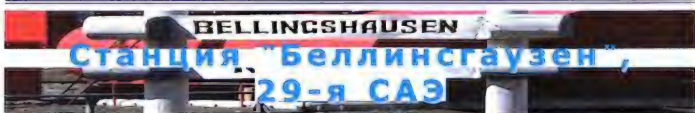
За заслуги в развитии радиоспорта и радиолобительства Николай Валентинович Казанский был награжден орденами "Знак Почета" и "Дружбы народов", медалью "За трудовую доблесть". Ему было присвоено звание "Заслуженный тренер СССР". В 1984 г. за большой личный вклад в развитие международного радиолобительского

движения был награжден медалью "IARU Reg. 1".

По вполне естественным причинам изложенный материал не может претендовать на право абсолютной исторической истины, но автор обработал доступные ему материалы.

ЛИТЕРАТУРА

1. Члиянц Г. Создание ФРС СССР (1959 г.). — Радио, 2019, № 12, с. 49, 50.
2. U4AM 1938 European Russia. — URL: http://hamgallery.com/qsl/country/European_Russia/u4am.htm (20.02.20).
3. Мстиславский А. Старейшина радиолобительского цеха. — Радио, 1987, № 1, с. 5, 6.



Александр БОРЗЕНКОВ (YL2AG), г. Рига, Латвия

Мы продолжаем публиковать воспоминания радиолобителей, которые в советское время работали на антарктических станциях. Сегодня автор статьи рассказывает о своей работе на антарктической станции "Беллинсгаузен".

Мой путь в Антарктику был не таким сложным, как многие думают. Мои друзья Сергей Кузмин (UQ2OC ex 4K1OC) уже был на "Молодёжной", Сергей Рифа (UQ2GDW ex 4K1GDW) собирался уехать в Ленинград с 28-й советской антарктической экспедицией (САЭ). Все мы трое — с одной легендарной коллективки UK2GKW, впоследствии UQ1GWW.

С Сергеем я встретился перед отъездом, он сказал: "Саша, хочешь в Антарктиду, пиши заявление в Арктический и антарктический научно-исследовательский институт (АНИИ) с подсобной автобиографией". На тот момент я был КМС, имел первую категорию, и с телеграфом не было проблем.

1 апреля 1983 г. я получаю толстый конверт с кучей анкет. В конце мая поехал в Ленинград. Сдал документы, медкомиссию (около 20-ти врачей) прошёл за два дня. В конце августа получил ответ, что принят старшим радиотехником на станцию "Беллинсгаузен" в 29-ю САЭ, где в это время работал Сергей (4K1GDW). Я отпускаю моё путешествие через четыре континента и три океана. Это тоже очень интересно, но не для этой статьи.

27 декабря 1983 г. наш белый теплоход "Байкал" бросил якорь возле станции "Беллинсгаузен". Погода была пасмурной, а на берегу нас встречали четыре королевских пингвина. Разгрузились, встретились с ребятами, кото-

рые уходили после зимовки. Встреча была очень тёплой, сами понимаете. Работа началась на следующий день. Поселили меня не в дом, где жил и работал Сергей (4K1GDW), а в общежитие, но в отдельную комнату. Из аппаратуры у меня был приёмник с передающей приставкой Якова Лапова (UA1FA), который мне дал в экспедицию Володя Кондеранго (UQ2GC). Нашёл бухту армейского канатника длиной 42,5 м и с криши общежития на высоте четырёх-пяти метров натянул его на другой дом. Эфир полностью забит LU, CE, CX, W и другими префиксами Южной и Северной Америки. Первые два месяца работал позывным 4K1F. С моими 50 Вт и "верёвкой" на конце у меня даже были небольшие pile up, в основном на частоте 14 МГц. Ночью, когда был на вахте, чтобы не уснуть, запустил KB5 (армейский передатчик мощностью 5 кВт) на частоте 7 МГц и устроил эфирный пир для себя. Американцы просто плакали...

Антарктическая станция "Беллинсгаузен".
Здание с белым шаром на крыше — радиорубка.



Теперь немного лирики... Когда я учился в Рижском летно-техническом училище гражданской авиации, к нам на радиостанцию UK2GAG пришел кубинец Jose Rodigas, который учился у нас. Мне было очень интересно, как он работал с Южной Америкой. Я тоже захотел говорить по-испански. Он меня обучал разговорному испанскому целый год. Это мне пригодилось в Аргентине, а потом и на "Беллинсгаузене". В Буэнос-Айресе, когда мы

выходили из ворот порта, стояли солдаты. Я начал спрашивать их по-английски, они сразу переключили затворы на автоматах. Тогда была война на Мальдивах. "English, no, no. Mi ruso el barko Baikal". Отношение к нам сразу изменилось. Я понял, русских очень любят в Аргентине. Мы с ними чуть ли не обнимались, они объяснили нам, куда надо ходить, а куда — ни в коем случае. Буэнос-Айрес очень красивый город, я таких больше не видел.

В сентябре 1984 г. было открытие первого чилийского городка в Антарктиде. На открытии присутствовал президент, сам Аугусто Пиночет с дочерью Марией. Я сам его видел, правда, только в бинокль. Дорога от аэродрома до городка — около 1 км. На середине дороги он остановил машину и разглядывал наш "Беллинсгаузен" в бинокль, а я в этот момент изучал его. Эта важная персона находилась от меня примерно в ста метрах.

Станция "Беллинсгаузен" — вид с моря. Справа — первая в Антарктиде православная церковь.





Столб с табличками, на которых указаны расстояния до городов.



Метель. Вид на радиорубку.

С чилийскими радиистами я перезнакомился уже через неделю после прибытия. У нас был тесный контакт по работе, потом мы ходили друг к другу в гости.

Животный мир на острове очень отличался от "Молодёжки" и "Мирного". Сотни пингвинов Адели, они никогда, даже во время зимы, не покидали остров. Десятки тюленей, много морских леопардов. Поморники, похожие на огромных ворон, только серого цвета. Один, по кличке Гриша, всегда жил у нашей радиорубки. Я его под-

кармливал с руки, но в брезентовой перчатке. Палец отхватить — раз плюнуть. На берегу Тихого океана за аэродромом много слонов размером около пяти метров. У каждого был свой гарем из пяти-шести подружек.

Интересным занятием для меня являлась рыбалка, но только в сезон. Излюбленным блюдом для нас была рыбка натотения, средний вес её от 300 до 500 г. Сбегаешь на нефтебазу, попрыгаешь с камня на камень, за час рыбалки у тебя 15...20 кг в сумке. Из-под одного камня больше двух штук не выудить. Они живут парами. В основном их вялили и коптили. Иван, наш повар, мог свежую рыбу пожарить или супчик из неё сварить.

В начале марта Саша, радист из 28-й САЭ, ушёл домой. Я получил лицензию 4K1GAG и переехал в дом, где до этого работал Сергей (4K1GDW). Рабочее место, по тем временам, было оборудовано просто шикарно. Приёмник P-250 для сплита, усилитель мощности на двух лампах ГУ-81, антенна типа VS1AA 84 м на высоте 20 м. Вот началась настоящая работа. Установил постоянную связь с UQ1GWB, с Володиём (UQ2GC). Он собирал народ на трафик, много было радиолюбителей из СССР. О Южной и Северной Америке вообще говорить не стоит: устраивал настоящие свалки в эфире.

Личный рекорд — 362 QSO SSB. Много работал CW. На диапазоне 80 метров устанавливал частоту 3640 кГц и американцев растягивал от 3800 до 3850 кГц. Однажды в сентябре проснулся около пяти утра перед вахтой, надо послушать 80 метров, может какие японцы будут, и услышал русскую речь без позывных "брэк, брэк". Один из них, а это был Валерий (UA0QBB), говорит: "Кто-то из наших подошёл". Когда сказал, что 4K1GAG, наступила тишина. "Валера, это я, Саша UQ2GAG Южно-Шетландские острова". У Валеры было радости... Я с ним ещё знаком с 1979 г. Тогда Саша Уржумцев (RG5A) познакомил меня с ним в рижском радиоклубе. За две недели Валера перетянул на связь со мной весь Дальний Восток.

В СО WW SSB 1984 г. работал по мере возможности, потому что надо было и на основной вахте работать. Провел

Ночной вид станции "Беллинсгаузен". На дальнем плане — чилийская станция Mursh.



около 1600 QSO и занял 1-е место... в Антарктиде!

Работа на острове не всегда была такой хорошей, как я обрисовал. Ветер — 43 м/с, на вахту 150 м полз по-пластунски. Обледенение на антеннах — биметалл обростал льдом диаметром 6 см. Повалило три мачты высотой по 20 м. Трое суток без связи. В метель пришлось восстанавливаться. Бывало, что из Чили вылетал транспортный самолёт C-130, проходил точку возврата, а у нас начиналась метель или туман в сезон. Чилийские лётчики — молодцы. Такую машину посадить без курсо-гидсидной

системы, только дальний привод, радиомаяк и аэродомные огни, не каждому дано. Экипажу, если не доставить груз, нужно либо покрыть все расходы или утонуть в проливе Дрейка. Они мне сами рассказывали. К концу зимовки у же неплохо говорил по-испански.

К сожалению, среди новых радистов, которые нас меняли, не было ни одного радиолубителя. Уходили мы домой 9 января 1985 г.

Подвожу итоги: провёл около 20000 связей, все QSL, которые получил, подтвердил и отправил через бюро. Очень многого я не написал, для этого

нужна небольшая книга. Очень благодарен ребятам, с которыми работал на станции. Ни одного конфликта на станции не было — коллектив подобрался отличный. Память о станции "Белинсгаузен" осталась на всю жизнь.

Поздравляю всех поляриков с 200-летием открытия Антарктиды! Это началось именно с острова Ватерлоо (King George).

Фотографии к статье следующих авторов: РаоМiс, Arcibel, LBM1948, Akulovz, взяты из Википедии.

"Дельта" с переключаемой поляризацией для диапазона 40 метров

Геннадий УНДЫШЕВ (RN3KV), с. Терновка Воронежской обл.

Эта антенна — окончательный вариант одной из моих первых "дельт" для диапазона 40 метров, претерпевшей несколько доработок. Схематически она изображена на рис. 1. Рамка антенны, представляющая собой равносторонний треугольник, установлена на диэлектрической мачте высотой 15,5 м. Её нижняя сторона находится на высоте 2,5 м от поверхности земли, "противовес" проложен вдоль мачты вверх от нижней стороны рамки. Лучше было бы повернуть его вниз, но пришлось бы делать более высокую мачту. Были испытаны по два — четыре противовеса, растянутых в стороны и даже намотанных на половины нижней стороны рамки, но эти варианты были признаны неудачными.

Чтобы получить вертикальную поляризацию, точки А и С соединяют, превращая "дельту" в объёмный полушаровый вертикал с "противовесом". При этом её входное сопротивление возрастает до 1000...1500 Ом.

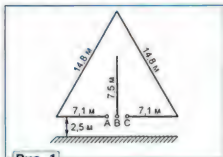


Рис. 1

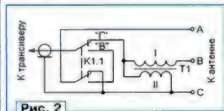


Рис. 2

Первоначально рамка и противовес были сделаны из изолированного медного провода ПВ-3 сечением по меди 2,5 мм². Но он прослужил всего около двух лет и был заменён полевым телефонным кабелем ПТ24, который служит без замены уже десять лет. Разницы в работе антенн из разного провода замечено не было.

При горизонтальной поляризации антенну питают в середине нижней стороны (точки А и С) коаксиальным кабелем с волновым сопротивлением 50 Ом. Получается обычная всем известная "дельта" с горизонтальной поляризацией. При указанных размерах её входное сопротивление — 50 Ом.

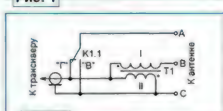


Рис. 3

Для согласования антенны с кабелем в этом режиме служат "противовес" (он компенсирует реактивную составляющую) и трансформатор 1250/50 Ом. У меня он намотан на ферритовом кольце от отклоняющей системы старого телевизора УНТ. Обмотки I и II — соответственно 3 и 12 витков провода ПЭЛ диаметром 0,8 мм. Поляризацию изменяют, как показано на рис. 2, с помощью реле, имеющего две группы контактов на переключение. Реле РЭС9 успешно работает с трансивером мощностью 100 Вт.

Выяснилось, что при горизонтальной поляризации "противовес" на работу антенны почти не влияет. Поэтому его

можно не отключать. Это позволяет использовать реле с одной группой контактов. Такой вариант управления поляризацией показан на рис. 3. Управляющее напряжение можно подавать на обмотку реле по фидеру согласно схеме на рис. 4. Только не забудьте установить в трансивере развязку цепей высокой частоты и питания катушки реле.

Приступая к настройке антенны, включите горизонтальную поляризацию. Затем, изменяя размеры рамки, настройте её на середину диапазона. При этом изменением высоты рамки добивайтесь активной составляющей её входного сопротивления R, равной 50 Ом. Длинной нижней стороны постарайтесь свести к нулю реактивную составляющую X.

После компенсации X снова проверьте и при необходимости подгоните R. Возможно, эти операции придётся повторять неоднократно. Чтобы не опускать каждый раз антенну, можно для изменения R передавать изолятор нижних углов рамки вдоль её полотна, а для изменения X изменять длину её нижней стороны. Переключившись на вертикальную поляризацию, что увеличит R до 1250 Ом, устранив X длинной "противовеса".

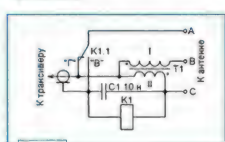


Рис. 4

При изготовлении и настройке старайтесь не нарушать симметрию антенны. От неё зависит подавление излучения с горизонтальной поляризацией в режиме вертикальной поляризации, а также зенитного излучения. Это важно для уменьшения помех от близко расположенных станций.

От редакции. По адресу <http://ftp.radio.ru/pub/2020/04/d40.zip> имеются файлы моделей этой антенны для программы MMANA.

Определение сопротивления высокоомных резисторов с помощью мультиметра

И. НЕЧАЕВ, г. Москва

Если потребность в измерении высокоомных резисторов возникает не часто, изготавливать для этого специализированный прибор [1] или приставку, как, например, в [2], не всегда целесообразно. Определить сопротивление высокоомного резистора можно мультиметром в режиме измерения сопротивления, если параллельно с резистором известного сопротивления подключить проверяемый резистор [3]. Но при сопротивлении резистора более 20 МОм погрешность резко возрастает.



Рис. 1

Более простым вариантом может быть косвенное измерение сопротивления с помощью дополнительного источника питания [4] и мультиметра. Но и источник питания может быть не всегда доступен или стабилен, хотя в большинстве случаев можно обойтись без дополнительного источника напряже-



Рис. 2

ния. Такая ситуация относится в первую очередь к мультиметрам серий M-83х, DT83х и аналогичных с другими названиями, у которых есть режим измерения коэффициента передачи тока базы маломощных транзисторов [5, 6]. Дело в том, что у таких мультиметров на разъем (рис. 1) для подключения тран-

зисторов выведено напряжение внутреннего источника $U_{on} = 3\text{ В}$, которое стабильно. Убедиться в его наличии и измерить можно, соединив отрезком провода контакт "NPN" с входом мультиметра "VΩmA" (рис. 2). Именно это напряжение и можно использовать для измерения сопротивления высокоомных резисторов. Для этого надо вспомнить один из основных законов электротехники о последовательном соединении резисторов. Конечно, это будет не пря-

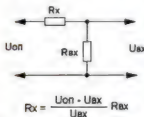


Рис. 3

мое измерение сопротивления резистора, и его придется рассчитывать. Но это не является проблемой, поскольку в каждом сотовом

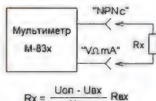


Рис. 4

телефоне есть встроенный калькулятор, а быстрые приближённые вычисления можно сделать и в уме.

Схема проведения измерений и расчётная формула показаны на

проводов снабжена разъёмом-переходником, чтобы подключить его к гнезду "NPN с" мультиметра. Шупы этих двух проводов снабжены съёмными разъёмами — доработанными

используемого в системных блоках компьютеров для подключения питающего напряжения. Пружинные контакты аккуратно извлекают из разъёма и припаивают к "крокодилам" в защищённом месте (рис. 6). Для лучшей фиксации штырей мультиметра контакты можно немного поджать. Разъём-переходник (рис. 7) изготовлен из гнезда для подключения вилки ШП4 и проволочного штыря диаметром 1 мм. Гнездо и штырь спаяны под прямым углом, чтобы измерительный провод "лежал" на мультиметре и не разбалтывал гнездо для подключения транзисторов. Разъём-переходник и доработанные "крокодилы" для хранения без проблем можно разместить в штатной коробке-упаковке мультиметра.

Предварительно надо с помощью другого мультиметра измерить входное сопротивление первого мультиметра в режиме измерения постоянного напряжения (DCV) на пределах "200m" и "2000m". Полученный результат следует использовать в проведении дальнейших расчётов. Чтобы сделать их более удобными, входное сопротивление, расчётную формулу и схему измерения (см. рис. 4) можно разместить на небольшом шильдике, который надо защитить клеевой лентой и приклеить на заднюю крышку мультиметра. Предел измерения постоянного напряжения "20" (а также и другие — "200" и "1000") в данном случае не используются, поскольку он может потребоваться только для измерения резисторов сопротивлением до



Рис. 5



Рис. 6

рис. 3. Здесь $R_{вх}$ — входное сопротивление мультиметра в режиме измерения постоянного напряжения. Этот параметр известен, как и значение $U_{вх}$, поэтому потребуется только измерить напряжение на входе мультиметра. Если $R_{вх}$ будет выражено в мегаомах, результат также будет в мегаомах. Применительно к мультиметру схема измерения показана на рис. 4. Но подключить резистор к указанным гнездам, как правило, затруднительно. Поэтому для подключения резистора к указанным гнездам следует применить штатные измерительные провода мультиметра с дополнительными вилками и штырями. Для удобства подключения вилка одного из

зажимами "крокодил". Для измерения сопротивления резистора полярность подключения разъёмов, конечно же, не имеет значения. Кстати, доработанные зажимы "крокодил" удобно использовать совместно с мультиметром и в других измерениях. Именно поэтому насадки на зажимы должны отличаться друг от друга цветом и соответствовать цвету измерительных проводов.

Доработку зажимов "крокодил" проводят в следующей последовательности. Для того, чтобы была возможна фиксация шупа измерительного провода мультиметра в "крокодиле", были использованы пружинные гнезда-контакты от разъёма (рис. 5), широко



Рис. 7

1 МОм, а это можно сделать в штатном для мультиметра режиме.

Погрешность измерения определяется погрешностью самого мультиметра, в первую очередь, небольшой разрядностью его индикатора, что будет сказываться при измерении малых напряжений. Поэтому чем больше сопротивление резистора, тем больше будет погрешность. Но она частично компенсируется, поскольку для измерения входного напряжения используется встроенный источник



Рис. 8

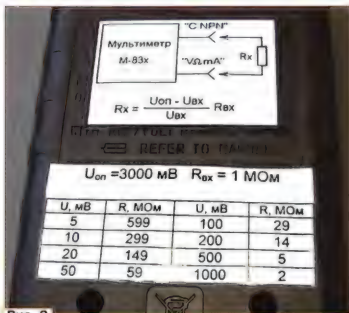


Рис. 9

напряжения U_{0n} . Пример определения сопротивления высокоомного резистора КЗВ показан на рис. 8. Измеренное напряжение — 8,7 мВ (входное сопротивление мультиметра М-83х — 1,002 МОм). Расчёты дают результат: $R_x = 1,002(2960 - 8,7)/8,7 = 339,9$ МОм, что хорошо согласуется с маркировкой на этом резисторе — 330 МОм и допуском $\pm 5\%$. Кстати, проверка нескольких 6/у резисторов КЗВ с номинальным сопротивлением 100 МОм показала, что они неисправ-

ны, хотя видимых повреждений на них нет.

Максимальное определяемое сопротивление зависит от минимального измеряемого мультиметром напряжения. Для мультиметров серий М-83х и DT83х — это 0,1 мВ, поэтому максимальное сопротивление — 30 ГОм, но погрешность при этом будет высока. Для её уменьшения следует применить мультиметр с большим входным сопротивлением, например, серии АРРА с входным сопротивлением 10 МОм, но

тогда потребуется внешний источник напряжения.

Для быстрой оценки сопротивления измеряемого резистора (или конденсатора) можно сделать таблицу соответствия показаний мультиметра и сопротивления резистора (таблица), которую вместе со схемой измерения можно

$$U_{0n} = 3000 \text{ мВ} \quad R_{0x} = 1 \text{ МОм}$$

U, мВ	R, МОм	U, мВ	R, МОм
5	599	100	29
10	299	200	14
20	149	500	5
50	59	1000	2

разместить на задней крышке. При желании таблицу можно сделать более подробной, исключив тем самым необходимость проведения расчётов. Пример размещения схемы и таблицы показан на рис. 9.

Указанный способ пригоден и для измерения сопротивления утечки окисидных конденсаторов различных типов. Для этого надо подключить конденсатор с наблюдением полярности (плюс — на контакте "NPN") и дать время для его зарядки до тех пор, пока показания мультиметра станут стабильными. Так можно отобрать из партии конденсаторы с наибольшим сопротивлением утечки, например, для их применения во времязадающих цепях различных радиоэлектронных узлов. Таким же способом можно измерить и обратный ток р-п переходов диодов и транзисторов. При этом следует учесть, что показания мультиметра на пределе 200 мВ (200m) будут соответствовать 1 мВ = 1 нА. Но в этом случае недостаток является небольшое испытательное напряжение — 3 В.

ЛИТЕРАТУРА

1. Бирюков С. Простой цифровой мегомметр. — Радио, 1996, № 7, 32, 33.
2. Глибин С. Мегомметр до 200 МОм — приставка к мультиметру. — Радио, 2017, № 7, с. 54.
3. Артеменко В. Измерение сопротивления высокоомных резисторов. — Радиополитехник, 1998, № 12, с. 27.
4. Измерение больших сопротивлений в радиолюбительских условиях. — URL: <https://cxem.net/lzmr/lzmr167.php> (09.12.19).
5. Измерение больших сопротивлений. — URL: <http://radiopolys.ru/sxemy-diyazimorenij/94-izmerenie-bolshix-soprotivlenij> (09.12.19).
6. Пущинский Л. Оценка высокоомных сопротивлений мультиметром. — URL: <http://radio-hobby.org/modules/news/article.php?storyid=230> (09.12.19).

Использование кабеля КСРВ в радиолюбительском монтаже

А. МЕЛЬНИКОВ, г. Барнаул

При изготовлении радиолюбительских конструкций возникает необходимость в устройстве перемычек на платах, а также в электрическом соеди-

нении различных элементов конструкции между собой. Для этого радиолюбители обычно используют провод МГТФ или провода в изоляции из поливинилхлорида (ПВХ). Каждый из этих видов проводов имеет свои преимущества и недостатки. Провод МГТФ отличается повышенной гибкостью, но его непросто зачищать, а у провода с ПВХ изоляция оплавляется при пайке.



Рис. 1

В тех случаях, когда от проводника не требуется повышенная гибкость, например перемычки на печатных и макетных платах, а также соединения между платами, для выполнения соединений удобно использовать жилы кабеля КСРВнг(А)-FRLS (рис. 1). Этот кабель предназначен для монтажа систем пожарной сигнализации и является огнестойким (предел огнестойкости кабеля в условиях воздействия пламени — 180 мин). Каждая жила имеет одинарный медный провод в изоляции из керамизирующейся кремнийорганической резины и оболочку из ПВХ-пластика пониженной пожарной опасности. Кабель выпускается с числом жил от двух до десяти, одинарной или двойной скрутки (есть также экранированный



Рис. 2



Рис. 3

пожарной безопасности ТУ 3581-014-39793330-2009. — URL: https://paritet.spb/upload/specifications/2_KSRV_KS RVG_FRLS.pdf (06.02.20).

По мнению автора, наиболее удобно использовать кабель КСРВнг(А)-FRLS 2×0,5 (первое число — число жил, второе — диаметр жилы), обрезки которого всегда остаются при монтаже пожарной

сигнализации. Кроме изготовления собственно перемычек, изоляцию, снятую с жил кабеля, можно надевать на выводы радиоэлементов для предотвращения их замыкания между собой. В отличие от изоляции из ПВХ, кремнийорганическая резина не плавится при пайке. Это наглядно иллюстрирует рис. 2, где слева на вывод резистора надет отрезок ПВХ-изоляции, снятой с монтажного провода, а справа — изоляционная трубка из кремнийорганической рези-



Рис. 4

ны, которая не оплавляется даже при многократных перепайках.

Другое применение жил кабеля КСРВ — удлинение выводов микросхем и других радиокомпонентов (рис. 3). Применительно к микросхеме удобно заключается в том, что во время пайки проводник не нужно удерживать. Достаточно аккуратно надеть значительный отрезок провода на вывод (вывод детали выйдет между жилой провода и его изоляцией, как видно на рис. 3 слева), а затем, разместив микросхему в удобном для пайки положении, припаять жилу к выводу (см. рис. 3, справа).

При зачистке кабеля КСРВ также образуется "побочный" продукт — остатки внешней оболочки кабеля. Если при зачистке не разрезать её вдоль, а снимать участками, надрезая по окружности, такую трубку можно использовать для дополнительной изоляции проводов, а также надевать её на выводы радиодеталей или "прятать" их в ней целиком (рис. 4). В отличие от трубки из ПВХ, оболочка кабеля КСРВ, так же как и изоляция его жил, не плавится при пайке.

Учим говорить игрушку-аниматроник Bluechicken

Д. МАМИЧЕВ, п. Шаталово Смоленской обл.

В продолжение темы моей статьи "Игрушка-аниматроник Bluechicken" ("Радио", 2020, № 2, с. 60—62) предлагаю читателям описание создания приложения для смартфона, позволяющего управлять произнесением игрушки различных фраз. Схема варианта игрушки для этого случая показана на рис. 1. В её работе, кроме платы Arduino Uno (A2), использованы Bluetooth-модуль A1 и два сервопривода A3 и A4.

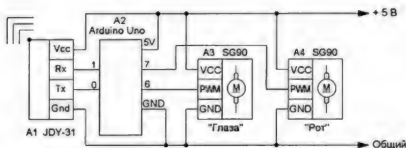


Рис. 1



Рис. 2

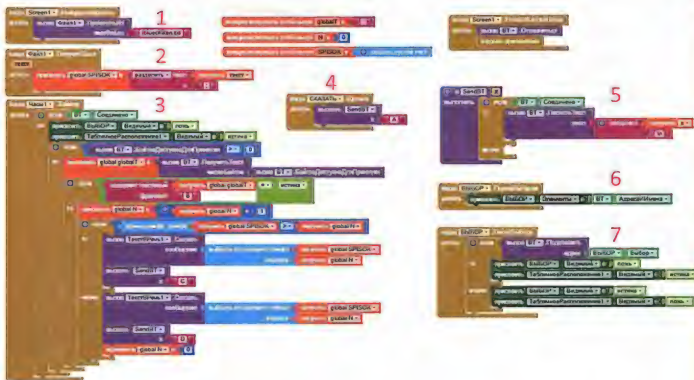
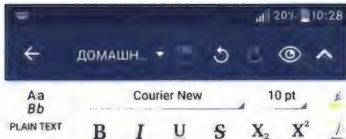


Рис. 3

Для визуальной совместимости проговариваемых слов и анимации рта применено (как один из вариантов) послоговое произношение, т. е. открывание—закрывание рта при каждом слоге. Текст самой фразы записывается в файл с расширением .txt и хранится в корневой папке смартфона. Приложение и плата постоянно обновляются командами для синхронизации процесса.

Внешний вид изображений экрана приложения представлен на рис. 2. После открытия приложения нажимаем на кнопку "ВЫБОР", и появляется окно с вариантами подключений. У автора — это модуль JDY-31-SPP. Далее, при нажатии на кнопку "СКАЗАТЬ", воспроизводится вариант записанной в скетч анимации (вращение глазами и произнесение фразы: "Привет, мой старый друг, как твои успехи?"). Для её повторения достаточно ещё раз нажать на кнопку "СКАЗАТЬ".

Структура блоков приложения (изготовлено в среде разработки Android-приложений MIT App Inventor 2) показана на рис. 3. Блок 1 считывает содержимое файла bluechicken.txt с фразой в приложение. Блок 2 разделяет текст на слога по символу ";" и помещает их в переменную-массив SPIKOK с нумерацией элементов. Для этого записанная в одну строку фраза должна иметь вид **при;вет;мой;стар;ый;друг;как;твои;усп;ехи;**.



при;вет;мой;ста;рый;друг;как;твои;ус;пе;хи;
по;го;да;се;го;дня;так;се;бе;
ме;ня;зо;вут;цы;плё;нок;блю;ки;кен;
я;иг;ру;шка;а;ни;ма;тро;ник;
раз;два;три;че;ты;ре;пять;я;иду;те;бя;ис;кать;
мои;фра;зы;на;ив;ны;и;по;рой;глу;пы;
на;учи;ме;ня;но;вым;фра;зам;

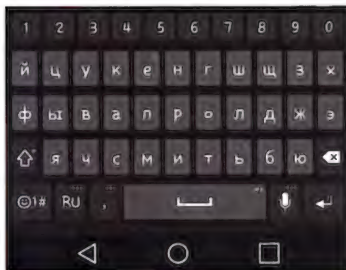


Рис. 4

Блок 3 примерно десять раз в секунду проверяет, пришла ли команда (символ В) на произношение очередного слога. Если команда пришла, произносится слог из массива под номером N. По окончании слогов в плату отправляется команда-символ D на окончание анимации. Для запуска и её повторения используется блок 4 (отправка символа А). Блок 5 — это функция отправки символов-команд. Блоки 6 и 7 отвечают за подключение приложения и смену изображений экрана.

После установления связи между смартфоном и игровой платой Arduino Uno нужно перезагрузить и уже далее использовать приложение. В случае, если сервопривод рта при работе сильно шумит, можно использовать для усиления звука от смартфона колонки для компьютера. Содержание фразы можно менять на любое, придерживаясь указанной выше орфографии.

Получив первичные навыки по работе в MIT App Inventor 2 и Arduino IDE, приложение и скетч можно изменять, например, добавляя новые сценарии анимации, кнопки управления и органы исполнения в схему игрушки. Используя функцию распознавания речи, можно добиться от игрушки "осознанного" ответа на фразу, содержащую заданное ключевое слово.

Немного изменив исходное приложение (файлы в папке "Дополнения"), можно составить список фраз на все случаи жизни (рис. 4), случайным образом выбирая их кнопкой "СКАЗАТЬ".

От редакции. Скетч для Arduino Uno и видеоролик, иллюстрирующий работу устройства, находятся по адресу <http://ftp.radio.ru/pub/2020/04/bluechicken.zip> на нашем FTP-сервере.

"Микроконтроллеры Викторина и переменные резисторы"

С. РЮМИК, г. Чернигов, Украина

Переменным называют резистор, сопротивление между выводами которого можно изменять физическим перемещением подвижного контакта. Такие резисторы имеют, как правило, три вывода — от крайних точек неподвижного резистивного элемента и от подвижного контакта. Однако встречаются переменные резисторы и с двумя выводами, один

из выводов резистивного элемента у них отсутствует. Переменные резисторы, имеющие дополнительные выводы от промежуточных точек резистивного элемента, предназначены, как правило, для тонкомпенсированных регуляторов громкости. В быту переменные резисторы прочно ассоциируются с ручками или движками регулировки громкости и тембра в

радиоприёмниках, УМЗЧ и другой электронной аппаратуре.

Переменные резисторы бывают регулируемыми и подстроечными. Регулируемые приспособлены, как правило, для установки на передних панелях аппаратуры, управляют ими с помощью удобных ручек. Выдерживают они до сотни тысяч перемещений подвижного элемента от упора до упора.

Подстроечные резисторы устанавливаются непосредственно на монтажных (печатных) платах или выводят их ось на переднюю панель "под шлиц". Они рассчитаны на подстройку с помощью отвёртки или другого инструмента, причём ресурс у них значительно меньше, чем у регулировочных. Иногда он не превышает нескольких десятков перемещений подвижного элемента от упора до упора. Подстроечные резисторы бывают снабжены средствами его фиксации в установленном положении.

В последнее время получили распространение многооборотные переменные резисторы, предназначенные для точной регулировки или подстройки. Чтобы переместить их подвижный элемент от упора до упора, требуется до нескольких десятков оборотов вала.

Детальные сведения о классификации и параметрах резисторов, в том числе переменных, можно найти в справочнике "Резисторы" под редакцией Четверткова И. И. и Терехова В. М. (М.: Радио и связь, 1991).

В микроконтроллерной технике переменные резисторы служат датчиками угла поворота или линейного перемещения, регуляторами параметров устройства, органами калибровки, задатчиками порогов срабатывания или уровней стабилизации тех или иных параметров. Подключают их обычно к входам микроконтроллера — аналоговым (входам АЦП и компара-

торов напряжения) и обычным цифровым.

Каждый вопрос в таблице проиллюстрирован схемой узла, содержащего переменный резистор. На него даны два ответа, обозначенных цифрами 0 и 1, но лишь один из них правильный. Выбрав верные, по вашему мнению, ответы на все вопросы, запишите соответствующие им цифры в ряд слева направо в порядке номеров вопросов. Полученное 14-разрядное двоичное число переведите в десятичную систему счисления. Если результат будет **5751**, то всё правильно.

От редакции. Правильные ответы и пояснения к ним будут даны в следующем номере журнала.

<p>1</p> <p>Можно ли заменить перемычкой резистор R2?</p> <p>0 — да; 1 — нет</p>	<p>2</p> <p>Как изменится амплитуда формируемого микроконтроллером сигнала $U_{\text{вых}}$, если установить движок переменного резистора R1 в нижнее по схеме положение?</p> <p>0 — не изменится; 1 — уменьшится</p>	<p>3</p> <p>Какое напряжение поступит на вход АЦП микроконтроллера в момент замыкания контактов выключателя SA1?</p> <p>0 — близкое к нулю; 1 — близкое +3,3 В</p>	<p>4</p> <p>Обязательна ли гальваническая развязка цепей резисторов R1.1 и R1.2?</p> <p>0 — да; 1 — нет</p>
<p>5</p> <p>Каким должны быть сопротивления терморезистора при минимальной измеряемой температуре?</p> <p>0 — около 10 кОм; 1 — около 1 кОм</p>	<p>6</p> <p>Можно ли поменять местами цепи, подключённые к входам АН+ и АН- аналогового компаратора микроконтроллера?</p> <p>0 — да, изменив программу; 1 — нет</p>	<p>7</p> <p>Можно ли оставить правый по схеме вывод резистора R2 никуда не подключённым?</p> <p>0 — да; 1 — нет</p>	<p>8</p> <p>Зависимость напряжения $U_{\text{вых}}$ от угла поворота вала переменного резистора R1 СП3-46М-А?</p> <p>0 — линейная; 1 — S-образная</p>
<p>9</p> <p>Что подстраивают резистором R3?</p> <p>0 — смещение нуля сигнала $U_{\text{вых}}$; 1 — коэффициент усиления</p>	<p>10</p> <p>Какой уровень нужно установить на выходе микроконтроллера перед переводом последнего в "спящий" режим?</p> <p>0 — низкий; 1 — высокий</p>	<p>11</p> <p>Требуется ли конденсатор C1 для измерения микроконтроллером текущего сопротивления переменного резистора R1?</p> <p>0 — да; 1 — нет</p>	<p>12</p> <p>Можно ли подключить переменный резистор R1 к микроконтроллеру таким образом?</p> <p>0 — да; 1 — нет</p>
<p>13</p> <p>Допустимый интервал изменения напряжения $U_{\text{вых}}$ при верном по схеме положении движка переменного резистора R1?</p> <p>0 — от 0 В до +55 В; 1 — от -50 В до +5 В</p>	<p>14</p> <p>Уменьшится ли шаг изменения коэффициента переданного "электронного" переменного резистора DA1 при цифровом напряжении $U_{\text{вых}}$ 12-разрядным АЦП?</p> <p>0 — да; 1 — нет</p>	<p>15</p> <p>Уменьшится ли шаг изменения коэффициента переданного "электронного" переменного резистора DA1 при цифровом напряжении $U_{\text{вых}}$ 12-разрядным АЦП?</p> <p>0 — да; 1 — нет</p>	<p>16</p> <p>Уменьшится ли шаг изменения коэффициента переданного "электронного" переменного резистора DA1 при цифровом напряжении $U_{\text{вых}}$ 12-разрядным АЦП?</p> <p>0 — да; 1 — нет</p>

Измеритель уровня воды

С. БИРЮКОВ, г. Москва

В статье с таким названием в "Радио" за 2016 г., № 7 на с. 49, 50 был описан измеритель уровня воды с ёмкостным датчиком и цифровой индикацией. После нескольких лет эксплуатации микросхема АЦП, входящая в состав устройства и изготовленная более 30 лет назад, вышла из строя. Автор решил не заменять 40-выводную сравнительно дорогую микросхему, а для аналого-цифрового преобразования и индикации использовать малогабаритный встраиваемый вольтметр, купленный в Интернет-магазине.

Приобретённый цифровой трёхразрядный встраиваемый вольтметр со светодиодной индикацией и максимальным пределом измерения 200 В имел на входе делитель напряжения из резисторов 510 и 8 кОм. Резистор 510 кОм на плате был замкнут перемычкой (рис. 1), в результате чего напряжение, которое необходимо подать на вход вольтметра для получения

Рис. 3

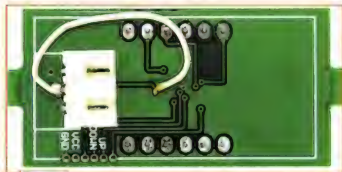


Рис. 1

показания 200, стало равным 3 В. Схема доработки измерителя приведена на рис. 2. Конденсаторы, диоды и резистор R5 на этом рисунке — элементы ранее описанного устройства. При почти полной бочке показание вольтметра PV1 должно быть около 150, его входное напряжение при этом — 2,25 В, но на резисторе R5 — всего 150 мВ. Можно

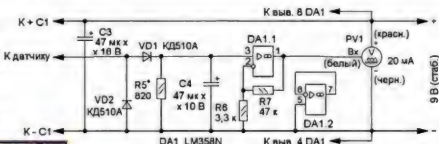


Рис. 2

увеличить сопротивление этого резистора, чтобы получить необходимое напряжение на нём, однако нелинейность измерителя при этом резко возрастёт. Для сохранения малой нелинейности необходимо увеличить это напряжение в 2,25/0,15 = 15 раз.

Рис. 4



Такое усиление несложно получить, используя один ОУ, для этого подойдёт микросхема LM358N. ОУ этой микросхемы очень удобны для решения поставленной задачи, поскольку имеют допускаемые интервалы изменения как входного, так и выходного сигнала, начинающиеся от 0 В. Подключение входов второго ОУ DA1.2 исключает влияние наводок и утечек на работу этой микросхемы. Соотношение сопротивлений ре-

зисторов R7 и R6 обеспечивает необходимый коэффициент усиления $K_u = (1+R7/R6) = 1+47/3,3 = 15,2$.

В устройстве использована ранее изготвленная печатная плата измерителя уровня, дополнительно на ней установлена проволочная перемычка, соединяющая минусовый вывод конденсатора C3 с минусовой линией питания устройства. Дополнительные детали (DA1, R6, R7) установлены на небольшой монтажной плате, предназначенной для раскладки восьми-выводных микросхем в корпусах DIP. Плата закреплена встык с основной платой с помощью двух отрезков медного провода диаметром 0,6 мм, служащих также для её подключения. Доработанный измеритель собран в пластмассовом корпусе с габари-

ритными размерами 100х60х25 мм (рис. 3).

Налаживать устройство не сложно. Взамен реального датчика удобно использовать конденсатор ёмкостью, соответствующей почти полной бочке (рис. 4), в данном случае — 270 пФ. Если показания не соответствуют необходимым и резистором R3 не удастся получить требуемый результат, можно подобрать резистор R5 или конденсатор C2, резисторы R1, R6, R7 (смотря, что удобнее).

Для питания измерителя не обязательно использовать источник 9 В, поскольку микросхемы серий K561, LM358N и вольтметр не критичны к напряжению питания. Можно, например, использовать стабилизированный БП с выходным напряжением

12 В, но тогда на это напряжение должны быть рассчитаны оксидные конденсаторы. Использование стабилизированного БП на 5 В возможно, но это несколько хуже, поскольку увеличивается нелинейность. При отличии от 9 В напряжении питания следует, в первом приближении, пропорционально ему изменить сопротивление резистора R6, поскольку чем выше напряжение питания, тем больше сигнал на резисторе R5 и тем меньше усиление требуется от ОУ DA1.1.

Можно применить более дешёвый и распространённый встраиваемый вольтметр с предельным напряжением 100 В, но в этом случае индикация будет в процентах от максимального заполнения.

Стенд для изучения работы логических элементов

М. ШУСТОВ, г. Томск

Стенд предназначен для наглядного изучения начинающими радиолюбителями функционирования основных логических элементов цифровой техники, работа которых имитируется с помощью минимального набора элементов — переключателей, светодиодов, диодов и резисторов.

Предлагаемый стенд позволяет наглядно иллюстрировать работу основных (базовых) логических элементов: ПОВТОРИТЕЛЬ; ИНВЕРТОР; ИЛИ; ИЛИ-НЕ; И; И-НЕ; ИСКЛЮЧАЮЩЕЕ ИЛИ; ИСКЛЮЧАЮЩЕЕ ИЛИ-НЕ, а также таких неклассических элементов, как ЭКВИВАЛЕНТНОСТЬ и ЭКВИВАЛЕНТНОСТЬ-НЕ.

В табл. 1 приведены УГО основных логических элементов, принятые в разных странах в разное время, а также в программах схемотехнического моделирования. Это позволит чита-

телю свободно ориентироваться в обозначениях логических элементов, встречающихся на страницах технических изданий. В этой же таблице приведены формулы для описания их работы, а также таблицы истинности, которые отображают реакцию выходного сигнала Y на совокупность всевозможных сочетаний входных сигналов X1, X2 ... Xn.

На рис. 1—рис. 10 приведены электрические схемы узлов, позволяющих имитировать работу базовых логических элементов. Для наглядности и

повышения эффективности визуального восприятия информации логическим уровням соответствуют светящиеся разноцветные светодиоды. Светодиод зелёного свечения соответствует уровню лог. 0, светодиод красного свечения — уровню лог. 1.

Работа светодиодных индикаторов основана на том, что при параллельном подключении двух разноцветных светодиодов через токоограничивающий резистор к источнику питания весь ток будет протекать через светодиод, требующий меньшего напряжения, достаточного для его яркого свечения [1, 2]. Например, светодиод красного свечения, как правило, будет светить при напряжении 1,8 В; светодиод зелёного свечения — при напряжении 2 В. Следовательно, при параллельном подключении двух светодиодов красного и

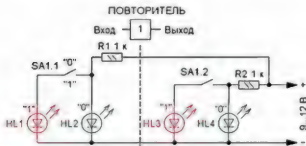


Рис. 1

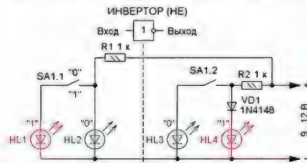


Рис. 2

Наименование логического элемента	УГО логических элементов				Осцилло- граммы	Формула	Таблица истинности		
	Multisim	DIN	ANSI	ГОСТ и IEC			X1	X2	Y
Повторитель (Repeater)						$Y = X$	0 1	— —	0 1
Инвертор (Inverter) НЕ (NOT)						$Y = \bar{X}$	0 1	— —	1 0
ИЛИ (OR)						$Y = X1 + X2$	0 0 1 1	0 1 0 1	0 1 1 1
ИЛИ-НЕ (NOR)						$Y = \overline{X1 + X2}$	0 0 1 1	0 1 0 1	1 0 0 0
И (AND)						$Y = X1 X2$	0 0 1 1	0 1 0 1	0 0 0 1
И-НЕ (NAND)						$Y = \overline{X1 X2}$	0 0 1 1	0 1 0 1	1 1 1 0
ИСКЛЮЧАЮЩЕЕ ИЛИ (XOR)						$Y = \overline{X1 X2} + X1 \overline{X2}$	0 0 1 1	0 1 0 1	0 1 1 0
ИСКЛЮЧАЮЩЕЕ ИЛИ-НЕ (XNOR)						$Y = X1 X2 + \overline{X1} \overline{X2}$	0 0 1 1	0 1 0 1	1 0 0 1

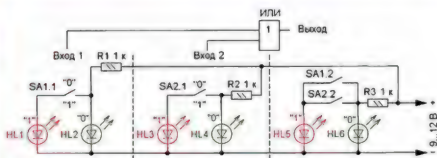


Рис. 3

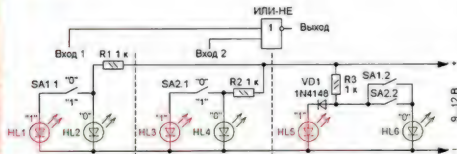


Рис. 4

зелёного свечения через токоограничивающий резистор к источнику питания светиться будет только светодиод красного свечения.

Для того чтобы стал светить светодиод зелёного свечения при параллельно ему подключённом светодиоде красного свечения, достаточно последовательно с красным подключить

кремниевый диод. Это техническое решение позволило сделать предельно простые имитаторы работы логических элементов.

Функция основных (базовых) логических элементов [3—5] и их имитаторы.

"ПОВТОРИТЕЛЬ" (REPEATER) — логический элемент, выполняющий

функцию повторителя сигнала (рис. 1). При подаче на вход такого элемента управляющего сигнала X на выходе элемента сформируется сигнал Y , полностью идентичный входному. В положении переключателя SA1, показанном на схеме, светят светодиоды зелёного свечения, индицируя тем самым присутствие на входе и выходе лог. 0. Переключение SA1 заставит светить светодиоды красного свечения, характеризующим тем самым уровень напряжений на входе и выходе логического элемента как лог. 1.

"ИНВЕРТОР", "НЕ" (NOT) — логический элемент, выполняющий функцию инверсии сигнала (рис. 2). Выходной сигнал Y является "зеркальной" или "перевернутой" копией входного. Когда на входе элемента лог. 1, на выходе — лог. 0, и наоборот. В этом имитаторе за счёт того, что в его выходной цепи последовательного со светодиодом HL4 красного свечения включен кремниевый диод VD1, в показанном на схеме положении переключателя SA1 светятся входной светодиод зелёного свечения лог. 0 и выходной светодиод красного свечения лог. 1.

"ИЛИ" (OR) — логический элемент, в котором выходной сигнал Y принимает значение лог. 1 при наличии на хотя бы одном из его нескольких входов сигнала лог. 1 (рис. 3). Если на всех входах лог. 0, на выходе элемента также лог. 0. Этот имитатор, а также последующие имеют несколько входов для одного элемента входа, на которые с помощью переключателей можно подавать "логические уровни".

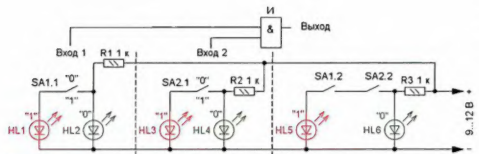


Рис. 5

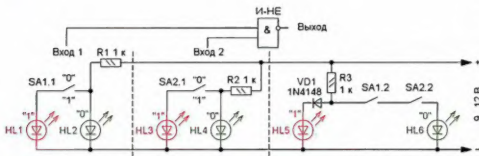


Рис. 6

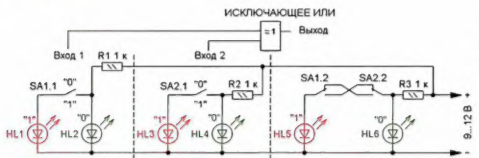


Рис. 7



Рис. 8

"ИЛИ-НЕ" (NOT-OR, NOR) — логический элемент, представляет собой последовательное включение элементов ИЛИ (OR) и НЕ (NOT) (рис. 4). Выходной сигнал Y элемента ИЛИ-НЕ при наличии на его входах лог. 0 принимает значение лог. 1. Стоит хотя бы одному из входных сигналов принять значение лог. 1, выходной сигнал Y переключится на уровень лог. 0.

Небольшое изменение в схеме соединения переключателей в выходной части позволяет получить имитаторы элементов И и И-НЕ.

"И" (AND) — логический элемент, выполняющий функцию совпадения (рис. 5). Его эквивалентную схему можно представить в виде двух или нескольких (по числу входов) последовательно включённых электрических

ключей (выключателей): выходной сигнал Y будет иметь значение лог. 1 только в том случае, если на все входы этого логического элемента будет подан уровень лог. 1.

"И-НЕ" (NOT-AND, NAND) — логический элемент, представляющий собой последовательно включённые элементы "И" и "НЕ" (рис. 6). При одновременной подаче на входы этого элемента уровней лог. 1 на выходе Y элемента будет уровень лог. 0. Если хотя бы на одном из входов элемента входной сигнал примет уровень лог. 0, сигнал на выходе устройства немедленно переключится с лог. 0 на лог. 1.

Дальнейшая несложная модернизация схемы соединения переключателей в приёмной части позволяет получить имитаторы других двухвходовых элементов.

"ИСКЛЮЧАЮЩЕЕ ИЛИ" (EXCLUDING OR, XOR) — логический элемент, для двухвходового варианта которого выходной сигнал Y принимает значение лог. 1 только тогда, когда на одном из его входов присутствует лог. 1, а на другом — лог. 0 (рис. 7). Стоит нарушить это условие, сигнал на выходе элемента примет значение лог. 0.

"ИСКЛЮЧАЮЩЕЕ ИЛИ-НЕ" (EXCLUDING NOR, XNOR) — логический элемент, для двухвходового варианта которого выходной сигнал Y принимает значение лог. 0 только тогда, когда на одном из его входов присутствует лог. 0, а на другом — лог. 1 (рис. 8). Стоит нарушить это условие, сигнал на выходе элемента примет значение лог. 1.

Особо стоит остановиться на описании имитаторов логических элементов ЭКВИВАЛЕНТНОСТЬ и ЭКВИВАЛЕНТНОСТЬ-НЕ. Отметим, что в "чистом виде" такие элементы не встречаются, и промышленность их не выпускает, хотя полезность таких элементов в некоторых случаях очевидна. При необходимости подобные логические элементы можно создать путём объединения нескольких других логических элементов различного назначения. Отметим, что для имитации работы этих элементов потребовалось использовать три входа, поскольку в двухвходовом варианте эти элементы превращаются в описанные ранее элементы ИСКЛЮЧАЮЩЕЕ ИЛИ и ИСКЛЮЧАЮЩЕЕ ИЛИ-НЕ.

"ЭКВИВАЛЕНТНОСТЬ" (EQUIVALENCE) — логический элемент более сложного построения (рис. 9). Он имеет на выходе Y лог. 1 только в том случае, когда все, без исключения, сигналы на его входах будут иметь один и тот же (тождественный, эквивалентный) логический уровень, причём не



Рис. 9

Таблица 2

X1	X2	X3	Y
0	0	0	1
0	0	1	0
0	1	0	0
0	1	1	0
1	0	0	0
1	0	1	0
1	1	0	0
1	1	1	1

Одновременно стоит убедиться, приемлема ли яркость свечения выбранных для стенда светодиодов. Если она покажется избыточной, например при использовании сверхярких светодиодов, сопротивление токоограничивающих резисторов следует увеличить в несколько раз. Резисторы могут быть любого типа. В качестве переключателей можно применить любые доступные переключатели — тумблеры или кнопочные как с фиксацией, так и без

Таблица 3

X1	X2	X3	Y
0	0	0	0
0	0	1	1
0	1	0	1
0	1	1	1
1	0	0	1
1	0	1	1
1	1	0	1
1	1	1	0

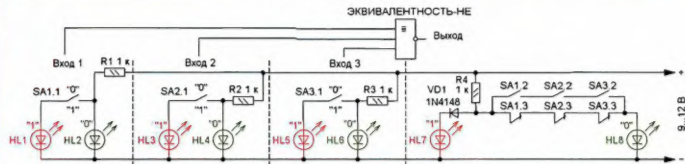


Рис. 10

имеет значения лог. 1 это или лог. 0. Таблица истинности этого логического элемента — табл. 2. **"ЭКВИВАЛЕНТНОСТЬ-НЕ"** (NOT-EQUIVALENCE), **НЕЭКВИВАЛЕНТНОСТЬ** — логический элемент, имеющий на выходе Y лог. 0 только в том случае, когда все без исключения сигналы на его входах будут иметь один и тот же (тождественный, эквивалентный) логический уровень, причём не имеет значения, лог. 0 это или лог. 1 (рис. 10). Таблица истинности этого логического элемента — табл. 3.

Для питания стенда можно использовать любой источник постоянного напряжения на 9...12 В. При выборе светодиодов красного и зелёного свечения следует убедиться, что падение напряжения на них при равном токе отличается не менее чем на 0,2 В. Обычно это выполняется "по умолчанию" для светодиодов красного свечения — 1,8 В, для светодиодов зелёного свечения — около 2 В.

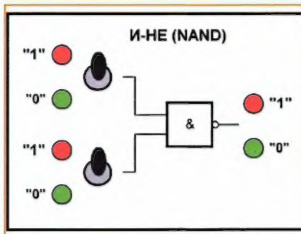


Рис. 11

ней. Например, подойдут тумблеры MTS-302, MTS-203, MTS-102, TP1-2, ПТ24, МТ1, МТД1, МТД3, МТ-3В и многие другие, в том числе и на три направления — для имитатора логических элементов ЭКВИВАЛЕНТНОСТЬ и ЭКВИВАЛЕНТНОСТЬ-НЕ.

Фрагмент возможного оформления передней панели одного из имитаторов работы логического элемента приведён на рис. 11. Над самым стендом рекомендуется для наглядности разместить увеличенную табл. 1.

ЛИТЕРАТУРА

1. Мечков К. Нулевые индикаторы с/с светодиода. — Младконструктор, 1982, № 7, с. 6, 7.
2. Шустов М., Шустов А. Цветодинамические измерительные приборы. — Радиолубитель, 1998, № 4, с. 32, 33.
3. Шустов М. А. Практическая схемотехника. 450 полезных схем. — М.: Алтек-А, 2001. — Кн. 1. — 352 с. (I изд.); 2003 (II изд.). М.: Додэка-XXI-Алтек, 2007. — 360 с. (II изд.).
4. Шустов М. А. Цифровая схемотехника. Основы построения. — С.-Пб.: Наука и техника, 2018, 320 с.
5. Шустов М. А. Цифровая схемотехника. Практика применения. — С.-Пб.: Наука и техника, 2018, 432 с.

3 • 2008 **РАДИО** www.radio.ru
АУДИО • ВИДЕО • СВЯЗЬ • ЭЛЕКТРОНИКА • КОМПЬЮТЕРЫ

ВАША USB
ЛАБОРАТОРИЯ
АКТАКОМ
www.aktacom.ru

ОЦИЛЛОГРАФЫ ВАШЕЙ USB-ЛАБОРАТОРИИ

LabVIEW

3 2008

► Автоматизация сборки и тестирования
► Измерение параметров радиоустройств
► Измерение параметров электрических цепей
► Измерение параметров электрических цепей

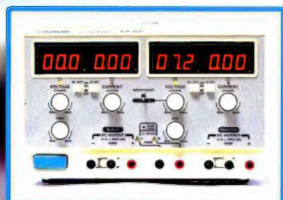
Эликс г.Москва

ЗАО "НПП ЭЛИКС" более четверти века разрабатывает и поставляет надежное контрольно-измерительное оборудование.



АКТАКОМ
ТОЧНО | НАДЕЖНО | ДОСТУПНО

АКТАКОМ™ – 20 лет успеха!



ЭЛИКС г.Москва

Торговая марка АКТАКОМ самая популярная и востребованная в России, странах СНГ и за рубежом в области контрольно-измерительного оборудования, радио-монтажного инструмента и промышленной мебели.

Так держать!

Коллектив журнала "Радио"



Новая версия Dr.Web 12 для Windows



Защита от хищений средств

От банковских троянцев, клавиатурных шпионов, хакерских атак во время сессии онлайн-банкинга



Защита от мошенников

От фишинговых и мошеннических сайтов, сайтов с вредоносным ПО



Защита от уязвимостей программ

От эксплоитов, используемых киберпреступниками для проникновений через ошибки в популярных приложениях



Защита данных и информации

От удаления, порчи, шифрования и похищения



Защита от захвата устройства и слежки

Блокировка камеры, микрофона, съемных устройств



Защита детей

Родительский контроль

Защита Dr.Web Security Space поможет безопасно путешествовать по Всемирной паутине.



© ООО «Доктор Веб»,
2003 – 2018

Сайты компании «Доктор Веб»:

<https://www.drweb.ru> | <https://антивирус.рф>

<https://free.drweb.ru> | <https://curenet.drweb.ru>

<https://www.av-desk.com>

